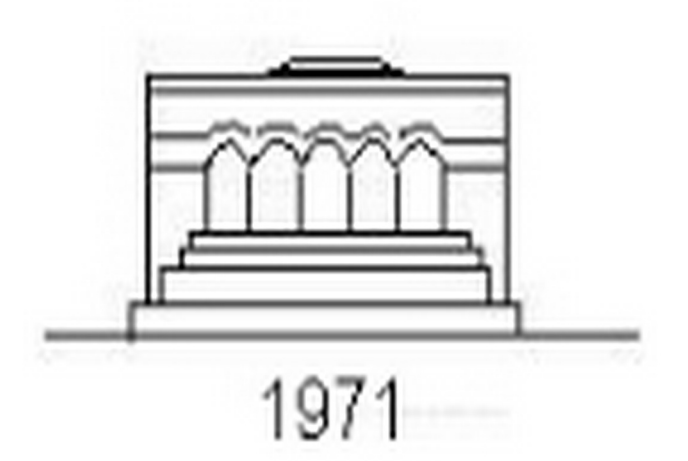
# ՄԵԽԱՆԻԿԱ

# МЕХАНИКА

# MECHANICS



Мохачика

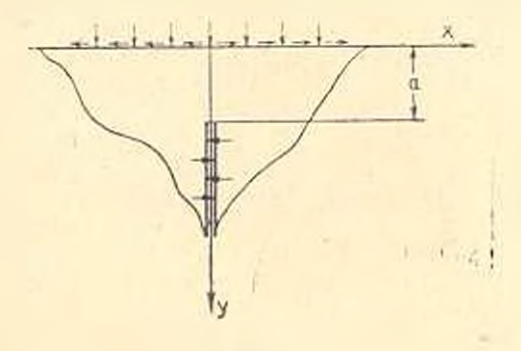
### в. с. тоноян, с. а. меакумян

# ОБ ОДНОЙ ЗАДАЧЕ ДЛЯ ПОЛУПЛОСКОСТИ С ВЕРТИКАЛЬНЫМ ПОЛУБЕСКОНЕЧНЫМ РАЗРЕЗОМ

Исследонанию плоской смешанной задачи теории упругости для плоскости и полуплоскости с разрезом посвящено много работ, о которых подробно изложено в обзорном локладе И. Снедона [1].

В настоящей статье рассматривается задача плоской теории упругости для изотролной полуплоскости, которая на расстоянии "а" от горизонтальной границы имеет нертикальный полубесконечный разрез. На горизонтальной границе полуплоскости задан вектор напряжений, а на нертикальном разрезе—нормальное давление. Задача решена метолом Фурьс. Решение задачи сведено к "парным" интегральным уравнениям, которые и дальнейшем сведены к интегральному уравнению Фредгольма иторого рода. Доказано, что последнее уравнение можно решить методом последовательных приближений. В частных случаях, когда а — ос или а — 0, соответственно получается первая основная задача плоской теории упругости для полуплоскости и квадранта.

Рассмотрим задачу плоской теории упругости для изотропной полуплоскости с вертикальным полубесконечным разрезом, когда на горизонтальной границе дан нектор напряжения, а на полубесконечном разрезе — нормальное давление (фиг. 1).



Фиг. 1.

В силу симметрии граничных условий относительно оси 0 можно ограничиться рассмотрением только правой половины упругой полуплоскости (квадранта). Решение поставленной задачи состоит в нахождении одной бигармонической функции  $\Phi(x, y)$  в области 0  $x < \infty$ , удовлетворяющей граничным условиям

$$\sigma_{n}(x, 0) = f_{1}(x), \quad \tau_{xy}(x, 0) = f_{2}(x) \quad (0 < x < \infty)$$
 (1)

$$(0, y) = f(y), \quad \tau_{xy}(0, y) = 0 \quad (a < y < \infty)$$
 (2)

и услониям симметрии

$$u(0, y) = 0, \quad \tau_{xy}(0, y) = 0 \qquad (0 < y < a)$$
 (3)

Будем искать решение задачи в ниде суммы двух интегралов Фурье:

$$\Phi(x, y) = \int_{0}^{\infty} [A(z) - 2xB(z)] e^{-z} \sin(2y) dz +$$

$$+ \left| \left[ C(3) + \beta y D(3) \right] e^{-\cos(\beta x)} d^{2} \right| \quad (0 \leqslant x < \gamma; \quad 0 \leqslant y < \infty) \quad (4)$$

Здесь A(x), B(x),  $C(\beta)$  и  $D(\beta)$  — функции, подлежащие определению из граничных условий на y=0 и x=0. Используя изнестные формулы для определения папряжений и перемещений [2], получим

$$(x, y) = - \left\{ \alpha^{2} \left[ A(\alpha) + 2xB(\alpha) \right] e^{-\alpha x} \sin(2y) dx + \int_{0}^{2} \left[ C(\beta) - 2D(\beta) + \beta yD(\beta) \right] e^{-\beta y} \cos(\beta x) d\beta$$

$$(x, y) = \left\{ \alpha^{2} \left[ A(\alpha) - 2B(\alpha) - 2xB(\alpha) \right] e^{-\alpha x} \sin(\alpha y) d\alpha - \alpha x \right\}$$

$$-\int_{0}^{\beta^{2}}\left[C\left(\beta\right)+\beta yD\left(\beta\right)\right]e^{-\beta y}\cos\left(\beta x\right)d\beta$$

$$\sigma_{xy}(x, y) = \int a^2 [A(a) - B(a) - axB(a)] e^{-\alpha x} \cos(ay) da$$

$$-\int_{0}^{\beta^{n}} [C(\beta) - D(\beta) + \beta g D(\beta)] e^{-\beta g} \sin(\beta x) d\beta$$
 (5)

$$u(x, y) = \frac{1}{E} \left\{ \int a \left[ (1-v)A(a) + (1-v)B(a) + ax(1+v)B(a) \right] e^{-ax} \sin(ay) da + ax(1+v)B(a) \right\} da = \frac{1}{E} \left\{ \int a \left[ (1-v)A(a) + (1-v)B(a) + ax(1+v)B(a) \right] e^{-ax} \sin(ay) da + ax(1+v)B(a) \right\} da = \frac{1}{E} \left\{ \int a \left[ (1-v)A(a) + (1-v)B(a) + ax(1+v)B(a) \right] e^{-ax} \sin(ay) da + ax(1+v)B(a) \right\} da = \frac{1}{E} \left\{ \int a \left[ (1-v)A(a) + (1-v)B(a) + ax(1+v)B(a) \right] e^{-ax} \sin(ay) da + ax(1+v)B(a) \right\} da = \frac{1}{E} \left\{ \int a \left[ (1-v)A(a) + (1-v)B(a) + ax(1+v)B(a) \right] e^{-ax} \sin(ay) da + ax(1+v)B(a) \right\} da = \frac{1}{E} \left\{ \int a \left[ (1-v)A(a) + (1-v)B(a) + ax(1+v)B(a) \right] e^{-ax} \sin(ay) da + ax(1+v)B(a) \right\} da = \frac{1}{E} \left\{ \int a \left[ (1-v)A(a) + (1-v)B(a) + ax(1+v)B(a) \right] e^{-ax} \sin(ay) da + ax(1+v)B(a) \right\} da = \frac{1}{E} \left\{ \int a \left[ (1-v)A(a) + ax(1+v)B(a) + ax(1+v)B(a) \right] e^{-ax} \sin(ay) da + ax(1+v)B(a) \right\} da = \frac{1}{E} \left\{ \int a \left[ (1-v)A(a) + ax(1+v)B(a) + ax(1+v)B(a) \right] e^{-ax} \sin(ay) da + ax(1+v)B(a) + ax(1+v)B(a$$

$$+ \int \beta \left[ (1-\gamma) C(\beta) - 2D(\beta) + \beta y (1+\gamma) D(\beta) \right] e^{-\beta y} \sin(\beta x) d\beta \left[ -a_0 y + b_0 \right]$$

$$\frac{1}{E} \left\{ -\left[ 2[(1+v)A(x)-2B(x)+\alpha x(1+v)B(x)] e^{-x} \cos(\alpha y) dx + \int_{0}^{\pi} 3[(1+v)C(3)+(1-v)D(3) + \\ + \frac{1}{2}y(1+v)D(3)] e^{-x} \cos(3x) d\beta \right\} + a_{0}x + c_{0}$$

Закрепляя бесконечно удаленную точку, будем иметь  $a_0=b_0=c_0=0$ . Удовлетворяя граничным условиям (1), получим

$$C(3) = -\frac{2}{2\pi} \int_{\mathbb{R}^{2}} f_{1}(x) \cos(\beta x) dx$$

$$D(3) = \frac{2}{2\pi} \int_{\mathbb{R}^{2}} f_{2}(x) \sin(\beta x) dx - \frac{2}{2\pi} \int_{\mathbb{R}^{2}} f_{2}(x) \cos(\beta x) dx$$

$$-\frac{2}{\pi \beta^2} \int_0^{\infty} \left\{ \int_0^{\pi} z^2 [A(z) - B(z) - 2xB(z)] e^{-t} dz \right\} \sin(2x) dx \qquad (6)$$

Используя условия (2) и (3), для неизвестных функций  $A(\alpha)$  и B(z) получим следующие "парные" интегральные уравнения [3]:

$$\int_{0}^{a} xA(x) \sin(2y) dx = 0 \qquad (0 < y < a)$$

$$\int_{0}^{a} x^{2}A(x) \sin(2y) dx = F(y) \quad (a < y < a)$$

$$A(z) = B(z) \tag{8}$$

PAC

$$F(y) = -f(y) + \sqrt{2^{2}[C(3) - 2D(3) + \beta y D(3)]}$$
 (9)

Подобные "парные" интегральные уравнения рассматривались в работе [4].

Используя результаты работы [3], для А (2) получим

$$\frac{\pi}{2} \approx A(s) = \int r\psi(r) f_0(\alpha r) dr \tag{10}$$

где

$$\varphi(r) = \int_{r}^{\infty} \frac{F(y)}{\sqrt{y^{2} - r^{2}}} dy$$
 (11)

 $J_{\ell}(x)$  — функция Бесселя перного рода с действительным аргументом. Подставляя эпачения функции F(y) из (9) в (11), получим

$$\psi(r) = \varepsilon_1(r) + F_2(r) \tag{12}$$

где

$$= \int_{r} \frac{f(y) dy}{(y^2 - r^2)^{-1}} - \int_{0}^{r} \frac{f_1(x) dx}{(x^2 - r^2)^{-1}}, \tag{13}$$

$$\Gamma_1(r) = \int_0^{\beta^2} \left[ \beta r K_1(\beta r) - r K_0(\beta r) \right] D(\beta) d\beta \tag{14}$$

При получении формул (12), (13), (14) были использованы значения следующих интегралон [3], [5]:

$$\int \frac{e^{-3x} dy}{(u^2 - r^2)^{\frac{1}{2}}} = K_0(r\beta), \qquad \int \frac{ye^{-3x} dy}{(y^2 - r^2)^{\frac{1}{2}}} = rK_1(r\beta)$$

$$\int K_1(3r) \cos(3x) d\beta = \frac{\pi}{2} \frac{1}{(x^2 + r^2)^{\frac{1}{2}}}$$

гле К. (3r) - функции Макдональда. Учитывая значение интеграла [5]

$$\int_{0}^{1} xe^{-x} \sin(x^{2}x) dx = \frac{2}{(x^{2} + \beta^{2})^{2}}$$

вторую формулу (6) можно представить в следующем виде:

$$D(3) = \frac{2}{\pi \beta^2} \int_{0}^{\pi} f(x) \sin(\frac{6}{5}x) dx - \frac{2}{\pi \beta} \int_{0}^{\pi} f(x) \cos(3x) dx - \frac{4}{\pi \beta} \int_{0}^{\pi} \frac{A(x)}{(x^2 + x)^2} dx$$
(15)

Подстанляя значение А (2) из (10) в (15), получим

$$D(\beta) = \frac{2}{\pi \beta^2} \int_{0}^{\beta} f_{\beta}(x) \sin(\beta x) dx - \frac{2}{\pi \beta^2} \int_{0}^{\beta} f_{\beta}(x) \cos(\beta x) dx - \frac{2}{\pi \beta^2} \int_{0}^{\beta} f_{\beta}(x) \sin(\beta x) dx - \frac{2}{\pi \beta^2} \int_{0}^{\beta} f_{\beta}(x) \sin(\beta x) dx - \frac{2}{\pi \beta^2} \int_{0}^{\beta} f_{\beta}(x) \sin(\beta x) dx - \frac{2}{\pi \beta^2} \int_{0}^{\beta} f_{\beta}(x) \cos(\beta x) dx - \frac{2}{\pi \beta^2} \int_{0}^{\beta} f_{\beta}(x) dx - \frac{2}{\pi \beta^2}$$

$$-\frac{8}{48}\int_{-\pi/2}^{\pi} \left| F_{1}(r) r \left| K_{0}(3r) - \frac{3r}{2} K_{1}(3r) \right| dr - \frac{8}{48}\int_{-\pi/2}^{\pi} \left| F_{1}(r) r \left| K_{0}(3r) - \frac{9r}{2} K_{1}(3r) \right| dr \right|$$

$$(16)$$

При получении формулы (16) было учтено, что [3]

$$\int_{0}^{\frac{1}{2}(s-\frac{1}{2}r)} ds = K_0(\beta r) - \frac{3r}{2} K_1(\beta r)$$

Исключая  $F_1(r)$  из соотношений (16) и (14), для определения функции D(p) получим интегральное уравнение Фредгольма иторого рода

$$G(\gamma) = 2(\gamma) + \int_{\gamma} G(\beta) K(\gamma, \beta) d\beta$$
 (17)

где

$$G(\gamma) = \gamma^2 D(\gamma) \tag{18}$$

$$K(\gamma, \beta) = \frac{16\gamma}{2} \left[ r \left| K_0(\gamma r) - \frac{\gamma r}{2} K_1(\gamma r) \right| \left| K_0(\beta r) - \frac{\beta r}{2} K_1(\beta r) \right| dr \quad (19)$$

$$2 (\gamma) = \frac{2}{\pi} \int_{0}^{\pi} f_{2}(x) \sin(\gamma x) dx - \frac{2}{\pi} \int_{0}^{\pi} f_{1}(x) \cos(\gamma x) dx - \frac{2}{\pi} \int_{0}^{\pi} f_{2}(x) \sin(\gamma x) dx$$

$$-\frac{8\gamma}{\pi^2}\int_{a}^{\infty}\varphi_1(r)\,r\,\left|\,K_0(\gamma r)-\frac{\gamma r}{2}\,K_1(\gamma r)\,\right|\,dr\tag{20}$$

Для решения уравнения (17) покажем, что

$$\int |K(\tau,\beta)| d\beta < 1$$

Имеем, что

$$\begin{aligned} &|K(\gamma,\beta)| = \left|\frac{16\gamma}{\pi^2} \int_0^\tau r \left[K_0(\gamma r) - \frac{\gamma r}{2} K_1(\gamma r) \right] \left| K_0(\beta r) - \frac{\beta r}{2} K_1(\beta r) \right] dr \right| < \\ &< \frac{16\gamma}{\pi^2} \int_0^\tau \left| r \left[ K_0(\gamma r) - \frac{\gamma r}{2} K_1(\gamma r) \right] \left| K_0(\beta r) - \frac{\beta r}{2} K_1(\beta r) \right] \right| dr < \end{aligned}$$

$$< \frac{16\gamma}{\pi^2} \int_0^{\infty} \left| r \left[ K_0 \left( \gamma r \right) - \frac{\gamma r}{2} K_1 \left( \gamma r \right) \right] \right| K_0 \left( 3r \right) - \frac{\beta r}{2} K_1 \left( 3r \right) \right| \right| dr =$$

$$= \frac{8}{\pi^2} \gamma \frac{\beta^4 - \gamma^4 - 4\gamma^2 \beta^2 \ln \frac{\beta}{\gamma}}{\left( \beta^2 - \gamma^2 \right)^3} = \frac{8}{\pi^2} \frac{\frac{\beta^2}{\gamma^2} - 4 \ln \frac{\beta}{\gamma} - \frac{\gamma^2}{\beta^2}}{\frac{\gamma}{2} \left[ \frac{\beta}{\gamma} - \frac{\gamma}{\beta} \right]^3}$$

HAH

$$|K(\gamma,\beta)| < \frac{8}{\pi^2} \frac{\frac{\beta^2}{\gamma^2} - 4\ln\frac{\beta}{\gamma} - \frac{\gamma^2}{\beta^2}}{\beta \left|\frac{\beta}{\gamma} - \frac{\gamma}{\beta}\right|^2}$$
(21)

При получении формул (21) были использованы значения следующих интегралов [3]:

$$\int_{0}^{\pi} r^{n} K_{0}(\gamma r) K_{0}(\beta r) dr = \frac{1}{1 + 2\beta^{2} \ln \frac{3}{4}}$$

$$\int_{0}^{\pi} r^{n} K_{0}(\gamma r) K_{0}(\beta r) dr = \frac{3^{4} - 3^{4} - 4\gamma^{2}\beta^{2} \ln \frac{3}{4}}{1 + 3\beta^{2} \ln \frac{3}{4}}$$

$$\int_{0}^{\pi} r^{3} K_{1}(\gamma r) K_{1}(\beta r) dr = 2 \frac{3^{4} - 3^{4} - 4\gamma^{2}\beta^{2} \ln \frac{3}{4}}{1 + 3\beta^{2} \ln \frac{3}{4}}$$

Упростим неравенство (21). Для этого перейдем к новым переменным следующим образом: принимая, что a=0, переменную интегрирования 3 заменим через  $\beta=ae$ , а переменную (параметр)  $\gamma$  заменим через  $\gamma=ae^{\gamma}$ . После таких преобразований неравенство (21) примет вид

$$|K(\tau, t)| < \frac{8}{\tau} \frac{|e^{2(t-t)} - e^{-2(t-t)} - 4(t-\tau)|}{ac |e^{-t} - e^{-t(t-t)}|}$$

Torga

$$\int_{0}^{1} |K(\gamma, \beta)| d\beta = \int_{0}^{1} |K(\gamma, \beta)| d\beta < \frac{2}{\pi^{2}} \int_{0}^{1} \frac{|\sinh 2(\beta - \gamma)| - 2(\beta - \gamma)|}{\sinh^{3}(\beta - \gamma)} d\beta$$

Пользуясь значением интеграла [3]

$$\int \frac{\sinh 2x - 2x}{\sinh^3 x} \, dx = \frac{\pi^3}{2}$$

получим окончательно

$$\int |K(\gamma,\beta)| d\beta = 1$$

Оченидно, что функция 2 (;) ограничена сверху и стремится к нулю, когда 7 - 0.

Решая интегральное уравнение (17) методом последовательных приближений, получим выражения функции  $G(\gamma)$ . Далее, по формулам (18), (14), (12), (11) и (10) последовательно можно определить все искомые функции, а. следовательно, и напряжения и персмещения в любой точке полуплоскости.

Напряжения и перемещения на линии  $\mathbf{r}=0$ , выраженные через функции G(3) и  $\varphi_1(r)$ , имеют пид

$$z_{x}(0, y) = \frac{2}{\pi} y \frac{z_{1}(a)}{(a-y^{2})} = \frac{2}{\pi} y \int_{a}^{\infty} \frac{z_{1}(r) dr}{(r-y)} = \frac{2}{\pi} y \int_{a}^{\infty} \frac{f_{1}(x) dx}{y^{2} + x^{2}} + \frac{2}{\pi} y \int_{a}^{\infty} \frac{r dr}{(r^{2} - y^{2})^{-1}} \int_{a}^{\infty} [3rK_{1}(zr) - 2K_{0}(3r)] G(3) dz$$

$$= \int_{a}^{\infty} \frac{r dr}{(r^{2} - y^{2})^{-1}} \int_{a}^{\infty} [3rK_{1}(zr) - 2K_{0}(3r)] G(3) dz$$

$$= \int_{a}^{\infty} \frac{r dr}{(r^{2} - y^{2})^{-1}} \int_{a}^{\infty} [3rK_{1}(zr) - 2K_{0}(3r)] G(3) dz$$

$$= \int_{a}^{\infty} \frac{r dr}{(r^{2} - y^{2})^{-1}} \int_{a}^{\infty} [3rK_{1}(zr) - 2K_{0}(3r)] G(3) dz$$

$$= \int_{a}^{\infty} \frac{r dr}{(r^{2} - y^{2})^{-1}} \int_{a}^{\infty} [3rK_{1}(zr) - 2K_{0}(3r)] G(3) dz$$

$$= \int_{a}^{\infty} \frac{r dr}{(r^{2} - y^{2})^{-1}} \int_{a}^{\infty} [3rK_{1}(zr) - 2K_{0}(3r)] G(3) dz$$

$$= \int_{a}^{\infty} \frac{r dr}{(r^{2} - y^{2})^{-1}} \int_{a}^{\infty} [3rK_{1}(zr) - 2K_{0}(3r)] G(3) dz$$

$$= \int_{a}^{\infty} \frac{r dr}{(r^{2} - y^{2})^{-1}} \int_{a}^{\infty} [3rK_{1}(zr) - 2K_{0}(3r)] G(3) dz$$

$$= \int_{a}^{\infty} \frac{r dr}{(r^{2} - y^{2})^{-1}} \int_{a}^{\infty} [3rK_{1}(zr) - 2K_{0}(3r)] G(3) dz$$

$$= \int_{a}^{\infty} \frac{r dr}{(r^{2} - y^{2})^{-1}} \int_{a}^{\infty} [3rK_{1}(zr) - 2K_{0}(3r)] dz$$

$$= \int_{a}^{\infty} \frac{r dr}{(r^{2} - y^{2})^{-1}} \int_{a}^{\infty} [3rK_{1}(zr) - 2K_{0}(3r)] dz$$

$$= \int_{a}^{\infty} \frac{r dr}{(r^{2} - y^{2})^{-1}} \int_{a}^{\infty} [3rK_{1}(zr) - 2K_{0}(3r)] dz$$

$$= \int_{a}^{\infty} \frac{r dr}{(r^{2} - y^{2})^{-1}} \int_{a}^{\infty} [3rK_{1}(zr) - 2K_{0}(3r)] dz$$

$$u(0, y) = \frac{4}{\pi E_{\epsilon}} \left[ \frac{r \psi_{1}(r)}{(y^{2} - r^{2})^{2}} - \frac{4}{\pi E_{\epsilon}} \right] \frac{r dr}{(y^{2} - r^{2})^{2} \gamma} \left[ \frac{2}{\pi} K_{1}(\beta r) - 2K_{0}(\beta r) \right] G(\beta) d\beta \qquad (a < y < \infty)$$
(23)

Lie

$$\varphi_1(a) = -\int_a^{\infty} \frac{f(u) \, du}{(u - a^2)^{-1}} - \int_a^{\infty} \frac{f_1(u) \, du}{(a^2 + u^2)^{-2}} \tag{24}$$

$$= r \left( \frac{\int_{0}^{r} (u) du}{(u^{2} + r^{2})^{-r}} - \frac{1}{r} \int_{0}^{r} \frac{f'(v)vdv}{(v^{2} - r^{2})^{r}} \right)$$
 (25)

При получении (22) и (23) были использованы значения следующих интегралов [5]:

$$\int e^{-t} \cos(3x) d^2x = \frac{y}{y^2 - x^2}, \qquad \int \int_0^1 (2r) \cos(2y) dx = \frac{1}{(r^2 - y^2)^{-1}}$$

$$\int_0^1 (2r) \sin(2y) dx = \frac{1}{(y^2 - r^2)^{-1}}$$

В частном случае, когда a — , получим известную задачу для полуплоскости без разреза. В этом случае интегральное уравнение (17) выпадает, и неизвестная функция  $G(\cdot)$  приравнивается предельному значению свободного члена. Следовательно, решение этой задачи получается в замкнутом виде

$$G(\gamma) = \frac{2}{\pi} \int_{0}^{\pi} f_{\varepsilon}(x) \sin(\gamma x) dx - \frac{2}{\pi} \int_{0}^{\pi} f_{\varepsilon}(x) \cos(\gamma x) dx \qquad (26)$$

Torga

$$D(\beta) = \frac{G(\beta)}{\beta^2} = \frac{2}{\pi \beta^2} \int f_2(x) \sin(\beta x) dx - \frac{2}{\pi \beta^2} \int f_1(x) \cos(\beta x) dx$$
 (27)

$$A(\alpha) - B(\alpha) = 0 \tag{28}$$

$$C(\beta) = -\frac{2}{\pi\beta^2} \int_{0}^{\pi} f_1(x) \cos(\beta x) dx$$
 (29)

$$z_x(0, y) = \frac{4!}{-} y \int_{0}^{1} \frac{x^2 f_1(x) dx}{(x^2 - y^2)^2} - \frac{4!}{-} \int_{0}^{1} \frac{x^3 f_2(x) dx}{(x - y^2)^2}$$
(30)

В другом частном случае, когда а 0, получим первую основную задачу теории упругости для квадранта. В этом случае ядро и свободный член интегрального уравнения (17) принимает вил

$$K(z_0|\xi) = \frac{8}{\pi^2} \frac{1}{e} \frac{\left[e^{2(\xi-\tau)} - e^{-\tau(\tau)} - 4(\xi-\eta)\right]}{\left[e^{(\tau)} - e^{-\tau(\tau)}\right]}$$
(31)

$$Q\left(\gamma\right) = \frac{2}{\pi} \int_{0}^{r} f_{s}\left(x \sin\left(\gamma x\right) dx - \frac{2}{\pi} \int_{0}^{r} f_{t}\left(x\right) \cos\left(\gamma x\right) dx - \frac{2}{\pi} \int_{0}^{r} f_{t}\left(x\right) \sin\left(\gamma x\right) dx - \frac{2}{\pi} \int_{0}^{r} f_{t}\left(x\right) dx - \frac{2}{\pi} \int_{0}^{r}$$

$$+\frac{87}{\pi^2}\int f(y)\,dy\,\int \frac{z^2\sin{(xy)}\,dz}{(z^2+\gamma^2)^2}\,+\frac{87}{\pi^2}\int f_1(x)\,dx\,\int \frac{y^2e^{-4z}}{(z^2+\gamma^2)^2}\,dz \qquad (32)$$

н интегральное уранкение (17) сводится к интегральному уравнению Винера-Хопфа, которое решается точно в квадратурах:

$$G_{1}(\eta) = \Omega_{1}(\eta) + \frac{1}{\sqrt{2\pi}} \int_{-\infty}^{\infty} \frac{\Omega_{1}(z) K^{0}(z)}{1 - K^{*}(z)} e^{i\eta z} dz$$
 (33)

Здесь искомая функция  $G_1(\eta)$  и свободный член  $\Omega_1(\eta)$  связаны с функциями  $G(\eta)$  и  $\Omega(\eta)$  соотношениями

$$G_1(\eta) = G(e^\epsilon), \quad \Omega_1(\eta) = \Omega(e^\epsilon)$$

а  $\mathfrak{Q}^*(z)$  трансформант Фурье функции  $\mathfrak{Q}_1(z)$ ,  $\mathcal{K}^*(z)$  трансформант Фурье ядра (31)

$$\Omega^{\bullet}(\varepsilon) = \frac{1}{1 \cdot 2^{-\epsilon}} \int \Omega_{1}(\tau_{i}) e^{-i\tau_{i}\varepsilon} d\tau_{i}$$
 (34)

$$K^{q}(z) = -\frac{8}{z^{2}}\int \frac{|e^{2g} - e^{-2g} - 4g|}{|e^{g} - e^{-g}|^{d}} e^{-izg}dg$$
 (35)

Таким образом, первая основная задача для квадранта решается также в замкнутом ниде.

В качестве примера рассмотрим случан:

в) Горизонтальная граница полуплоскости свободна от внешних нагрузок, а п разрезе действует затухающее давление. В этом случае

$$f_2(x) = 0$$
,  $f_2(x) = 0$ ,  $f(y) = -e^{-x}$ 

и формулы (24), (25) и (20) примут нид:

$$\varphi_1(r) = K_0(r), \qquad \varphi_1(r) = -K_1(r)$$

$$\mathfrak{L}\left(\gamma\right) = -\frac{8\gamma}{\pi^{2}} \int r K_{0}(r) \left[ K_{0}(\gamma r) - \frac{1}{2} K_{1}(\gamma r) \right] dr$$

б) На конечной части (шириной 2b) горизонтальной границы полуплоскости действует равномерно распределенная нормальная ингрузка, симметричная относительно разреза с интенсивностью q.

Тогда

$$f_1(x) = \begin{vmatrix} -q & \text{при } 0 < x < b \\ 0 & \text{при } x > b \end{vmatrix}$$

$$f_2(x) = 0, \quad f(y) = 0$$

и согласно формулам (24), (25) и (20) имеем

$$z_{1}(r) = q \ln \frac{b - 1}{r} \cdot \frac{b^{2}}{r} : \qquad z_{1}(r) = q \frac{b}{r + r^{2} + b^{2}}$$

$$= (7) - \frac{2}{r} \cdot \frac{q}{r} \sin (7b) - \frac{8}{r} \cdot q \int \ln \left| \frac{b - 1}{r} \cdot \frac{r^{2} - b^{2}}{r} \right| \left| K_{0}(7r) - \frac{q}{r} \cdot \frac{r^{2} - b^{2}}{r} \right| \left| \frac{dr}{r} \cdot \frac{dr}{r} \cdot \frac{dr}{r} \cdot \frac{dr}{r} \right|$$

Некоторые значения напряжений a (0, y) и перемещений a (0, y), нычисленные по формулам (22) и (23) для различных точек вертикальной оси полуплоскости в зависимости от a и b принедены в табл. 1, 3 (случай a) и 2, 4 (случай b).

Таблица 2

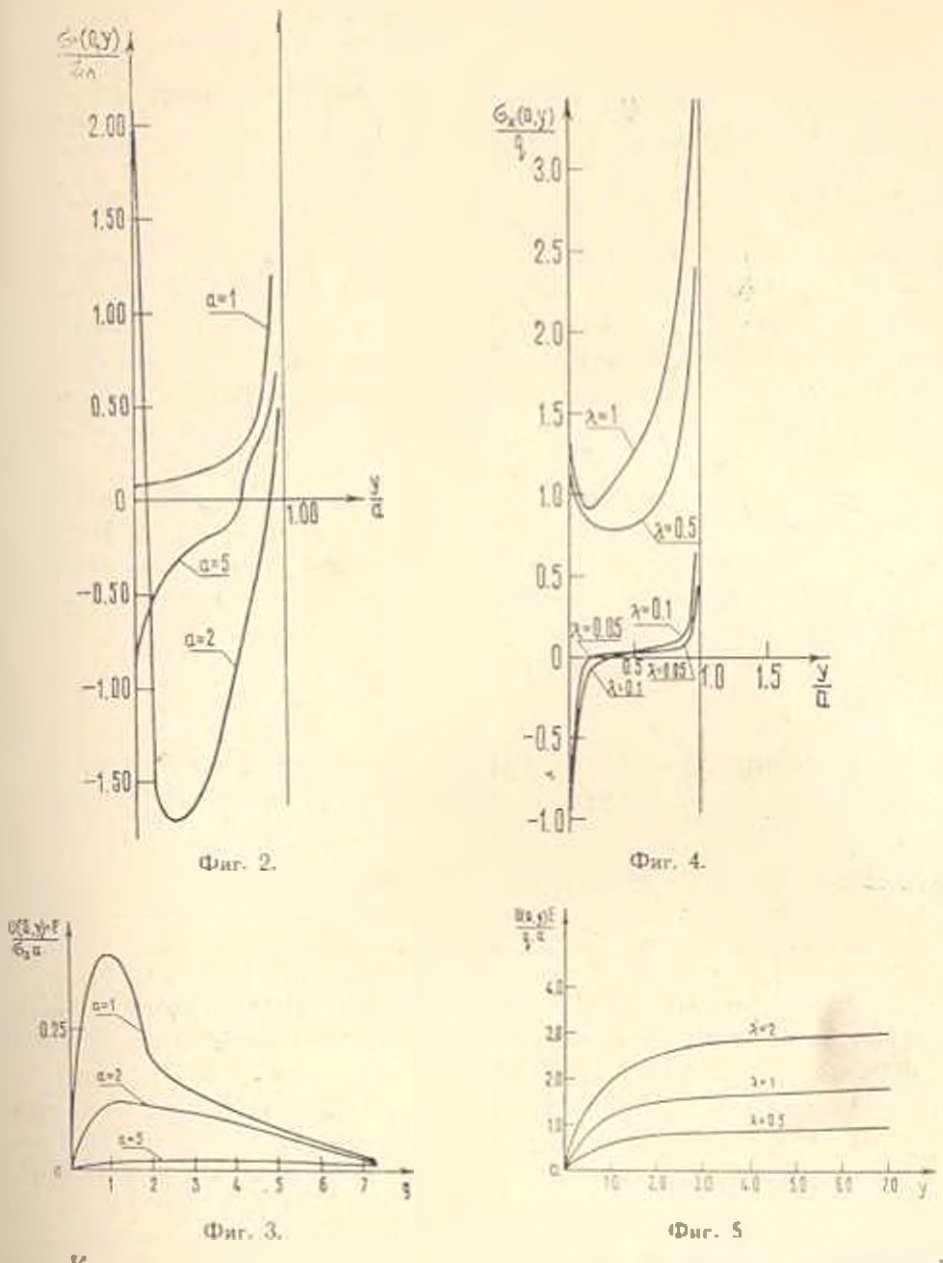
Таблица 1

z (0, n)

2 (0, y)				$\frac{\sigma_{\chi}(0,y)}{2}$			
- 9				q			
y/u	1	2	5	9,0	0.05	0.1	0.5 1
0	0.0985	2.0961	0.8587	0	-1	—1	1.1463 1.2737
1/8	0.1020 -	-1.5142	-0.5221	1.8	-0.0187	-0.1109	0.8435 0.9084
1/4	0.1393 -	-1.7284	-0.3635	1.4	0.0049	0.0063	0.8045 1.0145
3/8	0.1761	1.6208	-0.2777	3 8	0.0118	0.0182	U.7938 1,1308
1/2	0.1977	1.3884	- 0.2251	1/2	0.0179	0.0334	0.8195 1.2743
5/8	0.2012	-1.0526	2.1896	5 8	0.0252	0.0491	0.8943 1.4766
3/4	0.3138 -	-0.6132	0.1647	3:4	0.0359	0.0710	1.0597 1.8219
7/8	0.7432 -	-0.1532	0.1787	7.8	0.0574	0.1142	1_5358 2.7228
				ļ			
			Tu6 suno 3				Tub word 1
	ıı (	0, y) E	Таблица З		и (п		Таблица 4
	<u>u (</u>	0, y) E	Таблица З			y   E	Таблица 4
y			Таблица 3	g		$y \mid E$	Таблица 4 2
1		2	5	<u>g</u> a-j-1	1	uq	
y	1	0.109	5 0.0076		0.5	1 1	2
<u>y</u> u+1	0.3654	0.109	5 07 0.0076 19 0.0099	a-j-1	0.5	1 1.2116	2
y a+1 a+2	0.3654 0.1812	0.109 0.106 0.099	5 0.0076 9 0.0099 0.0110	a + 1 a+2	0.5 0.6347 0.7639	1 1.2116 1.4748	1.9796 2.4698
y a+1 a+2 a+3	0.3654 0.1812 0.1377	0.109 0.106 0.099 0.099	5 0.0076 9 0.0099 8 0.0110 0.0114	a † 1 a † 2 a † 3	0.6347 0.7639 0.8402	1 1 1 .2116 1 .4748 1 .6312	1,9796 2,4698 2,7741
u+1 u+2 u+3 a+4	0.3654 0.1812 0.1377 0.1282	0.109 0.106 0.099 0.094 0.089	5 0.0076 9 0.0099 8 0.0110 3 0.0114 94 0.0111	a + 1 a + 2 a + 3 a + 4	0.5 0.6347 0.7639 0.8402 0.8494	1.2116 1.4748 1.6312 1.6554	1.9796 2.4698 2.7741 2.8435
u+1 u+2 u+3 a+4 a+5	0.3654 0.1812 0.1377 0.1282 0.1209	0.109 0.106 0.099 0.094 0.089 0.089	5 07 0.0076 99 0.0099 08 0.0110 03 0.0114 0.0111 01 0.0105	a + 1 a + 2 a + 3 a - 4 a - 5	0.5 0.6347 0.7639 0.8402 0.8494 0.8497	1.2116 1.4748 1.6312 1.6554 1.6599	1,9796 2,4698 2,7741 2,8435 2,8753

Аля наглядного представления закона распределения пормальных напряжении  $\sigma_r(0, y)$  вне разреза и перемещений u(0, y) на разрезе (фиг. 2, 3, 4 и 5) приведены эпюры этих исличин. Следует отметить, что эти эпюры составлены приближенно на основании расчетон, про-изнеденных только для нескольких точек оси.

Как показывают вычисления (табл. 1, 2) и построенные графики (фиг. 2, 4), закон распределения напряжения э (0, у) существенно отличается от закола распределения соответствующего напряжения для полуплоскости без разреза, если разрез находится достаточно близко от горизонтальной границы.



Когда разрез находится достаточно далеко от горизонтальной границы, зачон распределения этого же напряжения качественно сонпадвет с законом распределения соотнетствующего напряжения для полуплоскости без рязреза. Числовые результаты получены на ЭВЦМ "Наири" в институте математики и механики АН АрмССР В. Ширианицом.

Ипетитут математиям и механиям АН Арминеной ССР Ерепанский политехнический институт им. К. Маркса

#### d. U. Sarabar, D. A. Ireleafiersar

## արդյանի հիմնածվերջ ձեզքով հիմնարբարբեն, Մի ենքբը Մասին

#### ll de dynadia i d

Աշխատանբում դիտարկվում է հորիցոնական հղթից «Δ» հեռավորության վրա կիսաանվերը ուղղաձից հեղթ ունեցող կիսանաթթության խնդիրը։ Հարիդունական երրի վրա արված է լարումների վեկտորը, իսկ ուղղաձից ձեղթի ափև. ըին՝ նորմալ ճնշումը։ Խնդիրը լուծված է ֆությեի մեթողով։ Ինտեցրման դոր-ծակիցների որոշումը թերվել է «զույց» ինտեցրալ հավասարման լուծմանը, որն իր հերթին ընդվել է ֆրեդհոլմի երկրորդ սեռի ինտեցրալ հավասարման լուծմանը,

Вույց է արված, որ վերջին հավասարումը կարելի է լուծել հաջորդական մոտավորությունների մեթողով։ Մասնավոր դեպքում, երբ  $a \sim \infty$  կամ  $a \sim 0$ . ցույց է տրված, որ ստացվում են համապատասխանաբար առանց ճեղքի կիսահարթության և բառորդ հարթության համար առաջին եզրային խնդիրների լուծումները։

Բերված է թվային օրինակ։

# A PROBLEM FOR A SEMI-PLANE WITH A VERTICAL SEMI-INFINITE CRACK

#### V. S. TONOYAN, S. A. MELCUMIAN

# Summary

The present paper deals with a problem of the theory of elasticity for an isotropic semi-plane with a vertical semi-infinite crack at a distance "a" of the horizontal boundary.

The stress vectors on the horizontal boundary of the semi-plane and the normal pressure on the vertical crack are specified. The problem is solved by the Fourier method. The determination of the integration coefficients is reduced to solving the dual integral equations which in their turn are reduced to solving Fredhoim's integral equation of the second kind.

It is shown that the last-mentioned equation can be solved by the consecutive approximation method.

Particularly, when  $a - \infty$  or a = 0, the solutions are obtained to the first boundary problem for the semi-plane without cruck and the quarter-plane respectively.

A numerical example is given.

#### **ЛИТЕРАТУРА**

- 1. Смеддон И. Решение задач теории упругости для трещин при помощи интегральими преобразований. Периодический сб. переводов иностранных статей, Мехавика, т. 119. № 1, 1970, 111—122.
- 2. Мусколишвили Н. И. Некоторые основные задачи математической теорыв упругости. Изд. Наука. Физматгиз, 1966.
- 3. Тонпин В. С. О решении симметричной контактной яндочи для полуплоскости с включением. Изв. АН Арм.ССР, Механика, т. XXI, № 2, 1968.
- 4 Баблоян А. А. Решение некоторых парвых интегральных уравнении. ПММ, т. 28, вып. 6, 1964.
- Градштейн И. С. и Рымик И. М. Таблицы интегралов, сумм, рядов и произведоний. Физматгиз, М., 1962.

#### В. А. КАРПЕНКО

## ОСЕСИММЕТРИЧНАЯ КОНТАКТНАЯ ЗАДАЧА ДЛЯ УПРУГОГО ШАРА

Рассматривается задача о вдавливания двух одинаковых жестких симметрично расположенных штампов в упругий шар. Предполагается. что поверхиость шара вне штампов свободна от напряжений и под штампами касательные напряжения отсутствуют.

Вперные контактную задачу для шара в такой постановке изучали Б. Л. Абрамян, Н. Х. Арутювян, А. А. Баблоян [1] методом "парных" рядов.

В настоящей работе задача приведена к интегральному уравнению первого рода относительно контактного давления. Изучены основные снойства ядра уравцения и указана возможная схема его приближенного решения при малых значениях углов

контакта.

1. Граничные условия для рассматриваемой задачи в сферических координатах г, ф, 9 выражаются следующими соотношениями:

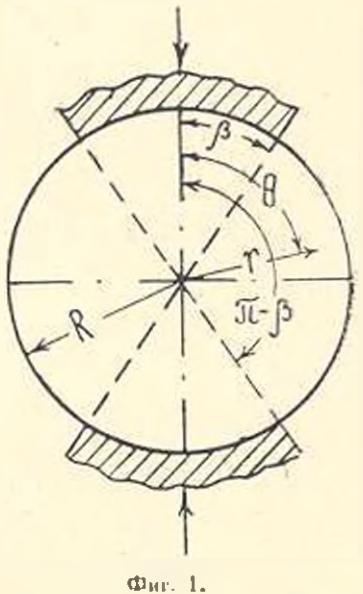
$$u_r|_{r=R} = -\delta(\theta)$$
 при

$$0 < \theta < \beta$$
  $\mu = -\beta < \theta < \epsilon$  (1.1)

$$||_{t=R} = 0$$
 при 0 = (1.2)

$$\tau_{e}|_{e=0} = 0$$
 npu  $\beta < 0 < z - \beta$  (1.3)

В. Ф. Бондарева [2] получила в кнадратурах решение задачи о деформировании упругого шара нормальными



нагрузками з (в). Решение уравнений равновесия в перемещениях имеет

$$u_r(r, \theta) = \frac{R}{2\pi G} \int_{-\pi}^{\pi} \pi(s) H_r(r/R, \theta, s) \sin s ds$$
 (1.4)

FAC

следующий вид:

$$H_r(x, \beta, z) = \frac{1-2\pi\pi x}{1+z} = \frac{1-x^2}{2\pi} \left(2x \frac{\theta U}{\theta x} + U\right) +$$

$$-2(1-y)\frac{1+x}{x}U - \frac{1}{x}Re\int_{0}^{x} \left(\frac{2x+Q}{y^{2}} + \frac{1}{y^{2}}\right)U(xy)dy$$

$$U(x, \theta, z) = \frac{K(k)}{h} - \frac{1}{2}(1 + x\cos\theta\cos z)$$

$$h^{2} = (1-x)^{2} + 4x\sin^{2}\frac{t+z}{2}$$

$$\dot{x}^{2} = \frac{4x\sin\theta\sin z}{h}, x = rR$$
(1.5)

K(k) — полный эллиптический интеграл первого рода. Константы P и Q зависят только от коэффициента Пурссона  $\cdot$ .

$$P = 4v^{2} - 6v - 2 - i \frac{8v^{3} - 12v^{2} - 3}{\sqrt{3} - 4v^{2}}$$

$$Q = 4v^{2} - 2v - 1 + i \frac{8v^{3} - 4v - 5v - 2}{\sqrt{3} - 4v^{2}}$$

$$2n_{1} = -(1 + 2v) - i \sqrt{3} - 4v^{2}$$

Удовлетнория с помощью (1.4) граничным условиям (1.1) — (1.3) получим для определения контактного дапления q(6) = -z(5) при r = R и  $0 \le \theta \le 3$  следующее интегральное уравнение первого рода:

$$F_{r}(\theta) = \frac{R}{2\pi G} \left[ \int q(z) H_{r}(1, \theta, z) \sin z dz - \frac{1}{2\pi G} \right]$$

$$= \int q(z) H_{r}(1, \theta, z) \sin z dz$$
(1.6)

2. Преобразуем уравнение (1.6). Сделав во втором интеграле правой части замену переменных z=z-z' и учитывая, что  $q(z)=q(\pi-z)$ , получим

$$\mathcal{E}(\theta) = \frac{R}{2\pi G} \int_{0}^{\frac{\pi}{2}} q(z) [H_{r}(1, \theta, z) - H_{r}(1, \theta, z - z)] \sin z dz \qquad (2.1)$$

Полагая

$$a = \beta t$$
,  $b = \beta z$ ,  $q(\beta t) = p(t)$ ,  $\delta(\beta z) = f(z)$ 

чисем

$$f(z) = \frac{R_0^2}{2\pi G} \left\{ p(t) | H_r(1, 3\pi, 3t) - H_r(1, 3\pi, \pi, 2t) \right\} \sin 3t dt \qquad (2.2)$$

0 < z < 1

Иляестия АН Армянской ССР, Механика, № 4

На основании (1.4) — (1.5) можно показать, что

$$\beta [H_{\epsilon}(1, \beta_{\epsilon}, \beta_{\ell}) + H_{\epsilon}(1, \beta_{\epsilon}, \epsilon - \beta_{\ell})] =$$

$$= 4(1-v) \left[ \frac{K(\frac{2+vt}{z+t})}{z-t} - F(z, z, t) \right]$$
 (2.3)

где  $I'(\beta - t)$  — непрерывная при всех 0 < t < 1 функция, стремя-шаяся к нулю при  $\theta = 0$ .

Таким образом, ураннение (2.2) можно предстапить в пиде

$$\int_{0}^{1} Q(t) K\left(\frac{2 + \frac{\pi t}{t}}{t - t}\right) \frac{tdt}{t - t} = \frac{\pi \Delta}{2R} f(\tau) + \int_{0}^{1} Q(t) F(\beta, \tau, t) tdt \qquad (2.4)$$

Здесь обозначено

$$\Delta = G(1-v)^{-1}, \quad Q(t) = p(t)t^{-1}\sin 3t$$

Эффективные приближенные решения интегрального уравнения (2.4) при достаточно малых в могут быть получены с помощью метолов, описанных в работе [3].

Вычисления показали, что уже при 7=7 контактиое данление отличается от данления, подсчитанного по теории Герца. более, чем на  $50/_{\rm d}$ .

Поступила 28 Х 1970

a, II, bikenbibin

# ԱՌԱՆՑՔԱՍԻՐԵՏՐԻԿ ԿՈՆՏԱԿՏԱՅԻՆ ԽՆԳԻՐԸ ԱՌԱԶԳԱԿԱՆ ԳՆԳԻ ՀԱՄԱՐ

'երտարկված է երկու միատեսակ, սիմետրիկ դասավորված կոշտ դրոշմների առանձգական դնդի վրա աղդման խնդիրը։ Ենիադրվում է, որ դրոշմներից դուրս դնդի մակերևույին աղատ է լարումներից, իսկ դրոշմների տակ բացակայում են շոշավող լարումները։

Խնդիրը բերված է առաջին սևոի ինտեղրալ 'ավասարժան՝ կոնտակտային "Դշման նկատժամը։ Ուսուժնասիրված են հավասարժան կորիդի հիմնական հատկությունները և նշված է նրա ժոտավոր լուծման հնարավոր սիսնմա՝ կոնտակտի անֆյան փորը արժերների դեպքում։

### AXISYMMETRIC CONTACT PROBLEN FOR AN ELASTIC BALL.

#### V. A. KARPENKO

### Summary

A problem on pressing two identical rigid and symmetrically spaced punches in an elastic ball is considered.

The problem is reduced to an integral equation of the first kind with respect to contact pressure. The basic characteristics of the equation kernel are studied and a possible pattern for its rough solution with small values of contact angles is specified.

#### AUTEPATYPA

- 1. Абримян Б. Л.: Арутюнян Н. Х., Библоян А. А. О двух контактных задачах для упругой сферы. ПММ, т. 28, вып. 4, 1964.
- 2. Бондарева В. Ф. О. действин осесимметричной нормальной нагрузки ил упругий шар. ПММ, т. 33, иып. 6, 1969.
- 3 Алексиндров В. М. О приближением решении некоторых интегральных уравнений теории упругости и математической физики. ПММ, т. 31, имп. о, 1967.

#### в. х сирунян

# ДВЕ ЗАДАЧИ ТЕОРИИ ТРЕЩИН В ОБЛАСТЯХ С КРУГОВЫМИ ГРАНИЦАМИ

Рассматриваются следующие задачи теории трещин:

11 равномерное односторониее растяжение бесконечной упругой плоскости, ослабленной круговым отверстием и имеющей две симметричные трещины, не выходящие на границу кругового отверстия;

2) широкое кольцо, имеющее впутри длишые симметричные трещины и находящееся под равномерным давлением.

Спачала определяем комплексные потенциалы Н. И. Мусхелишвили [1] для упругой бесконечной плоскости, имеющей на действительной оси симметричные трещины. Трещины рассматриваются как разрыв пормальных перемещений.

Далее находим напряжения от неизвестных разрынов перемещения на окружностях  $R_{+}(R_{-})$ , внутри и вне которых находятся трещины. Решаем плоскую задачу теории упругости, прикладывая эти напряжения с обратным знаком и заданную внешнюю нагрузку на границах тех же областей, но не имеющих пнутри трещин.

Складывая решения последней задачи с решением задачи для упругой бесконечной плоскости, имеющей трещины, определяем напряжения на гранях трещин. Требуя обращения в нуль этих напряжений, получаем интегральные уравнения задач. Полученные интегральные уравнения решаются методом больших £ [2].

Приведены формулы для определения предельной нагрузки. По аналогичной слеме в работе [3] была решена задача о растяжения кругоного диска, внутри которого есть центральная трещина.

# § 1. Две симметричные трещины в плоскости с отверстием

1. Вывод интегрального уравнения. Пусть L совокупность от резков  $a_1b_1$ ,  $a_2b_2$  действительной оси ох. Будем различать нерхиюю (обозначаемую индексом +) и нижнюю (обозначаемую знаком — окрестности каждой точки t, расположенной на L

Пусть на L заданы скачки смещения, то есть значения разностей

$$u = u = 0, \quad v^{\pm} - v = \sigma(t)$$

Комплексные потенциялы  $\varphi_0(z)$  и  $\varphi_0(z)$ , определяющие упругое ранновесие, голоморфные во всей плоскости, разрезанной вдоль L, и равные нулю на бесконсчности, определяются формулами [1]

$$= (z) - \frac{G}{\pi(z+1)} \int_{L}^{\infty} \frac{g(t) dt}{t-z}, \quad \pi_0(z) - \frac{G}{\pi(z+1)} \int_{L}^{\infty} \frac{g(t) - tg'(t)}{t-z} dt$$
(1.1)

гае G модуль санига, x=3-49 в случае плоской деформации или  $x=\frac{3-9}{1-3}$  в случае плоского напряженного состояния, y= коэффициент Пуассона.

Дифференцируя выражения (1.1) по г. будем иметь:

Предположим, что функция, определяющая разрыв перемещений, удовлетворяет условию

$$g(a_k) - g(b_k) = 0, \quad k = 1, 2$$
 (1.3)

Интегрируя в соотношениях (1.2) по частям, с учетом условия (1.3), будем иметь:

$$F_{t}(z) = D \left( \frac{\mu(t) dt}{t - z} \right)$$

$$F_{t}(z) = -i \partial z \int_{t}^{\infty} \frac{\mu(t) dt}{(t - z)^{2}}$$
(1.4)

Здесь внедены обозначения:

$$D = \frac{G}{\pi(x+1)}$$
,  $g'(t) = u(t)$ .

Компоненты напряженного состояния, вызванного указанным выше разрывом перемещений, в прямоугольных прямолинейных и поаярных координатах определяются из соотношений [1]

Подстовляя в последние равенства выражения для функций  $s_n(z)$  и +(z), из (1.4) получим:

$$z_{x}^{0} + z_{y}^{0} = z_{b}^{0} + z_{z}^{0} = 2D \int_{L} \left[ \frac{1}{t - z} + \frac{1}{t - \overline{z}} \right] n(t) dt$$

$$z^{0} - z^{0} + 2iz_{eq}^{0} = e^{-2i\theta} \left( z_{b}^{0} - z_{z}^{0} + 2iz_{e\theta}^{0} \right) = 2D(z) = \int_{L} \frac{n(t) dt}{(t - z)^{2}}$$
(1.6)

Для комбинации нормального и касательного напряжений и полярной системе координат из формулы (1.6) получим:

$$z_{\tau}^{0} + i z_{t0}^{0} = D \left[ \int_{\mathcal{L}} \left( \frac{1}{t - z} + \frac{1}{t - \overline{z}} \right) \mu(t) dt + (\overline{z} - z) e^{2t0} \int_{\mathcal{L}} \frac{\mu(t) dt}{(t - z)^{2}} \right]$$
(1.7)

На окружности радиуса R имеем  $z=Re^{i}=R^{2}$  и выражение (1.7) запишется и виде:

$$z_{r}^{0} - i z_{rh} = D \int \left[ \frac{1}{t - zR} - \frac{1}{z(t - R)^{2}} \right] \mu(t) dt$$
 (1.8)

Рассмотрим теперь бесконечную пластинку с кругоным отверстием, по контуру которой действуют напряжения, обратные по знаку папряжениям (1.8). При помощи  $z = w(1) = R^2$  бесконечная плоскость с круговым отверстием отображается на внешность единичного круга. Функции Мусхелишвили определяются формудами [1]:

$$\frac{\tau_{1}(\zeta)}{2\pi i \zeta} \int \frac{X_{n} + iY_{n}}{z - \zeta} dz = \frac{a_{1}}{\zeta}$$

$$\psi_{1}(\zeta) = -\frac{1}{2\pi i \zeta} \int \frac{X_{n} + iY_{n}}{z - \zeta} dz + \frac{\varphi_{1}(\zeta)}{\zeta^{2}} - \frac{\varphi_{1}(\zeta)}{\zeta} + \frac{a_{2}}{\zeta}$$

$$a_{1} = -\frac{X - iY}{2\pi R + 1 - z}, \qquad a_{2} = \frac{\gamma(X - iY)}{2\pi R + 1 + z}$$
(1.9)

где  $\gamma$ — единичная окружность,  $X_n$  и  $Y_n$ — компоненты впешних усилия со стороны положительной нормали, (X, Y)— гланный вектор кнешних усилий. В нашем случае:

$$X_{n} = iY_{n} = z\left(z_{n}^{0} + iz_{n}^{0}\right)$$

$$X_{n} = iY_{n} = D \left(\left|\frac{1}{i - zR} + \frac{R\left(1 - z^{2}\right)}{z\left(t - R\right)^{2}}\right| z u\left(t\right) dt$$

$$X_{n} = iY_{n} = D \left(\left|\frac{1}{i - zR} + \frac{z}{iz - R} - \frac{Rz\left(1 - z^{2}\right)}{\left(t - zR\right)^{2}}\right| \frac{u\left(t\right)}{z} dt$$

$$X = iY - R \left(\left(X_{n} - iY_{n}\right) dt_{1} + dt_{2} - i\frac{dz}{z}\right)$$

$$(1.10)$$

Вычисление интегралов, входящих в формулы (1.9) с учетом (1.10) и соотношений

$$\frac{1}{2\pi i} \sqrt{\left| \frac{1}{t - zR} - \frac{R}{tz - R} + \frac{R(1 - z)}{(tz - R)^{2}} \right|} = \frac{R(\zeta^{2} - 1)}{(t\zeta - R)^{2}} - \frac{R}{tz} - \frac{Rz}{tz(t\zeta - R)}$$

$$\frac{1}{2\pi i} \int \left| \frac{1}{z(t - zR)} - \frac{1}{tz - R} - \frac{R(1 - z^{2})}{tt - R} \right| \frac{dz}{tz - R}$$

$$\frac{1}{t\zeta - R} - \frac{1}{t\zeta - R}$$
(1.11)

не предстанляет особого труда.

Соотнетственно для Х ії получаем

$$X - iY = 2RDi \int_{Y} \left[ \frac{R}{t^{2}} \ln \left( \frac{R-t}{R+t} \right) - \frac{4}{t} \right] v(t) dt$$

$$X + iY - 4Di \int_{Y} \ln \left( \frac{t-R}{t-R} \right) v(t) dt$$
(1.12)

После подстановки (1.12), (1.11) и (1.10) в выражение (1.9) и перехода к старым переменным z=R- получим

$$\varphi_{1}(z) = D \int_{L} \left[ \frac{R^{2}(z^{2} - R^{2})}{z(tz - R^{2})^{2}} - \frac{R^{2}}{t^{2}z} \frac{R^{4}}{t^{2}z(tz - R^{2})} \right] + \frac{2i}{\pi z(1 + x)} \ln \left( \frac{t - R}{t + R} \right) \left[ u(t) dt \right]$$

$$\psi_{1}(z) = D \int_{L} \left[ \frac{R^{2}(2t^{2}z^{2} - R^{2}tz - R^{4})}{t^{2}z^{3}(tz - R^{2})} - \frac{2R^{4}}{t^{2}z^{3}} + \frac{R^{4}(t^{2}z^{2} - R^{2}t^{2} - 2R^{2}tz - R^{4})}{t^{2}z^{3}(tz - R^{2})^{2}} - \frac{R^{4}(3R^{2}tz - tz^{4} - R^{4} - R^{2}z^{2})}{z^{3}(tz - R^{2})^{3}} \right]$$

$$\frac{4R^{3}i}{z^{2}Rz^{3}(1 + x)} \ln \left( \frac{t - R}{t + R} \right) + \frac{2xRi}{\pi z(x + 1)} \left( \frac{2}{t} + \frac{R^{2}}{t^{2}} \ln \left( \frac{t - R}{t + R} \right) \right) \left[ u(t) dt \right]$$

$$C. \qquad (1.12) \quad (1.4) \quad (2.4)$$

Суммируя (1.13) и (1.4), пайдем комплексиме потенциалы для пластинки с круговым отверствем со свободными от усилий границами и указанным выше разрывом персмещений на линии L

$$e'(z) = \varphi_1(z) + \varphi_0'(z), \quad \varphi_1(z) - \varphi_1(z) + \varphi_0'(z)$$

Подставляя последние выражения в формулы (1.5), после некоторых преобразований будем иметь на дейстлительной оси

$$\frac{2R^{4}}{t}(x, 0) = D \int_{\mathcal{L}} \left[ \frac{2}{t-x} - \frac{R^{2}(x^{2} + 2R^{2})}{t^{2}x^{3}} - \frac{2R^{2}(x^{2} - R^{2})}{x(tx - R^{2})^{2}} \right]$$

$$\frac{2R^{4}}{t^{2}x(tx - R^{2})} + \frac{R^{3}(2tx - R^{2})}{t^{2}x(tx - R^{2})^{2}} + \frac{R^{2}(2t^{2}x^{2} - R^{2}tx - R^{4})}{t^{2}x^{3}(tx - R^{2})}$$

$$= \frac{2R^{2}}{t^{2}x^{2}} - \frac{2R^{2}t^{2}}{t^{2}x^{2}} + \frac{2R^{2}t^{2}}{t^{2}x^{2}} + \frac{R^{2}(2t^{2}x^{2} - R^{2}tx - R^{4})}{t^{2}x^{3}(tx - R^{2})}$$

$$\frac{R^{4}(t^{2}x^{2}-R^{2}t^{2}-2R^{2}tx+R^{4})}{t^{2}x^{3}(tx-R^{2})^{2}} + \frac{R^{2}(x^{2}-R^{2})(3R^{2}tx-tx^{3}-R^{4}-R^{2}x^{2})}{x^{3}(tx-R^{2})^{3}} \Big|_{(1.14)}$$

Индекс g обозначает, что напряжение  $\frac{\pi^2}{2}(x)$  нызвано на оси ох разрывом перемещений, задаваемых функцией  $\phi(t)$ .

Пусть  $z_i^\mu(x)$  — напряжение на оси ох в пластинке с круговым отперстием, вызнанное внешними силами, приложенными в бесконечности и симметричными относительно этой оси. Предполагая  $z^\mu(x)$  известным и приравнивая сумму  $z^\mu(x) = z_y^\mu(x)$  для x на L к нулю, получим интегральное уравнение для определения функции z(t)

$$D \int_{L} K(x, t) u(t) dt = z_{\eta}^{\mu}(x, o) = 0$$

$$a_{L} = x \leq h_{k}, \quad k = 1, 2$$
(1.15)

Здесь введено обозначение

$$K(x, t) = \frac{2}{t - x} - R^{2}(x^{2} + 2R^{2}) - \frac{2R^{2}(x^{2} - R^{2})}{x(tx - R^{2})^{2}} - \frac{2R^{4}}{t^{2}x(tx - R^{2})} + \frac{R^{2}(2tx - R^{2})}{t^{2}x(tx - R^{2})^{2}} + \frac{R^{1}(t^{2}x^{2} - R^{2}t^{2} - 2R^{2}tx - R^{4})}{t^{2}x^{3}(tx - R^{2})^{2}} + \frac{R^{4}(2tx - R^{2})}{t^{2}x(tx - R^{2})^{2}} - \frac{R^{2}(x^{2} - R^{2})(3R^{2}tx - tx^{3} - R^{2}x^{2} - R^{4})}{x^{3}(tx - R^{2})^{3}}$$

Уравнение (1.15) представляет собой сингулярное интегральное уразнение перного рода с ядром Коши и регулярной частью. В нашем случае оно примет нид:

$$D \int_{a}^{b} K(x, t) y(t) dt + D \int_{a}^{b} K(x, t) y(t) dt = -z_{p}^{p}(x)$$

Функция ч(1) удоплетворяет условию

$$\varphi(-t) = -\varphi(t) \tag{1.16}$$

После замены переменной t на -t и первом интеграле с учетом (1.16) будем иметь

$$D \int_{0}^{b} |K(x, t) - K(x, -t)| \, p(t) \, dt = -\frac{p}{g}(x)$$
 (1.17)

FAC

$$K(x, t) - K(x, -t) = 4 \left| \frac{t}{t^{2} - x} \right|$$

$$K^{2} \left( \frac{2t^{4}x^{4} - 4R^{2}t^{3}x - 14R^{4}x^{4}t^{4} - 18R^{8}t^{2}x^{2}}{tx^{2}(t^{2}x^{2} - R^{1})^{3}} \right)$$

$$= \frac{R^{36} \left( 7t^{2} - 10x^{2} \right) - 2R^{32} - R^{6} \left( t^{2}x^{4} + 13t^{4}x^{2} - 12t^{3}x^{4} \right)}{tx^{2} \left( t^{2}x^{2} - R^{1} \right)^{3}}$$

2. Пример. Рассмотрим растяжение бесконечной пластинки с круговым отверстием и двумя симметричными трещинами, не ныходящими на границы круга, ранномерно распределенными нагрузками, приложенными на бесконечности и перпендикулярными оси ох. Тогда

$$z_y^0(x, o) = \frac{P}{2} \left( 2 + \frac{R^2}{x^2} + \frac{3R^4}{x^4} \right)$$

Произведем в (1.17) замену переменных и введем обозначения

$$\frac{g}{a} = \varepsilon_0 \quad \frac{h}{a} = \varepsilon_0 \quad \frac{a}{R} = \varepsilon_1 \quad \mu(t) \quad \mu(a \mid \tau_1) = \mu_0(\tau_1) \quad (1.18)$$

После этого (1.17) примет вид

$$\int \left| \frac{1}{x_{i}-1} + K_{i}(1, \tau_{i}) \right| y_{i}(\tau_{i}) d\tau_{i} = -\frac{P}{4D} \left( 2 + \frac{x_{i}}{x_{i}+1} + \frac{3}{4\xi^{2}} \right) (1.19)$$

где

$$K_{i}(\xi, y) = \frac{(2^{-\frac{1}{2}} - 1)}{(\epsilon^{4}\xi \eta - 1)^{2}} + \frac{\epsilon^{\frac{1}{2}} - \frac{1}{\epsilon^{-\frac{1}{2}}\eta_{i}}(\epsilon^{\frac{1}{2}} - 1)}{\epsilon^{\frac{1}{2}}(\epsilon^{\frac{1}{2}}\eta_{i} - 1)^{2}} + \frac{(1^{-\frac{1}{2}}\xi - 1)(4\epsilon^{4}\xi \eta_{i} + \epsilon^{n}\xi^{n}\eta_{i} - \epsilon^{\frac{1}{2}}\xi - 3)}{\epsilon(\epsilon^{\frac{1}{2}}\eta_{i} - 1)^{3}}$$

$$(1.19)$$

Обозначим

$$\hat{\gamma}(\hat{z}) = -\frac{1}{\pi} \left[ \frac{P}{4D} \left( 2 + \frac{1}{\hat{\epsilon}^{3}\hat{z}} + \frac{3}{\hat{\epsilon}^{4}\hat{z}^{2}} \right) + \int_{z}^{z} K_{k}(\hat{z}, -\hat{z}) g_{k}(\hat{z}) d\hat{z}_{k} \right]$$

rae

$$\frac{b^2}{a^2} = d.$$

Уравнение (1.19) перепишется и форме

$$\int_{1}^{d} \frac{\mu_{0}(\eta)}{\eta - \xi} d\eta = \pi \psi(\xi)$$

которое имеет решение

$$\mu_{ii}(\varepsilon) = \frac{1}{\varepsilon V(d-\varepsilon)(\varepsilon-1)} C = \int \frac{1}{1-(d-\eta)(\eta-1)} (\eta) d\eta \qquad (1.20)$$

$$(C = \text{const})$$

Подставляя в (1.20) значение  $\mathcal{F}_{i}(t)$  и  $\mathcal{K}_{i}(t,\gamma)$  из (1.19), окончательно получим:

$$\mu_{0}(z) = \frac{1}{\pi + (d-z)(z-1)} \left\{ C + \frac{P}{4=D} \right\} \frac{V(d-\eta)(\eta-1)}{\eta - \varepsilon} \times \left( 2 + \frac{1}{\lambda^{2}\eta} + \frac{3}{\lambda^{2}} \right) d\tau = \frac{1}{\pi} \int_{0}^{\eta_{0}(z)} dz \int_{0}^{1} \frac{V(d-\eta)(\eta-1)}{t} \times \left[ \frac{\lambda^{2}(2x^{2}t-1)}{(\lambda^{4}t\eta-1)^{2}} + \frac{1}{t(\lambda^{4}t\eta-1)^{2}} + \frac{\lambda^{4}t\eta-t-1}{\lambda^{2}t\eta(\lambda^{4}t\eta-1)^{2}} + \frac{(\lambda^{2}t-1)(4\lambda^{2}t\eta+1)^{2}}{t(\lambda^{4}t\eta-1)^{3}} \right\} dt$$

$$(1.21)$$

Изменим порядок интегрирования во втором интеграле и возьмем внутренций интеграл. Разлагая затем в ряд ядро по степеням и ограничиваясь членами: порядка г получим:

$$v_{0}(\xi) = \frac{1}{\pi V} \frac{1}{(d-\xi)(\xi-1)} \left\{ C + \frac{P}{4D} \left[ 1 + d - 2\xi + \frac{1}{\lambda^{2}} \left( \frac{d}{\xi} - 1 \right) + \frac{3}{2\lambda^{4}} \left( \frac{2V\overline{d}}{\xi^{2}} + \frac{V\overline{d}}{\xi} - \frac{1}{\xi V\overline{d}} \right) \right] +$$

$$+ \int_{0}^{d} v_{0}(\eta) \left[ (V\overline{d} - \xi) \left( \frac{1}{\lambda^{2}\xi\eta_{i}} - \frac{2}{\lambda^{4}\xi\eta_{i}^{2}} \right) + O(\kappa^{-6}) \right] d\eta \right\}$$
(1.22)

Решим (1.22) методом больших л [2]. Разыскинаем решение уравнения (1.22) и форме

$$p_0(\xi) = \sum_{i=1}^{\infty} e^{-2\pi i} n^{2\pi}(\xi)$$
 (1.23)

Подставляя выражение (1.23) в ураннение (1.22) и приравнивая члены при одинаковых степенях  $\ell^{-1}$ , с точностью до членов порядка  $\ell^{-4}$  получим

$$\begin{split} \psi^0(\xi) &= \left | \, C + \frac{P}{4D} \, (1+d-2\xi) \, \right | \pi^{-1} \, | \, (d-\xi) \, (\xi-1) \, |^{-\eta_0} \\ \psi^2(\xi) &= \left | \, C \left( \frac{1}{\xi} - \frac{1}{|\sqrt{d}|} \right) + \right. \\ &+ \frac{P}{4D} \left( \frac{\sqrt{d}}{\xi} - 1 \, \right) \left( \sqrt{d} + \frac{1}{|\sqrt{d}|} - 1 \, \right) \left | \, \pi^{-1} \, | \, (d-\xi) \, (\xi-1) \, |^{-1/2} \\ \psi^4(\xi) &= \left | \, C \left( 1 - \frac{|\sqrt{d}|}{\xi} \right) \right | \, 1 + \left( 2 - \frac{1}{\xi} \right) \left( \frac{1+d}{2d\sqrt{d}} \right) \right | + \\ &+ \frac{P}{4D} \left( 1 - \frac{|\sqrt{d}|}{\xi} \right) \left( \frac{1}{2} + \frac{|\sqrt{d}|}{2} + \frac{1}{|\sqrt{d}|} + \frac{1}{|\sqrt{d}|} + \frac{1}{|\sqrt{d}|} + \frac{1}{2d} + \frac{1}{2d\sqrt{d}} \right) \right | \pi^{-1} \, | \, (d-\xi) \, (\xi-1) \, |^{-\eta_0} \end{split}$$

Суммируя  $\mathfrak{p}^0$ ,  $\mathfrak{c}^{-1}\mathfrak{p}^{-1}$ ,  $\mathfrak{c}^{-1}\mathfrak{p}^{-1}$  и новвращаясь к старым переменным (1.18), неизвестной функции  $\mathfrak{p}^1(x)$  получим выражение:

$$\frac{a^{2}}{\pi + \frac{1}{1}b^{2} - x^{2})(x^{a} - a^{2})} \left\{ C \right| 1 - \frac{a}{a} + \frac{1}{1} - \frac{a(a^{2} + b^{2})}{2b^{3}i^{4}}$$

$$\frac{1}{x} \left( \frac{a^{2}}{i^{2}} - \frac{ab}{i^{4}} - \frac{a^{2}(a^{2} - b^{2})}{2b^{2}i^{4}} - \frac{a^{3}(a^{2} + b^{2})}{2b^{4}i^{4}} \right) - \frac{1}{x} \frac{a^{4}(a^{2} + b^{2})}{2b^{2}i^{4}} \right\}$$

$$\frac{P}{4D} \left| 1 + \frac{b^{2}}{a^{2}} - \frac{1}{a} \begin{pmatrix} a & b \\ b & a \end{pmatrix} - 1 \right\}$$

$$\frac{1}{a^{2}} \left( \frac{1}{2} - \frac{b}{2a} + \frac{a}{b} - \frac{a^{2}}{2b^{2}} - \frac{a}{2b^{3}} \right) - \frac{a^{3}}{a^{2}} \right| + O(a^{2} - b^{2})$$

$$\frac{ab}{a} \left( \frac{1}{2} - \frac{b}{2a} - \frac{a}{b} + \frac{a}{2b} - \frac{a^{3}}{2b^{2}} - \frac{a^{3}}{2b^{2}} \right) - \frac{a^{2}}{a^{2}} \right| + O(a^{2} - b^{2})$$

$$(1.24)$$

интегрируя g(x) в пределах от a до b и используя условия g(a) = g(b) = 0, получим:

$$C = -\frac{P}{4D} \left[ \frac{F(q) \, \Phi_1 - E(q) \, \Phi_2}{F(q) \, \Phi_1 - E(q) \, \Phi_3} \right] \tag{1.25}$$

гле F(q) и E(q) — полные эллиптические интегралы первого и второго роже,

$$q=\frac{1}{b}$$
,  $b=2l$  а.  $2l-$  длина трещин.

$$\begin{split} \Phi_1 &= \frac{1}{h} + \frac{b}{a^2} - \frac{1}{r^2} \left( \frac{a}{b^2} - \frac{1}{a} - \frac{1}{h} \right) + \frac{1}{r^4} \left( \frac{1}{2b} + \frac{1}{2a} + \frac{a}{b^2} - \frac{a^2}{2b^3} + \frac{a}{2b^4} \right) \\ \Phi_2 &= \frac{1}{r^2} \left( \frac{1}{b} - \frac{b}{a^2} - \frac{1}{a} \right) + \frac{1}{r^4} \left( \frac{1}{2a} + \frac{b}{2a^2} + \frac{1}{b} - \frac{a}{2b^2} - \frac{a^3}{2b^4} \right) - \frac{2b}{a^2} \\ \Phi_3 &= \frac{1}{b} - \frac{a}{b^2 r^2} - \frac{1}{br^4} - \frac{a \left( a^2 - b^2 \right)}{2b^4 r^4} - \frac{a^2 \left( a^2 - b^2 \right)}{6r^4 b^4} \\ \Phi_4 &= \frac{1}{r^2 b} - \frac{1}{r^4 a} + \frac{a^2 - b^2}{2r^3 b^3} - \frac{a \left( a^2 + b^2 \right)}{2b^4 r^4} - \frac{(a^2 + b^2)^2}{3b^5} \end{split}$$

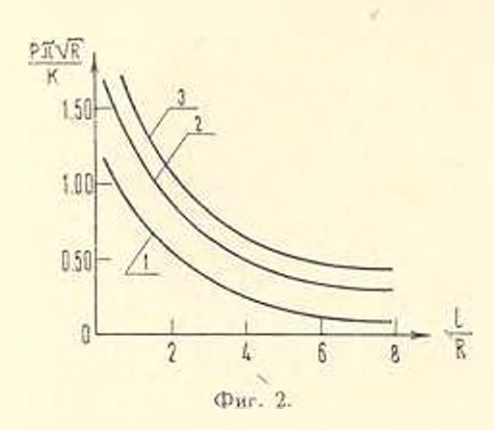
 Определим коэффициенты интенсивности напряжений по формулам

$$N_{a} = \lim_{x \to a} 2\pi D \mid \overline{x - a} \circ (x); \quad N_{b} = -\lim_{x \to b} 2\pi D \mid \overline{b - x} \circ (x)$$

$$N = \frac{K}{\pi} \tag{1.26}$$

где k - модуль сцепления [4].

В частном случае при R=0 ( $t-\infty$ ) получаем известные формулыэтих зависимостей.



На фиг. 2 изображена зависимость между критической силой и длиной трещины. Кривые 1 и 2 показывают эту зависимость в начале трещин при разпых /. При увеличении длины трещин быстро уменьшается критическая сила, при увеличении длины перемычки критическая сила увеличивается. Кривая 3 показывает ту же зависимость, но в точке b. Здесь критическая сила всегда больше, чем в точке a. При увеличении растягивающих сил вначале разрушаются перемычки между отверстием и рачалом трещии, а потом пластинка работает почти так же, как и пластинка, имеющая центральную трешину.

Aля первой кривой  $\frac{a}{R}=1.5$ , второй и третьей  $\frac{a}{R}=3$ .

# § 2. Две симметричные трещины в круговом кольце

Определим по формуле (1.8) напряжения на окружности R и R+h. Разлагая эти выражения как на внутренних, так и на внешних окружностях в комплексные ряды, получим:

$$\phi_{r}^{R} - i\tau_{r\delta}^{R} = -D \int_{L} \left[ \frac{2}{t} + \frac{1}{t} \sum_{k=1}^{\infty} (1-k) \left( \frac{R}{t} \right)^{k} e^{ik\delta} + \frac{1}{t} \sum_{k=1}^{\infty} \left( \frac{R}{t} \right)^{k} e^{-ik\delta} + \frac{1}{t} \sum_{k=1}^{\infty} (k-2) \left( \frac{R}{t} \right)^{k-2} e^{ik\delta} \right] \mu(t) dt$$
(2.1)

$$\mathbf{e}_{\mathbf{r}}^{R+h} - i\mathbf{e}_{\mathbf{r}_0^0}^{R+h} = D \int\limits_{L} \left[ \frac{1}{t} \sum_{k=1}^{\infty} \left( \frac{t}{R+h} \right)^k e^{ikb} + \frac{1}{t} \sum_{k=1}^{\infty} \left( k+1 \right) \left( \frac{t}{R+h} \right)^k e^{-tkb} - i\mathbf{e}_{\mathbf{r}_0^0}^{R+h} - i\mathbf{e}_{\mathbf{r}_0^0}^{R+h} \right] \left[ \frac{1}{t} \sum_{k=1}^{\infty} \left( k+1 \right) \left( \frac{t}{R+h} \right)^k e^{-tkb} \right] dt$$

$$-\frac{1}{t}\sum_{k}(k+2)\left(\frac{t}{R+h}\right)^{k-2} - \frac{2t}{(R+h)^{2}} - \frac{2t}{R+h} \left[\Psi(t)\,dt\right]$$
 (2.2)

На основании [1] граничные условия запишутся так:

$$\Phi_{1}(z) = \Phi_{1}(z) - e^{i\beta} \left[ z \Phi_{1}(z) + \Psi_{1}(z) \right]$$

$$= \begin{bmatrix} \sum_{-\infty}^{\infty} A_{k} e^{ik\hbar} & \text{при } r = R \\ \\ \sum_{-\infty}^{\infty} A_{k} & \text{при } r = R - h \end{bmatrix}$$
(2.3)

Внутри кольца будем иметь:

$$\Phi_{1}(z) = A \ln z + \sum_{-\infty}^{\infty} a_{k} z^{k}, \quad \Psi_{1}(z) = \sum_{-\infty}^{\infty} a_{k}^{\dagger} z^{k}$$
 (2.4)

В нашем случае

$$A_0 = -2D \int_L \frac{dt}{dt} dt$$
,  $A_1 = 0$ ,  $A' = DR \int_L \frac{dt}{dt} dt$ 

$$A = D \int \left| \frac{(k-1)R^k}{t^{k-1}} - \frac{(k-2)R^{k-2}}{t} \right| \mu(t) dt$$
 при  $k > 3, 4, \cdots$ 

$$A_{-1} = -D\int_{L} \frac{R}{t^{2}} \, \mu(t) \, dt, \quad A_{-1} = -DR^{2} \int_{L} \frac{\mu(t)}{t^{2}} \, dt \quad \text{nps} \quad k = 2, 3, \cdots$$

$$A_0^* = -\frac{2D}{(R+h)^2} \int t u(t) dt, \quad A' = 0,$$

$$A_{k}^{*} = D \sqrt{\frac{t^{*} - \alpha(t)}{(R - h)^{k}}} dt, \quad k = 2, 3, \cdots$$

$$A_{-k}^{*} = D \sqrt{\left[\frac{(k - 1)^{k}}{(R - h)^{k}} - \frac{(k + 2)^{k}}{(R - h)^{k-1}}\right]} \alpha(t) dt \quad k = 1, 2, \cdots$$

Удовлетворяется условие равенства нулю гланного вектора инешних усилий (R-h)A-A, R=0.

Используя готоные выражения из [1] для a и a, получаем выражения, записящие от функции  $\mu(t)$ . Эти выражения опущены ввиду громоздкости.

Комплексные потенциалы для кольца со свободной внешней и внутренней границей при наличии разрыва смещения на линии L равны:

$$\Phi(z) = \int_{L} \left[ \frac{D}{t-z} + \sum_{-\infty}^{\infty} a_{k} z^{k} \middle| \mu(t) dt \right]$$

$$\Psi(z) = \int_{L} \left[ -\frac{Dz}{(t-z)^{2}} + \sum_{-\infty}^{\infty} a_{k} z^{k} \middle| \mu(t) dt \right]$$

Напряжение на действительной оси равно

$$\sigma_{y}^{y}(x) = \int_{t}^{\infty} \left[ \frac{2D}{t - x} + 2 \sum_{-\infty}^{\infty} a_{k} x^{k} + \sum_{-\infty}^{\infty} a_{k} x^{k} + \sum_{-\infty}^{\infty} k a_{k} x^{k} + \sum_{-\infty}^{\infty} a_{k} x^{k} \right] \eta(t) dt$$

Здесь тоже, как и в § 1, приравнивая сумму  $\sigma_n^p(x) = \sigma_n^p(x)$  на L нулю, получим интегральное уравнение для определения функции

$$D = K(x, t) = (t) dt + \pi^{p}(x) = 0$$
 (2.5)

Пусть внутри кольца действует равномерное данление и трещина расположены на оси ох. С учетом нечетности функции ч (1) уравнение (2.5) принимает вид

$$D = \int |K(x, t) - K(x, -t)| \, \psi(t) \, dt = -2^{\mu}_{a}(x)$$

$$K(x, t) - K(x, -t) = \frac{4t}{t^{2} - x^{2}} + 4a_{0} + 8a_{2}x^{2} - 12a_{4}x^{4} - \frac{4a_{-1}}{x^{4}} - \frac{4a_$$

$$+2a_{1}^{2}+2a_{2}^{2}x^{2}+2a_{4}^{2}x^{4}+\frac{2a_{2}^{2}}{x^{2}}+\frac{2a_{2}^{2}}{x^{2}}$$

Злесь мы изяли перные пять членов на каждой суммы. Произведем замену переменных и введем обозначения

$$\frac{x^2}{l^2} = \xi, \quad \frac{t^2}{l^2} = \eta, \quad \frac{h}{l} = \lambda, \quad \frac{R}{l} = \beta, \quad \varepsilon = \frac{e}{l}$$
 (2.6)

 $\mu(t) = \mu(t \mid \gamma_t) = \mu_t(\gamma_t), t$  характеризует расположение трещин ннутри кольца.

Интегральное уравнение (2.5) запишется так:

$$2D \int \left[ \frac{2}{\tau - \xi} + K_1(\xi, \eta) \right] \varrho_0(\eta) d\eta = -\frac{P_3^2}{2\beta x + \lambda^2} \left[ 1 + \frac{(\xi - \xi)^2}{\xi} \right]$$
 (2.7)

Общеманестной процедурой интегральное ураннение первого рода (2.7) переведем и ураннение второго рода

$$\mathfrak{p}_{0}(\hat{\varepsilon}) = \frac{1}{\pi \sqrt{(\delta_{2} - \tilde{\varepsilon})(\tilde{\varepsilon} - \delta_{1})}} \left\{ C + \frac{P\beta^{2}}{2[\pi D(2\beta\lambda + \tilde{\iota}^{2})} \int_{\tilde{\varepsilon}_{1}}^{\tilde{\varepsilon}_{2}} \frac{\sqrt{(\delta_{2} - \eta_{1})(\eta - \delta_{1})}}{\eta - \tilde{\varepsilon}} \times \right. \\
\times \left[ 1 + \frac{(\beta + \lambda)^{2}}{\eta} \right] d\eta + \frac{1}{\pi} \int_{\tilde{\varepsilon}_{1}}^{\tilde{\varepsilon}_{2}} \frac{\sqrt{(\delta_{2} - t)(t - \delta_{1})}}{t - \tilde{\varepsilon}} dt \int_{\tilde{\varepsilon}_{2}}^{\tilde{\varepsilon}_{2}} dt \int_{\tilde{\varepsilon}_{3}}^{\tilde{\varepsilon}_{3}} dt \int_{\tilde{\varepsilon}_{3}}^{\tilde{\varepsilon}_{3}} d\tilde{\tau} \right] \\
\tilde{\varepsilon}_{1} = (\tilde{\varepsilon}_{1} + \tilde{\varepsilon}_{2} - 1)^{2}, \quad \tilde{\delta}_{2} = (\tilde{\varepsilon}_{1} + \tilde{\varepsilon}_{2} - 1)^{2} \quad (2.8)$$

Изменим порядок интегрирования во втором интеграле и возьмем внутренний интеграл. Разлагая затем в ряд ядро по степеням  $x^{-1}$  и ограничиваясь членами порядка  $\lambda^{-3}$ , получим:

$$\mu_{0}(\xi) = \frac{1}{\pi V(\delta_{2} - \xi)(\xi - \delta_{1})} \left\{ C + \frac{P}{4D} \left[ \frac{(\beta + \varepsilon)^{2} - 1}{\xi} - 1 \right] + \frac{P\beta^{2}}{2D} \left[ (\beta + \varepsilon)^{2} \left( 1 + \frac{\beta^{2}}{\xi} \right) + 1 - \xi - \beta^{2} - \frac{\beta^{2}}{\xi} \right] \left( \frac{1}{\lambda^{2}} - \frac{2\beta}{\lambda^{3}} \right) + O(\lambda^{-4}) + \int_{\delta_{1}}^{\delta_{2}} \mu_{0}(\eta) K_{2}(\xi, \eta) d\eta \right\}$$
(2.9)

FAE

$$\begin{split} K_{\epsilon}(\xi,\,\eta) &= \frac{12\beta^8}{\eta^4} \bigg[\,(\beta+\epsilon)^2 - \frac{\beta+\epsilon+1}{\eta\,(\beta+\epsilon-1)}\bigg] + \\ &+ \frac{1}{\lambda^2} \left\{ \big[1-\xi+(\beta\![+\epsilon)^2\big]\,\big|3+2\beta\,(\beta^\sharp-1) + \frac{4\beta^4}{\eta^2}\bigg] + \right. \\ &+ \left. \beta^\sharp \left(\frac{\beta^\sharp}{\eta^2}-1\right) \bigg[\,\frac{(\beta+\epsilon)^2-1}{\xi}-1\,\bigg] + \frac{24\beta^4}{\xi} \left(\frac{\beta^5}{\eta^2}-1\right) \bigg[\,(\beta+\epsilon)^2 - \frac{1}{\xi^2}\right] + \\ &+ \left. \frac{\beta^\sharp}{\eta^2} \left(\frac{\beta^\sharp}{\eta^2}-1\right) \bigg[\,(\beta+\epsilon)^2 - \frac{1}{\xi^2}\right] + \frac{24\beta^4}{\xi^2} \left(\frac{\beta^5}{\eta^2}-1\right) \bigg[\,(\beta+\epsilon)^2 - \frac{1}{\xi^2}\right] + \\ &+ \frac{\beta^\sharp}{\eta^2} \left(\frac{\beta^\sharp}{\eta^2}-1\right) \bigg[\,(\beta+\epsilon)^2 - \frac{1}{\xi^2}\right] + \frac{24\beta^4}{\xi^2} \left(\frac{\beta^5}{\eta^2}-1\right) \bigg[\,(\beta+\epsilon)^2 - \frac{1}{\xi^2}\right] + \\ &+ \frac{\beta^\sharp}{\eta^2} \left(\frac{\beta^2}{\eta^2}-1\right) \bigg[\,(\beta+\epsilon)^2 - \frac{1}{\xi^2}\right] + \frac{1}{\xi^2} \bigg[\,(\beta+\epsilon)^2 - \frac{1}{\xi^2}\right] + \frac{1}{\xi^2} \bigg[\,(\beta+\epsilon)^2 - \frac{1}{\xi^2}\bigg] + \frac{1}{\xi^2}\bigg[\,(\beta+\epsilon)^2 - \frac{1}{\xi^2}\bigg] + \frac{1}{\xi^2}\bigg[\,(\beta+\epsilon)^2 - \frac{1}{\xi^2}\bigg[\,(\beta+\epsilon)^2 - \frac{1}{\xi^2}\bigg[\,(\beta+\epsilon)^2 - \frac{1}{\xi^2}\bigg[\,(\beta+\epsilon)^2 - \frac{1}{\xi^2}\bigg] + \frac{1}{\xi^2}\bigg[\,(\beta+\epsilon)^2 - \frac{1}{\xi^2}\bigg[\,(\beta+\epsilon)^2 - \frac{1}{\xi^2}\bigg[\,(\beta+\epsilon)^2 - \frac{1}{\xi^2}\bigg[\,(\beta+\epsilon)^2 - \frac{1}{\xi^2}\bigg$$

$$\begin{split} -\frac{\beta+\varepsilon+1}{\varepsilon(\beta+\varepsilon-1)} \left[ \left. \right\} + \frac{1}{\imath^3} \left\{ \left[ 1 - \varepsilon + (\beta+\varepsilon)^2 \right] \left( 16\beta^2 - 6\beta + 4\beta^3 - 16\beta^4 + 4\beta^7 - \frac{8\beta^5}{\gamma^2} \right) + 4\beta^4 \left( 1 - \frac{1}{\gamma} \right) \left[ \frac{(\beta+\varepsilon)^2 - 1}{\varepsilon} - 1 \right] - \\ -\frac{8\beta^{11}}{\varepsilon} \left[ (\beta+\varepsilon)^2 - \frac{\beta+\varepsilon+1}{\varepsilon(\beta+\varepsilon-1)} \right] \right\} + O(\imath^{-4}) \end{split}$$

Анализ показывает, что все остальные коэффициенты  $a_1$  в  $a_2$  ( $k \ge 5$ ), входящие под знаком суммы в ядро K(x, t) или взаимно уничтожаются, или имеют порядок ныше, чем  $t^{-1}$ .

Рассмотрим достаточно широкое кольцо, имеющее внутри трещины, алина которых больше, чем внутренний диаметр кольца. При этих условиях  $\{1, 1, 1\}$  и, пренебрегая членом, имеющим порядок  $O(\S^4)$ , можно (2.9) решать методом, разработанным в [2].

Разыскиная решение уравнения (2.9) и форме

$$u_{n}(z) = \sum_{k=0}^{\infty} \lambda^{-1} + (z)$$

суммируя  $\mathfrak{L}^0$ ,  $\ell^{-1}$  и козвращаясь к старым переменным (2.6), получим  $\mathfrak{L}(x)$ , в выражение которого входит пенэнестная постоянная C. Из условия плавного смыкапия берегов трещин на конце R — e-l и R — e-l определяем C. Окончательно имеем:

$$\frac{P^{p}}{2=D} = \frac{P^{p}}{||(R-l)^{2}-x^{2}|||x^{2}-(R-c-l)^{2}||} ||f_{1}(x)-f_{2}(x)-f_{3}(x)-f_{4}(x)-f_{5}(x)-f_{5}(x)-f_{5}(x)||$$

Критическую силу определим по формуле:

$$\frac{P=1}{K} = \frac{2 + \overline{2} \cdot (3 + \varepsilon) \cdot (3 + \varepsilon - 1)}{f_1(R+\epsilon-l) + \frac{S_1}{S_2} f_2(R+\epsilon-l)}$$

где

$$f_1(R + e - l) = \frac{(3 + e)^2 - 1}{(3 + e - 1)^3} + \frac{5^2}{k^2} (3e + 23 - e^2) - \frac{25^2}{k^2} (1 + 3e - e^2) + O(\lambda^{-1})$$

$$- \frac{25^2}{k^2} (1 + 3e - e^2) + O(\lambda^{-1})$$

$$f_1(R + e - l) = 1 - \frac{5^2}{k^2} \left[ 1 + (3 - 23)(23 + 2e - 5^2) - \frac{5^2 e^2}{(3 + e - 1)^2} \right] + \frac{23}{k^2} (83 - 3)(23 + 2e - 5^2) + O(\lambda^{-1})$$

$$S_{1}(3, \lambda, z) = E(q) + \frac{\beta^{3}}{\lambda^{3}} \left[ (2\beta z + z + 1) F(q) - z (2\beta + z) E(q) \right] + \frac{2\beta^{3}(z + 1)}{\lambda^{3}} \left[ (z + 1) E(q) - F(q) \right] + O(r^{-4})$$

$$S_{2}(\beta, \lambda, z) - F(q) + \frac{1}{4} \left\{ \left[ \beta z + (3 - 2\beta) (1 + 2\beta z - z^{2}) \right] F(q) - \left[ \frac{(2\beta z + z^{2} - 1)^{2} (3 - 2\beta) - \beta^{2} z^{2}}{(\beta + z - 1)^{2}} \right] E(q) \right\} + \frac{2\beta(8\beta - 3)}{4} \left[ (1 + 2\beta z + z^{2}) F(q) - (\beta + z - 1)^{2} E(q) \right] + O(\lambda^{-4})$$

 $q = \frac{2 \mid \overline{3+\epsilon}}{3+\epsilon+1}$ ; F(q) и E(q) полиме эллиптические интегралы перного и второго рода.  $1 < \epsilon < l-1$ ; l—полудлина трещины; e— расстояние от внутреннего отнерстия до середины трещины.

Росговский государственный уницерститет

Поступила 23 IX 1970

#### 4. թ. ՍԵՐՈՒՆՅԱՆ

# 

Դիտարկվում են հետևլալ խնդիրները՝

- 1) Շրջանային անցրով քուլացված, ներտում սիժետրիկ հարեր ունեցող անվեր։ առաձղական հարքուքյան ձղումը հաջերի տարածման ուղղահայաց ուղղությամբ հավասարաչափ բաշխված ուժերով, երբ հաքերը դուրս չեն դալիս տիրույքի եղրերը.
- 2) ներաում սիմեարիկ ձաբեր ունեցող օզակը համասարաչափ ձնշման ատեւ

նրկու խնդիրն էլ բերվում են ձարերի հղբերի անհայտ տեղափոկության աժանցյալի նկատմամբ առաջին սեռի սինգույյար ինտեղրալ հավաստրման։ Այդ Հավասարումների ասիմպառտիկ լուծումները փնտրվում են «մեծ է- ների հղանակով, որը համապատասխանում է այնպիսի Հաջերին, որոնք համեմա-տարաբ հեռու են դանվում աիրույքի նգրերից։

Գութս են բերված բանաձևեր ճարեշի ծայրհրում լարժան կոնդենարացիայի գործակիցների համար։ Առաջին խնդրի համար բերված է դրաֆիկական առելության կրիտիկական ուժի և երկրաչափական պարամետրների միջև։

# ON TWO PROBLEMS OF THE THEORY OF CRACKS IN DOMAINS WITH CIRCULAR BOUNDARIES

#### V. Kh. SIRUNIAN

#### Summary

The article deals with two problems on:

- 1. Uniform one-axial tension of an infinite elastic plane, weakened by a circular opening and by two symmetrical cracks not reaching the boundary of the circular opening;
- A ring under uniform pressure with symmetrical cracks inside it.
   Both problems are reduced to singular integral equations of the
  first kind with respect to the derivative of the unknown function of
  crack bank displacements.

#### **ЛИТЕРАТУРА**

- 1. Мусхелишвили Н. И. Некоторые основные задачи математической теории упругости. Изд-во Наука, 1966.
- Александрон В. М. О приближенном решении одного типа интегральных уравненений. ПММ, г. 26, вып. 5, 1962.
- 3. Анбанкин Л. Л. Применение сингулярных интегральных уравнений для определении критических усилий в пластинках с трещинами. ФХММ, № 4, 1965
- 4. Irwin G. R., Fracture In: Handbuch der Physik. Bd. VI. Springer, Berlin, 1958, p. 551-590.

#### А. м. Симонян

# О ПЛОСКОЙ ТЕМПЕРАТУРНОЙ ЗАДАЧЕ НЕОДНОРОДНЫХ СОСТАВНЫХ ПОЛОС

Исследованию ряда задач пеоднородных линейно-упругих изотролных тел посвящены работы [1 — 7 и др.]

В настоящей статье в условиях плоской деформации исследуется равновесие двух склеенных экспоненциально-неоднородных по длине бесконечных полос, находящихся в тепловом потоке, под действием взаимно уравновешинающих нагрузок на ограниченном участке сторон.

Задача эта и первом приближении позволяет оценить перераспределение напряжений в нагруженных составных полосах, вызванное действием теплового потока, порождающего неоднородность материала.

Предполагается, что полосы имеют одни и те же показатели неоднородности и коэффициенты. Пуассона и липейного расширения, а процесс скленнания их происходил при некоторой постоянной температуре и при отсутствии нагрузок; последнее допущение необходимо для принятия гипотезы о естественном состоянии тела для составной полосы.

Для решения поставленной задачи определяется решение для каждой отдельно взятой неоднородной полосы и удовлетворяются условия сопряжения на линии их склеинания.

1. Рассмотрим задачу об одной неоднородной полосе. Пусть ковффициент Пуассона у, коэффициент теплопронодности к и коэффициент линейного теплоного расширения и постоянны, и неоднородность материала определяется изменением модуля упругости E в одном направлении  $E=E_0$ . Будем полагать, кроме того, что поле температур  $T(\mathbf{x}, \mathbf{y}, t)$  в каждый момент премени удовлетворяет условию

$$\frac{1}{k}\int \varpi e^{-by}\left|rac{\partial T}{\partial y}\right|dy \ll C < \infty$$
, где  $\gamma$  — тенлоемкость,  $\gamma$  — плотность

материала. Условие это удовлетворяется, например, для случая действия меновенного источника тепла или движущегося точечного источника тепла при наличии теплоотдачи на краях полосы [8]; оно тривнально удовлетворяется при стационарном тепловом режиме.

Принимая, что материал находится в состоянии плоской деформиции, а также учитыная условие теплопроводности, запишем уравнение сплошности для функции Эйри  $\varphi(x, y)$ :

$$\frac{\partial^4 z}{\partial y^4} + \frac{\partial^4 z}{\partial x^4} + 2 \frac{\partial^4 \varphi}{\partial x^2 \partial y^2} + 2b \left( \frac{\partial^4 \varphi}{\partial y^3} + \frac{\partial^4 \varphi}{\partial x^2 \partial y} \right) +$$

$$b \left( \frac{\partial^2 x}{\partial y} - \frac{y}{1 - y} \frac{\partial^2 \varphi}{\partial x^2} \right) = -\frac{zE}{1 - y} \frac{\partial T}{k} \frac{\partial T}{\partial t}$$
 (1.1)

Решение (1.1) будем искать в виде интеграла Фурье

$$\varphi(x, y) = \int \Phi(x, z) e^{y/z} dz \qquad (1.2)$$

Тогда из (1.1) получим

$$\Phi^{\text{IV}} = \left[ \frac{b^2}{1-\nu} + 2\xi (\xi - bi) \right] \Phi^{\text{IV}} = (\xi - bi)^2 \Phi^{\text{IV}} = -\frac{E_0}{1-\nu} \chi \quad (1.3)$$

где производные взяты по переменной х, а

$$\chi(x, \xi) = \frac{1}{2\pi k} \int_{-\infty}^{\infty} \frac{\partial T(x, y, t)}{\partial t} dy$$

Решсние (1.3) имеет нид

$$\Phi(x, \xi) = \Phi_0(x, \xi) + \Phi_1(x, \xi) \tag{1.4}$$

где  $\Phi_0$  соответствует случаю отсутствия действия температуры, а  $\Phi_1$  частное решение (1.3). Легко видеть, что при  $b \neq 0$ 

$$\Phi_0(x, z) = \sum_{n=1}^{\infty} k_n(z) e^{r_n(z)}$$
 (1.5)

где  $k_n(c)$  — произвольные комплексные функции, а

$$r_n(\xi) = \tau_n(\xi) + i\delta_n(\xi)$$
  $n = 1, 2, 3, 4$  (1.6)

Здесь принято

$$\xi(\xi) = \pm \frac{1}{\sqrt{2}} \sqrt{\sqrt{\left[\frac{c}{2} + \xi^2 + h(\xi)\right]^2 + \left[\frac{3}{2}(\xi) - b\xi\right]^2 - \frac{c}{2} - \xi^2 - h(\xi)}}$$

$$\gamma(\xi) = \frac{\frac{3}{2}(\xi) - b\xi}{2\hat{c}(\xi)}$$

$$\sqrt{\frac{2}{c}}\beta(\xi) = \pm \sqrt{\sqrt{\left(\frac{c}{4} + \xi^{\delta}\right)^{2} + b^{\delta}\xi^{\delta} - \frac{c}{2} - \xi^{\delta}}}$$

$$h(\xi) = -\frac{bc\xi}{2\beta(\xi)}, \quad c = \frac{\gamma b^{\delta}}{1 - \gamma}$$

причем значения и и определяются комбинированием знаков в вышеприведенных выражениях  $\phi(\xi)$  и  $\frac{\pi}{2}(\xi)$ .

Для определения  $\Phi_1(x,\varepsilon)$  можно, например, осуществить преобразования по переменной x

$$\chi(\mathbf{x}, \hat{z}) = \int z(\zeta, \hat{z}) e^{\zeta z \hat{z}} d\zeta$$

$$\Phi_1(\mathbf{x}, \hat{z}) = \int z(\zeta, \hat{z}) e^{\zeta z \hat{z}} d\zeta \qquad (1.7)$$

Подставляя (1.7) н (1.3), получим

$$z(z, 1) = -\frac{E_0}{1 - v} \frac{2^{zz}}{1 - e^{z}} \frac{-2b\xi(z^2 - \xi^2)i}{1 - e^{z}}$$
(1.8)

Используя соотношения Эйри, получим нижеследующие пыражения для напряжений и перемещений с точностью до жесткого смещения

$$\frac{1}{2} \left[ \frac{1}{2} e^{2\pi i \cdot x} \right] = \left[ \frac{$$

$$v(x, y) = \frac{1}{E(y)} \left[ (1 - y) \sum_{n=1}^{4} [bi_{n}(z) - b_{n}(z)] [A_{n}(z) \cos \theta_{n}(x, y, z) - B_{n}(z) \sin \theta_{n}(x, y, z)] - [bp_{n}(z) - b_{n}(z)] [A_{n}(z) \sin \theta_{n}(x, y, z) + B_{n}(z) \cos \theta_{n}(x, y, z)] - p_{n}(z) \sin \theta_{n}(x, y, z)] + \frac{1}{b^{2} - b^{2}} \left[ b \left[ i_{n}(z) \cos \theta_{n}(x, y, z) - p_{n}(z) \sin \theta_{n}(x, y, z) \right] \right] + \frac{1}{b^{2} - b^{2}} \left[ \frac{a^{2}}{b^{2} - b^{2}} \left[ \frac{a^{2}}{b^{2}} \left$$

откниоп эда

$$k_n(z) = i \psi_n(z), \quad \psi_n(x, y, z) = x \dot{\psi}_n(z) - y z$$

$$\psi_1(x, y) = \int \Phi_1(x, z) dz$$

а А. и В. определяются по формулам

$$A_n = \frac{c}{2} - c - h_n$$
,  $B_n = -b$ ;  $\beta_n$ 

тде  $h_n$  и 🎉 берутся спответственными индексу 🦠

Таким образом, заляча сведась к определению посьми функций », (с) и р., (з) из соответствующих краевых условий.

Полагая, что рассматринаемая полоса ограничена прямыми x=0 и x=a и на сторонах ее заданы краеные условия и напряжениях  $=(0,y), \ a_1(a,y), \ a_{1y}(0,y), \ a_{1y}(a,y), \ a_{1y}(a,y)$ , причем существуют соотнет-

стиующие им несобственные интегралы  $\{1:(0,y)|dy|\cdots$  и т. л., для

определения функций / (т) и р. (т) путем обратного преобразования п 1-м и 3-м ураниениях системы (1.9) получим нижеследующую систему алгебранческих линейных ураниений:

$$\sum_{n=1}^{4} i_{n}(\xi) = -\frac{1}{2\pi^{\frac{1}{2}}} \int_{-\infty}^{\infty} z_{n}(0, y) \cos y dy - \operatorname{Re}\Phi_{1}(0, \xi)$$

$$\sum_{n=1}^{4} [i_{n}(\xi) + \sum_{n=1}^{4} \int_{-\infty}^{\infty} z_{n}(0, y) \sin y dy - \operatorname{Jm}\Phi_{1}(0, \xi)$$

$$\sum_{n=1}^{4} [i_{n}(\xi) \cos \delta_{n}(\xi) h - \mu_{n}(\xi) \sin \delta_{n}(\xi) h] e^{i \pi^{\frac{1}{2}h}}$$

$$-\frac{1}{2\pi^{\frac{1}{2}}} \int_{-\infty}^{\infty} (h, y) \cos y dy - \operatorname{Re}\Phi_{1}(h, \xi)$$

$$\sum_{n=1}^{4} [i_{n}(\xi) \sin \delta_{n}(\xi) h + \mu_{n}(\xi) \cos \delta_{n}(\xi) h] e^{i \pi^{\frac{1}{2}h}} =$$

$$= \frac{1}{2\pi^{\frac{1}{2}}} \int_{-\infty}^{\infty} (h, y) \sin y dy - \operatorname{Jm}\Phi_{1}(h, \xi)$$

$$\sum_{n=1}^{4} [i_{n}(\xi) i_{n}(\xi) - \delta_{n}(\xi)] =$$

$$= -\frac{1}{2\pi^{\frac{1}{2}}} \int_{-\infty}^{\infty} (0, y) \sin y dy + \operatorname{Re}\Phi_{1x}(x, \xi) |_{i=0}$$

$$\sum_{n=1}^{4} [i_{n}(\xi) i_{n}(\xi) + \gamma_{n}(\xi)] \mu_{n}(\xi)] =$$

$$= \frac{1}{2\pi^{\frac{1}{2}}} \int_{-\infty}^{\infty} (0, y) \cos y dy - \operatorname{Jm}\Phi_{1x}(x, \xi) |_{i=0}$$

$$\sum_{n=1}^{4} e^{i_{n}(\xi)h} [\delta_{n}(\xi) i_{n}(\xi) + \gamma_{n}(\xi) |\sin \delta_{n}(\xi) h] =$$

$$= -\frac{1}{2\pi^{\frac{1}{2}}} \int_{-\infty}^{\infty} c_{x}g(h, y) \cos y dy + \operatorname{Jm}\Phi_{1x}(x, \xi) |_{x=h}$$

$$\sum_{n=1}^{4} e^{i_{n}(\xi)h} |\gamma_{n}(\xi) - \delta_{n}(\xi) \mu_{n}(\xi) |\cos \delta_{n}(\xi) h| =$$

$$= -\frac{1}{2\pi^{\frac{1}{2}}} \int_{-\infty}^{\infty} c_{x}g(h, y) \cos y dy + \operatorname{Jm}\Phi_{1x}(x, \xi) |x_{n}h$$

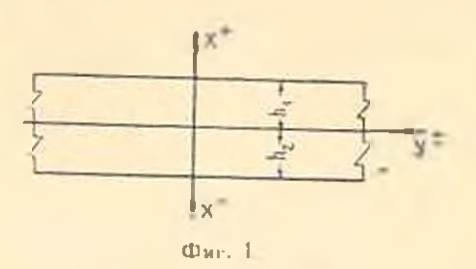
$$\sum_{n=1}^{4} e^{i_{n}(\xi)h} |\gamma_{n}(\xi) - \delta_{n}(\xi) \mu_{n}(\xi) |\cos \delta_{n}(\xi) h| =$$

$$= -\frac{1}{2\pi^{\frac{1}{2}}} \int_{-\infty}^{\infty} c_{x}g(h, y) \cos y dy + \operatorname{Jm}\Phi_{1x}(x, \xi) |x_{n}h$$

 $\{\hat{b}_{n}(z), (z), (z), (z)\}$  since  $\{z\}, h\}$ 

$$= - - \frac{1}{2\pi} \left[ - \frac{1}{2\pi} (h, y) \sin y \cdot dy - \operatorname{Re}^{q_{1}}(x, z) \right]_{z=h}$$

2. Перейдем к рассмотрению днух полос, склеенных вдоль одной из сторон (фиг. 1



Положим, что показатели неоднородности их соппадают E (g) p. Задача сопряжения сводится к выполнению нижеследующих условий:

$$z_{xy}^{*}(0, y) = z_{yy}^{*}(0, y), \quad z_{xy}^{*}(0, y) = (0, y),$$

$$u^{*}(0, y) = -u^{*}(0, y), \quad v^{*}(0, y) = v^{*}(0, y).$$

Записыная эти условия в комплексной форме, осуществляя преобразонання Фурье и приравливая соответственно действительные и мнимые части, получим нижеследующие 8 уравнений:

$$\sum_{n=1}^{4} [\iota_{n}(\xi) - i_{n}^{-}(\xi)] = -\operatorname{Re} \left\{ \Phi_{1}(0, \xi) - \Phi_{1}^{-}(0, \xi) \right\}$$

$$\sum_{n=1}^{4} [\mu_{n}(1) - \mu_{n}^{-}(\xi)] = -\operatorname{Im} \left[ \Phi_{1}(0, \xi) - \Phi_{1}(0, \xi) \right]$$

$$\sum_{n=1}^{4} [\iota_{n}(\xi) - \iota_{n}^{-}(\xi)] = -\operatorname{Re} \left[ \left[ \Phi_{1}(x, \xi) - \Phi_{1}^{-}(\xi) \right] - \left[ \left[ \xi \right] \right] \right]$$

$$= \operatorname{Re} \left[ \left[ \Phi_{1}(x, \xi) - \Phi_{1}^{-}(x, \xi) \right] \cdot \left[ \left[ \xi \right] \right]$$

$$\sum_{n=1}^{4} \left[ \left[ \delta_{n}(\xi) h_{n}^{+}(\xi) + \gamma_{n}^{-}(\xi) \mu_{n}^{+}(\xi) - \delta_{n}^{-}(\xi) h_{n}^{-}(\xi) - \gamma_{n}^{-}(\xi) \mu_{n}^{-}(\xi) \right] \right]$$

$$= \int_{\operatorname{Im}} \left\{ \left[ \Phi_{1}(x_{1}(\xi) - \Phi_{1}^{-}(x_{2}(\xi)) - \gamma_{n}^{-}(\xi) \mu_{n}^{-}(\xi) \right] + \left[ \left[ \xi \right] - \left[ \left[ \xi \right] \right] \right] \right\}$$

$$+ \int_{\operatorname{Im}} \left\{ \left[ \left[ \left[ \xi \right] - \left[ \left[ \xi \right] \right] \right] - \left[ \left[ \left[ \xi \right] \right] - \left[ \left[ \xi \right] \right] \right] \right\} \right\}$$

$$+ \int_{\operatorname{Im}} \left\{ \left[ \left[ \left[ \xi \right] - \left[ \left[ \xi \right] \right] \right] - \left[ \left[ \left[ \xi \right] \right] - \left[ \left[ \xi \right] \right] \right] \right] \right\}$$

$$+ \int_{\operatorname{Im}} \left[ \left[ \left[ \left[ \xi \right] - \left[ \left[ \xi \right] \right] \right] - \left[ \left[ \left[ \xi \right] \right] - \left[ \left[ \xi \right] \right] \right] \right] - \left[ \left[ \left[ \xi \right] - \left[ \left[ \xi \right] \right] - \left[ \left[ \xi \right] \right] \right] \right] \right]$$

$$= \frac{1}{2^{-}} \operatorname{Re} \int_{\mathbb{R}^{n}} |F_{1}^{+}(y) - yF_{1}^{+}(y)| e^{-yy} dy$$

$$\stackrel{?}{=} \sum_{i=1}^{n} \left\{ \frac{1-y}{\gamma_{n}^{-1}(z) + \delta_{n}^{-1}(z)} \left[ \gamma_{n}(z) y_{n}^{-}(z) - \delta_{n}(z) \lambda_{n}(z) \right] + \frac{1-y}{\gamma_{n}^{-1}(z) + \delta_{n}^{-1}(z)} \left[ \gamma_{n}(z) y_{n}^{-}(z) - \delta_{n}(z) \lambda_{n}(z) \right] + \frac{1-y}{\gamma_{n}^{-1}(z) + \delta_{n}^{-1}(z)} \left[ \gamma_{n}(z) y_{n}^{-1}(z) + \delta_{n}^{-1}(z) \lambda_{n}(z) \right] \right\}$$

$$= \frac{1}{2\pi} \operatorname{Jm} \int_{\mathbb{R}^{n}} |F_{1}(y) - yF_{1}(y)| e^{-yy} dy \qquad (2.1)$$

$$= \frac{1}{2\pi} \operatorname{Jm} \int_{\mathbb{R}^{n}} |F_{1}(y) - yF_{1}(y)| e^{-yy} dy \qquad (2.1)$$

$$= \frac{1}{2\pi} \operatorname{Jm} \int_{\mathbb{R}^{n}} |F_{1}(y) - yF_{1}(y)| e^{-yy} dy \qquad (2.1)$$

$$= \frac{1}{2\pi} \operatorname{Jm} \int_{\mathbb{R}^{n}} |F_{1}(y) - yF_{1}(y)| e^{-yy} dy \qquad (2.1)$$

$$= \frac{b^{2} + 1}{2\pi} \operatorname{Re} \int_{\mathbb{R}^{n}} |F_{2}^{+}(y) - yF_{2}^{-}(y)| e^{-yy} dy$$

$$= \frac{b^{2} + 1}{2\pi} \operatorname{Re} \int_{\mathbb{R}^{n}} |F_{2}^{+}(y) - yF_{2}^{-}(y)| e^{-yy} dy$$

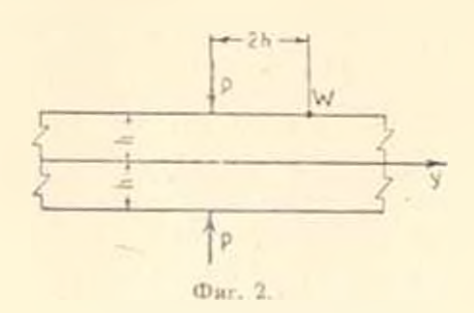
$$|\{(1-y) \mid (bB_{n}^{-}(z) - zA_{n}^{-}(z))\}|_{n} |\{(1-y) \mid (bB_{n}^{-}(z) - zA_{n}^{-}(z))\}|_{n} |\{(1-y) \mid (bB_{n}^{-}(z) - zA_{n}^{-}(z))\}|_{n} |\{(1-y) \mid (bA_{n}^{-}(z) - zB_{n}^{-}(z))\}|_{n} |\{(1-y) \mid (bB_{n}^{-}(z) - zA_{n}^{-}(z))\}|_{n} |\{(1-y) \mid (bA_{n}^{-}(z) -$$

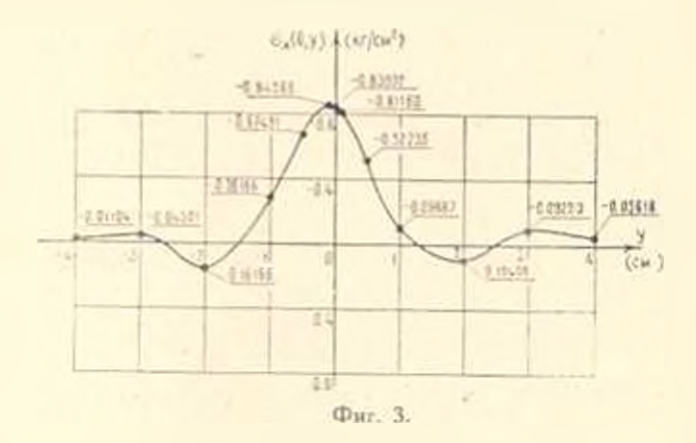
rae

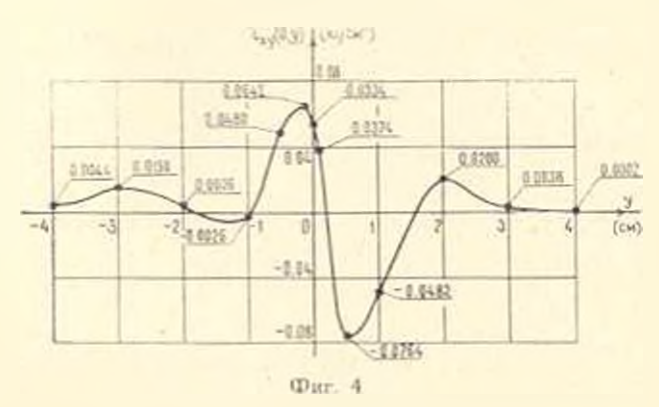
$$F_1(y) = \int dz \int \frac{z(1-y) - \sqrt{z^2}}{z(1-y)} ie^{yz i \frac{z}{2}} (z, z) dz$$

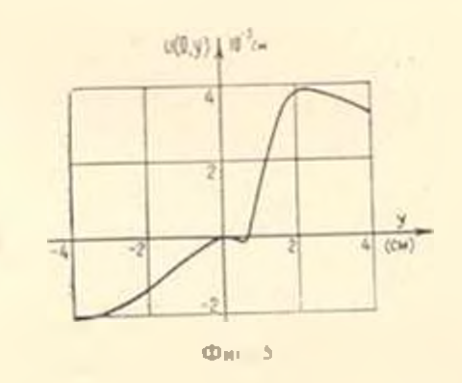
$$F_1(y) = \int dz \int \frac{z(1-y) - \sqrt{z^2}}{z(1-y)} ie^{yz i \frac{z}{2}} (z, z) dz$$

Добавляя к (2.1) 3-е, 4-е, 7-е и 8-е ураннения системы (1.10), примененые к верхней полосе для  $h^-=h_0$  и к нижней полосе для  $h^-=h_0$ 









получим систему из 16 динейных адтебраических уравнений относительно  $\mu_{\perp}(s)$ ,  $\mu_{\perp}(s)$  и  $\mu_{\perp}(s)$ .

3. Рассмотрим численный пример-

Пусть составная полоса сжимается двумя сосредоточенными силами P (фиг. 2) и подвергается действию точечного источника тепла. Предполагается, что составная полоса теплоизолирована сверху (ври x = h), а снизу (x = h) сообщается со средой с теми же тепловыми свойствами.

Эпюры напряжений и перемещения на линии x=0, показанные на фиг. 3-5, определены при нижеследующих данных:

$$P = 1 \, \text{kg}, \quad h = 1 \, \text{cm}, \quad y = 2, \quad b = 1 \, \text{cm}, \quad y = 0.3$$

 $k=12\cdot 10^{-4}$  1 град, k=0.008 ккал час см град,  $\pi=0.08$  ккал час см.

Численное решение системы линейных 16 уравнений проведено на машине "Наири".

Институт математики и механики АН Арминской ССР

Поступила 30 IX 1969

Ա. Մ. ՈՒՄՈՒՑԱՆ

աշատանը բազադրձալ Շերջերի շարթ Ջերտային անդոր տասեն

Usef den den sed

Աշխատանքում դիտարկվում է ջերմային հոսքի մեջ գտնվող և վերջավոր տիրույիում բնոնավորված էրսպոնենցիալ-անհամասնություն ունեցող բագաղըյալ շերտերի հավասարակչոությունը։

ներկայացնելով էյրիի ֆունկցիան ֆուրլեի ինտեզրայի տեսքով, խնդիրը թերվում է ինտեզրման գործակիցների նկատմամբ 16 գծային հանրահայվական հավասարումների սիստեմի յուծմանը։

Phylia if Holy of the office the

## ON THE PLANE TEMPERATURE PROBLEM OF NON-UNIFORM RESULTANT BELTS

A. M. SIMONIAN

Summary

The equilibrium of resultant exponentially non-uniform infinite belts under the influence of thermal flow and load on the limited areas of their sides has been investigated in this paper. By means of the representation of the Airy function in the form of the Fourier integral, the problem has been reduced to the solution of 10-linear algebraic equations of relative arbitrary functions of integration.

A numerical example has been given.

### **ЛИТЕРАТУРА**

- 1. Ду Цин-хуа Плоскви задачи теории упрусости неоднородной изотронной среды. Проблемы механики сплошной среды Изд. АН СССР, 1961.
- Ростовиев Н. А. К теории упругости неодпородной среды. Прика. математ. и мехап. т. 28, в. 4, 1964.
- Лехницкий С. Г. Радиольное распределение напряжений и клине и полуплоскоети с переменным модулем упругости. ПММ. т. XXVI, в. 1, 1962.
- 4. Theodorescu P. P., Proceleanu M. Quelques conditions our le problème des corps elastiques heterogens. Pergamon Press. London-New-York-Paris-Les-Andeles. 1959.
- Тер-Мкртичьки. Некоторые задачи теории упругости пеоднородных упругих сред-ПММ, т. XXV, в. 6, 1961.
- Кондвуми Такаси, Танинаки Тикира. Тем сратурные напряжения в данином енлошном цилиядре, у которого свойства зависят от температуры. Нихон кикай гаккай ромбунею. Тrans. Japan, Soc. Mech. Engrs., 1965. No. 221, 31.
- 7. Мишику М., Теодосиу К. Рошение при помощи теории функций комплексного переменного статической плоской зидачи тоории упругости для неоднородних изотронных тел. ПММ, т. ХХХ, в. 2, 1966
- 8 Carslaw H. S. and Jaeger J. C. Conduction of heaf in solids Oxford, 1947

Мехапика

### Р. К. АЛЕКСАНЯН

## ТЕРМОУПРУГИЕ НАПРЯЖЕНИЯ СОСТАВНОЙ ПОЛУПЛОСКОСТИ

Задачу теории упругости для кусочно-однородных тел рассматривали Н. И. Мусхелишвили, Д. И. Шерман, С. Г. Михлин, Г. Н. Санини и Н. П. Флейшман, М. И. Шереметьев, Д. В. Вайнберг и другие. Г. П. Черенанов [1] решил плоскую задачу неоднородной бесконечной иластинки с разрезами вдоль прямолинейной и круговой контактной линии. Позднее эта задача рассмотрена другими авторами. Вильямс исследовал особенности напряжений около края трещины и плоской задаче теории упругости составных тел [2—3]. В работе Д. Боджи [4] рассмотрена первая основная задача теории упругости для плоской деформации и плоского напряженного состояния днух прямоугольных упругих клинон с различными упругими постоянными, соединенных по граням. Полученная граничная задача для функции напряжений решена с помощью преобразования Меллина.

В настоящей работе рассмятривается задача термоупругости для плоской деформации полуплоскости, составленной из двух четверть-плоскостей с различными теплофизическими и упругими характеристиками материалов. Четверть-плоскости соединены между собой вдоль общей границы при искоторой температуре. Полуплоскость подвергается стационарному температурному воздействию.

1. Составную полуплоскость отнессм к полярной системе координат (фиг. 1). Плоская задача термоупругости принодится к интегрированию уравнений равновесия [5]

$$r \frac{\partial z^{(i)}}{\partial r} + \frac{\partial z^{(i)}}{\partial \tau} + z^{(i)} = 0$$

$$\frac{g_{\pm 0}}{2} + r \frac{\partial z^{(i)}}{\partial r} + 2z^{(i)} = 0$$

$$\Delta (z_r^{(i)} + z_v^{(i)}) = 0$$

$$\Delta (z_r^{(i)} + z_v$$

н условий непрерывности напряжений и перемещений на линии конзакта > = 0

$$\begin{aligned}
\sigma_{z}^{(1)} &= \sigma_{z}^{(2)} \Big|_{z=0} & \sigma_{rz}^{(1)} &= \sigma_{rz}^{(1)} \Big|_{z=0} &= \sigma_{rz}^{(1)} \Big|_{z=0} \\
m_{1} \sigma_{r}^{(1)} &= \left[ 1 \left[ m_{0} \sigma_{r}^{(2)} - \left( 1 - m_{2} \right) \sigma_{z}^{(1)} \right] + M T_{2} \Big|_{z=0} \\
2r \frac{\partial \sigma_{r}^{(1)}}{\partial r} &= 2\sigma_{rz}^{(1)} - m_{1} \frac{\partial \sigma_{r}^{(1)}}{\partial r} + \left( 1 - m_{1} \right) \frac{\partial \sigma_{z}^{(1)}}{\partial r} \Big|_{z=0} &= \psi \left[ 2r \frac{\partial \sigma_{r}}{\partial r} + 2\sigma_{rz}^{(1)} - m_{2} \frac{\partial \sigma_{z}^{(2)}}{\partial r} + 2\sigma_{rz}^{(2)} \right] &= 0 \end{aligned}$$

где условия испрерывности перемещений  $u_i$ ,  $v_i$  (i=1,2) на динии контакта z=0 заменены [6, 7] условиями непрерывности  $\frac{\partial u_i}{\partial r}$  и  $\frac{\partial u_i}{\partial r}$  (i=1,2) соответственно.

Здесь внедены следующие обозначения:

$$m_{i} = 1 - v_{i} \quad (i = 1, 2), \qquad \frac{G_{i}}{G_{i}} \quad \frac{k_{1}}{k_{2}}$$

$$M = 2G_{1}[x_{2}(1 + v_{2}) - x_{1}(1 - v_{1})], \quad N = 2G_{1}[x_{1}v_{1}(1 + v_{1}) - x_{2}(1 - v_{2})]$$
(1.5)

гле  $v_i$ ,  $G_i$ ,  $k_i$   $(i=1,\ 2)$  — коэффициенты. Пуассона, модули сдвига и коэффициенты теплопроводности материалов и областях 1 и  $\Pi$ .

Предполагается, что напряжения  $s^{(i)}$ , (i=1, 2) при r имеют порядок r — а при r=0 —  $r^{-1}$  (0 < s < 1).

Применяя к уравнениям (1.1)—(1.4) преобразование Меллина. будем иметь

$$-p\overline{z}_{r}^{(l)} - z^{-1} + \frac{d\overline{z}_{r}^{(l)}}{dz} = 0$$

$$\frac{d\overline{z}_{z}^{(l)}}{dz} + (1-p)z_{r}^{(l)} = 0 \qquad (1.6)$$

$$\frac{d\overline{z}_{z}^{(l)}}{dz} + \frac{d\overline{z}_{z}^{(l)}}{dz} + (p+1)z_{r}^{(l)} - z^{(l)} = 0$$

$$= 0, \qquad \overline{z}_{r}^{(l)} = 0$$

$$= |m_{z}\overline{z}_{r}^{(l)}|_{z=0} = z^{(l)} = 0$$

$$= |m_{z}\overline{z}_{r}^{(l)}|_{z=0} = |m_{z}\overline{z}_{r}^{(l)}|_{z=0} = 0$$

$$= 2p\overline{z}_{r}^{(l)} - m_{z}\frac{d\overline{z}_{r}^{(l)}}{dz} + (1-m_{z})\frac{d\overline{z}_{r}^{(l)}}{dz}|_{z=0} = 0$$

$$= 2p\overline{z}_{r}^{(l)} - m_{z}\frac{d\overline{z}_{r}^{(l)}}{dz} = (1-m_{z})\frac{d\overline{z}_{r}^{(l)}}{dz}|_{z=0} = 0$$

где введено обозначение

$$\overline{f}(\gamma, p) = \int_{0}^{\infty} f(\gamma, r) r^{p} dr$$
 (1.8)

Сходимость интегралов типа (1.8) обеспечивается, если нараметр р меняется в полосе

$$= 1 + \varepsilon < \operatorname{Re} p < 0 \tag{A}$$

Общее решение уравнений (1.6) имеет вид [8]

$$= A_t \cos(p+1) \qquad B \cos(p-1) \circ + C_t \sin(p+1) \circ + D_t \sin(p-1) \circ$$

$$= \frac{1}{p} \left[ \frac{1}{p-1} \frac{d}{dz} \right] \qquad (1.9)$$

Для решения плоской задачи термоупругости составных тел при стационарном тепловом ноздействии, как это видно из уравнений (1.1)—(1.4), достаточно иметь только распределение температуры и ее вормальной производной на контактной поверхности.

 $B_{XOAЯШие}$  в (1.7)  $T_v$  и  $\frac{dT_v}{dv}$  определяются решениями со-

Решение стационарной задачи теплопроводности для составной полуплоскости. Решение стационарной задачи теплопроводности для составной поамплоскости с температурными граничными и контактными условиями

$$T_{1}\left(r, \frac{\pi}{2}\right) = \begin{cases} T_{0} & r < 1\\ 0 & r > 1 \end{cases}$$

$$T_{2}\left(r, -\frac{\pi}{2}\right) = \begin{cases} T_{0} & r < 1\\ 0 & r > 1 \end{cases}$$

$$T_{1}\left(r, 0\right) = T_{2}\left(r, 0\right), \quad k_{1}\frac{\partial T_{1}}{\partial \varphi} = k_{2}\frac{\partial T_{2}}{\partial \varphi}$$

леско можно получить с помощью преобразования Меллина

$$\overline{T}_1 = -\frac{T_0 \cos{(p+1)} \varphi}{(p+1) \sin{\frac{p\pi}{2}}}, \quad \overline{T}_2 = -\frac{T_0 \cos{(p+1)} \varphi}{(p+1) \sin{\frac{p\pi}{2}}}$$

На лишии коптакта имеем

$$\overline{T} = \overline{T}_1 \Big|_{z=0} = -\frac{T_z}{(p+1)\sin\frac{p\pi}{2}} \qquad \frac{d\overline{T}_1}{dz} \Big|_{z=0} = \frac{d\overline{T}_2}{dz} \Big|_{z=0} = 0 \qquad (1.10)$$

Удовлетворяя граничным и контактным условиям (1.7), с помощью (1.9) и (1.10) для неопределенных коэффициентов  $A_t$ ,  $B_t$ ,  $C_t$ ,  $D_t$  (t=1,2) получаем неоднородную систему липейных алгебраических уравнений

$$-A_{1}S + B_{1}S + C_{1}C - D_{1}C = 0$$

$$-A_{1}p \quad C + B_{1}p \quad C - C_{1}p \quad S + D_{1}p \quad S = 0$$

$$A_{2}S + B_{2}S \quad C_{2}C + D_{2}C = 0$$

$$A_{2}p \quad C - B_{2}p \quad C - C_{2}p \quad S + D_{2}p \quad S = 0$$

$$A_{1} + B_{1} \quad A_{2} - B_{2} = 0$$

$$C_{1}p \quad + D_{1}p \quad - C_{2}p \quad - D_{2}p \quad 0$$
(1.11)

$$-A_{1}(4m_{1}+p^{-})-B_{1}p^{-}+A_{2}\mu(4m_{2}+p^{-})+B_{2}\mu p^{-}=-\frac{MT_{c}\mu^{-}}{p^{+}S}$$

$$C_{1}(4m_{1}+p^{-})-D_{1}p^{-}+C_{2}\mu(4m_{2}+p^{-})+D_{2}\mu p^{-}=0$$

где приняты обозначения

$$p^{+} = p - 1$$
,  $p^{-} = p - 1$ ,  $\sin \frac{p\pi}{2} = S$ ,  $\cos \frac{p\pi}{2} = C$ 

Для  $A_{i_1}$   $B_{i_2}$   $C_{i_3}$   $D_{i_4}$   $(i_4-1,2)$  вв (1.11) получим

$$C_{i} = \frac{MT_{0}}{2p} \frac{p \cdot a_{i}}{S}, \qquad B_{i} = -\frac{MT_{0}}{2p} \frac{b_{i}}{S}$$

$$C_{i} = \frac{MT_{0}}{4p} \frac{p \cdot \sin p\pi c_{i}}{S} \qquad D_{i} = -\frac{MT_{0}}{4p} \frac{\sin p\pi d_{i}}{S} \qquad (1.12)$$

rae

$$a_{1} = (\mu - 1) (p + S^{2}) (p^{2} - S^{2}) - 2n (p^{2} - S^{2}) - \mu m_{2} \sin^{2} p\pi$$

$$b_{n} = p^{+} (\mu - 1)(p - S^{2}) (p^{2} - S^{2}) - 2n (p + \cos p\pi) (p^{2} - S^{2}) + p^{-} \mu m_{1} \sin^{2} p\pi$$

$$c_{1} = -(\mu - 1) (p^{2} - S^{2}) + 4\mu m_{1} (p - S^{2})$$

$$d_{1} = p^{-} (\mu - 1) (p^{2} - S^{2}) - 4\mu m_{2} pC^{2} + 4m_{1} (p^{2} - S^{2})$$

$$a_{2} = (\mu - 1) (p + S^{2}) (p^{2} - S^{2}) - 2n (p^{2} - S^{2}) - m_{1} \sin^{2} p^{2}$$

$$b_{2} = p^{-} (\mu - 1) (p - S^{2}) (p^{2} - S^{2})$$

$$- 2n (p + \cos p\pi) (p^{2} - S^{2}) - p^{-} m_{1} \sin^{2} p\pi$$

$$c_{2} = (\mu - 1) (p^{2} - S^{2}) + 4m_{1} (p - S^{2})$$

$$d_{2} = -p^{-} (\mu - 1) (p^{2} - S^{2}) + 4\mu m_{2} (p^{2} - S^{2}) - 4m_{1} pC^{2}$$

$$\Delta = 4\mu m_{1} m_{2} \sin^{2} p\pi - (p^{2} - S^{2}) [4n^{2} - (\mu - 1) (p^{2} - S^{2}) - 4S^{2} (\mu - 1 + n)]$$

$$(1.14)$$

Здесь

- M

$$n=m_1-\mu m_2$$

В случае, когда упругие свойства материалов в областях I и II аковы, то есть  $\mu=1$ ,  $m_1=m_2=m_3$  а коэффициенты линейных тенх расширений различны  $m_2$ , выражения (1.5), (1.13) и (1.14)

$$a_1 = -a_2$$
  $m \sin^2 p^-$ ,  $b_1 = -b_2$   $p^- m \sin^2 p^-$   
 $c_1 - c_2 = 4m (p - S^2)$ ,  $d_1 = d_2 = -4m (pC^2 - p^- - S^2)$  (1.15)  
 $\Delta' = 4m^2 \sin^2 p^-$ ,  $M' = 2G(1 + \nu) (a_2 - a_1)$ 

Подставляя (1.12) в (1.9), для преобразованных напряжений понуши следующие выражения:

$$z_{eq}^{(i)} = \frac{MT_0}{4p S\Delta} \left[ 2a_i p \sin p + 2b_i \sin p + 2b_i \sin p + -(c_i p \cos p + d_i \cos p + ) \sin p\pi \right] 
-(c_i p \cos p + d_i \cos p + ) \sin p\pi \right] 
z_{e}^{(i)} = -\frac{MT_0}{4p S\Delta} \left[ 2a_i p^- \cos p + 2b_i \cos p + 2 + \sin p^- (c_i p \sin p + d_i \sin p + ) \right] 
z_{e}^{(i)} = \frac{MT}{4p^+ S\Delta} \left[ 2a_i (p + 3) \cos p + 2b_i \cos p + 2b_i$$

Напряжения в областях 1 и 11 получаются с помощью формул

$$a^{(i)} = \frac{1}{2\pi i} \int_{i}^{\infty} a^{(i)} r^{-i-1} dr \qquad (i = 1, 2)$$
 (1.17)

гас за путь интегрирования (L) можно принять прямую, параллельную мникой оси комплексной переменной p и находящуюся внутри помосы (A) правее первого полюса подынтегральной функции.

$$\begin{aligned}
\sigma_{rz} &= \sigma_{rz}^{(1)} \Big|_{z=0} = \sigma_{rz}^{(2)} \Big|_{z=0} = -\frac{MT_0}{8\pi i} \int_{(L)}^{\infty} \frac{f_1(p) r^{-p-1}}{p \cdot S\Delta} dp \\
&= \sigma_{rz}^{(1)} \Big|_{r=0} = \sigma_{rz}^{(2)} \Big|_{z=0} = -\frac{MT}{4\pi i} \int_{(L)}^{\infty} \frac{f_2(p) r^{-p-1}}{p \cdot S\Delta} dp \quad (2.1) \\
&= \frac{MT_0}{4\pi i} \int_{-\infty}^{\infty} \frac{g_i(p) r^{-p-1}}{p \cdot S\Delta} dp \quad (i=1,2)
\end{aligned}$$

$$f_1(p) = (c_1 p^+ - d_1) \sin p\pi, \qquad f_2(p) = a_1 p^- + b_1$$

$$g_i(p) = a_i (p+3) + b_i \qquad (i=1, 2)$$

Как видно из формул (1.13) и (1.14), подынтегральные функция (2.1) являются мероморфиыми функциями от p; полюсам атих функций, определяющимся кориями трансцендентного уравнения  $\Delta=0$ , расположенными в полосе (A) и имеющими наибольшую действительную часть при различных конкретных комбинациях значений упругы констант, соответствуют различные порядки особенности напряжени Значения корней с наибольшей действительной частью для некотрых комбинаций значений  $\mu$ ,  $\nu$ , принедены в табл. 1.

Для вычисления интегралов (2.1) при r<1 контур интегриравания (L) дополним дугой окружности  $p=Re^{t\phi}, \, \frac{\pi}{2}<\phi<\frac{3\pi}{2}$  и применим теорему о пычетах

$$\left| \frac{f(p) r^{-p-1}}{p S^{\Delta}} dp - 2\pi i \sum_{(p_k)} \operatorname{res} \left[ \frac{f(p) r^{-p-1}}{p S^{\Delta}} \right] - \lim_{R \to C_R} \frac{f(p) r^{-p-1}}{p S^{\Delta}} dp \quad (2.2)$$

Интеграл по дуге  $C_R$  при R — стремится к нулю в силу дения Жордана [9].

Из (2.1) и (2.2) для напряжений получим выражения

$$-\frac{MT_0}{2} \sum_{(p_k)} \operatorname{res} \left| \frac{f_1(p) r^{-p-1}}{p \cdot S\Delta} \right|$$

$$-\frac{T}{2} \sum_{(p_k)} \operatorname{res} \left| \frac{f_2(p) r^{-p-1}}{p \cdot S\Delta} \right| \qquad (2.3)$$

$$= \frac{MT_0}{2} \sum_{(p_k)} \operatorname{res} \left[ \frac{g_i(p) r^{-p-1}}{p \cdot S\Delta} \right] \qquad (i-1, 2) \quad 0 < r < 1$$

где p. полюсы подынтегральных функций н (2.1), имеющие отрительные действительные части. Очевидно, что ряды в (2.3) сходяте Рассмотрим частный случай p=1. Из (1.15) и (1.17) для напряжений на линии контакта p=0 получим

$$z_{-}^{(l)} = 0, \qquad -\frac{MT_0}{8\pi i m} \int_{(L)}^{2p-1 - \cos p\pi} \frac{1}{p^- S \sin p\pi} dp \qquad (2.1)$$

$$z_{-}^{(l)} = -z_{-}^{(l)} = -\frac{M'}{4\pi i m} \int_{-p-\sin \frac{p\pi}{2}}^{-p\pi} dp$$

В этом случае подынтегральные функции не имеют полюсон в полосе  $-1 < \text{Re}\, p < 0$ , поэтому за путь интегрирования (L) можно взять в той же полосе любую прямую, параллельную мнимой оси.

Вычислим напряжения (2.4) при 0 < r < 1. С помощью теоремы вычетах для интегралов в (2.4) получим

THE

$$\psi_1(r, p) = \frac{2p^2 - 1 + \cos p\pi}{(p+1)\sin p\pi \sin \frac{p\pi}{2}} \qquad \psi_2(r, p) = \frac{r}{(p+1)\sin \frac{p\pi}{2}}$$

 $p^{n}=-(2k-1), p^{n}=-2k$  (k=1,2,...) — полюсы функции  $r_{1}(r,p)$  вервого и второго порядка соответственно,  $p_{0}=-1, p_{1}=-2k$  (k=1,2,...) — полюсы второго порядка функции  $r_{2}(r,p)$ .

После некоторых нычислений из (2.5) и (2.4) получим

$$= -\frac{M}{-m} \left\{ \sum_{k=0}^{\infty} (-1)^{k} k^{2k-1} + \frac{4}{2k} \sum_{k=0}^{\infty} \frac{(-1)^{k} k^{2k-1}}{(2k-1)^{2}} \left[ (2k-1)(1-k\ln r) - k \right] \right\}$$

$$= -\frac{M' T_c}{2k-1} \left[ 1 - \frac{2}{2} \sum_{k=0}^{\infty} \frac{(-1)^{k} r^{2k-1}}{2k-1} \right]$$

$$= 0 < r < 1$$
(2.6)

Суммируя ряды в (2.6), имеем

$$= \frac{M'T_0}{rm} \left| \frac{1}{(1+r^2)^2} + \frac{1}{r} \right| \frac{1}{1-r} \frac{r(1-r^2)\ln r}{(1-r^2)^2} + \frac{1}{r} \ln r \arctan r + \frac{1}{r} \frac{r \cot r}{r} dr \right|$$

$$= \frac{MT_0}{2m} \left( 1 - \frac{2}{r} \arctan r \right), \quad 0$$
(2.7)

Авалогичные выражения получаются и при r = 1, но, если поведение напряжений в окрестности точки r = 0 выяснено, удобно интетрал  $l_1(r)$  принести к вещественной форме. Перенося путь интегрирования на мнимую ось ( $p=i\iota$ ), после некоторых преобразований получим

$$= -\frac{M^{2}T_{0}}{2\pi mr} \int_{0}^{\infty} \frac{\left(\sinh^{2}\frac{\pi}{2} - i\right)\left[\cos\left(i\ln r\right) - i\sin\left(i\ln r\right)\right]}{\left(1 + i^{2}\right)\sinh i\pi \sinh \frac{\pi}{2}} dt \qquad 0 < r < \frac{1}{2}$$

В табл. 1 приведены значения корней ураннения  $\Delta = 0$  с наибольшей действительной частью для некоторых комбинаций значений в

		-111-5				7	Габлица)
$p_1 = 7_1 + i\delta_1$	0.0625	0.25	1	1.0625	1.25	2	17
	9	1=0.2		· ~3=0	.4		
$p_1$	-0.832	0.934	-1.014	-1.015	-1.005	-0.957	-0.76 <b>4</b>
	9	0.24	_	'g=1().	.36		
P <sub>1</sub>	-0.8(16	-0.912	-1.006	1,005	-0.978	-0.957	-0.785
	7	0.32		, 73	0.36		
$p_{1}$	-0.762	-0.882	1.001	-1.001	-0.998	-0.968	-0.314
		√ <sub>2</sub> =0.26					
$p_1$	0.752	-0.882	-1.003	-1,003	-1,001	-0.974	-0,825
	1	0.28		v <sub>1</sub> = 0.	.32		
$p_1$	0.782	0.900	-1.001	-1	-0.995	-0.960	-0.797
· <sub>1</sub> · <sub>2</sub> · 0.3							
$p_1$	0.772	0,893	-1	U, 99ń	-0.996	-0.962	-0.8%

В частном случае p-1,  $\nu_1=\nu_2$  напряжения (2.4) или (2.7) и имсют особенности при r=0, что соппадает с результатом, полученым в [10]: особенности напряжений в задаче термоупругости состиного тела существуют, если они существуют в соответствующей верной основной задаче теории упругости.

Автор выражает одагодарность К. С. Чобаняну за критические

и метания и метания АН Арминской ССР

Поступила 14 XII 1970

### Ռ. Կ. Ո<u>լ</u>ԵՐՍՈՆՏԱՆ

### <u> ԶԵՐԵԱՐԵՍԱՆ ԱՐԱՐԵՐԵՐԻ ԶԵՐԵԱՌԱԶՐԵՐԵՐ ԼԱՐՈՒՄՆԵՐԸ</u>

## It depends on ed

Դիտարկված է տարբեր չերմային և առաձգական հատկություններ ունեթող գտոսից հարթություններից կազմված, արտարին ումերի և կապերի չեն-Ղարկված կիսահարթության հարթ դեֆորմացիութի խնդիրը ժամանակի ընթյացրամ անփախոխ չերմային դաշտի ազդեցության տակ։

հեղիրը լուծված է Մելինի ձևափոխության օգնությամբ։ հտադատված է արաժերի վարբը հյութերի միացման գծի և ազատ հղոնրի հատման կետի թրակայում։ Հարումների համար ստացված է — 1 կարդի — — Rep (0 հրտում արևին և ամենամեծ իրական մաս ունեցող արմատն է։ Առաձղական հատատենիր որոշ արժեջների դեպքում բերված են ը.-ի արժեջները։

# THE THERMOELASTICITY PROBLEM FOR A COMPOSITE HALF-PLANE

### R. K. ALEXANIAN

## Summary

The problem of plane deformation for a composite half-plane, free from any effect of external forces and restrictions, under the action of a static thermal field is considered. The half-plane is composed of two guadrants, which have different elastic and thermal properties.

The problem is solved with the aid of Mellin's transformation. The behaviour of the stresses near the point of intersection of the contact line of quadrants with the free border of the half-plane is investigated. The singularity of the order  $-\gamma_1$  1 for the stresses is obtained where  $\gamma_1 = \text{Re } p_1$ ,  $p_1$  is the root of the equation  $\Delta = 0$  which has a maximum real part in the strip -1 + 1 < Re p = 0. For some magnitudes of the slastic constants the values of  $p_1$  are given.

### **ЛИТЕРАТУРА**

- 1. Черепанов Г. П. О напряженном состоянии в неоднородной пластинке с развим. Изп. АН СССР, ОТН, механика и машиностроение, № 1, 1962.
- 2 Williams M. L. The stresses around a fault or a crack in dissimilar media. letin of the seismological society of America, vol. 19, 1959.
- Zak A., Williams M. Crack point stress singularities at a be-material inter-J. of Appl. Mech., vol. 30, No. 1, 1963.
- Боджи Д. Действие касательных и нормальных ингрузов на прямоугольные
  ругие клинья, явлюлисиные из разных материалов и соединенные по гра
  Прикл. мех., гр. ASME, т. 35, сервя Е. № 3, 1968.
- 5. Боли Б., Уэйкер Дж. Теория температурных напряжений. Изд. Мир. М., 196-
- Чобанян К. С. О функции попряжения для плоской зидочи теории упрук составных тел. Докл. АН Арм.ССР, т. XXXII, № 2, 1961.
- Ду Цин-хуп. Плоская задача теории упругости пеодпородной изотронной сре Проблемы механики сплошной среды. К семидесинилению акалемика Н. И. I хелишвили, Изд. АН СССР, М., 1961.
- Уфаяна Я. С. Интегральные преобразования в зидачах теории упруспети. І АН СССР, М.-А., 1963.
- 9. Лаврентьев М. А. и Шабат Б. В. Методы теории функций комплексного и менного. Гостехтеориздат, М. А., 1951
- Чобанин К. С., Алексанян Р. К. Термоупругие напряжения в оврестности поверхности соединения составного тела. Изв. АН Арм ССР, Меден т. XXIV, № 3, 1971.

#### А. С. ХАЧИКЯН

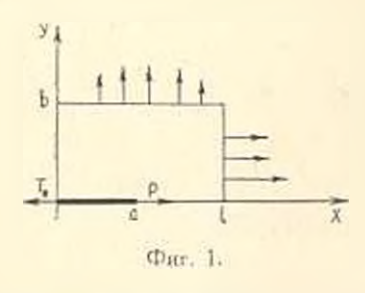
# ПЛОСКАЯ ЗАДАЧА ТЕОРИИ УПРУГОСТИ ДЛЯ ПРЯМОУГОЛЬНИКА С ТОНКОСТЕННЫМ ВКЛЮЧЕНИЕМ

Рассматривается плоская задача теории упругости для прямоугольника с симметричным тонкостенным иключением, подвергнутого мействию симметричной внешней нагрузки. Решение этой задачи приводится к квази-вполне регулярной бесконечной системе личейных ватебранческих уравнений.

Задачи определения напряженного состояния плоскости и полузаскости с неограниченными стрингерами впервые были рассмотрены Меланом [1]. В работах [2—8] исследованы различные задачи для вограниченных областей с тонкостепными иключениями и накладками конечной или бесконечной длины.

1. Рассмотрим прямоугольник  $l \in x$  l, b y b с тонкостенным вкаючением длиной 2a, расположенным на оси абсцисс симметрично относительно началя координат. Пусть вкаючение растягивается приложенными на его концах равными и противоположно направленными силами неличиною 2P каждая и пусть внешняя нагрузка на кромках прямоугольника симметрична относительно обсих осей пординат. Примем, для простоты, что на кромках прямоугольника касательные напряжения равны нулю.

В силу симметрии можно рассматривать только четнерть примоугольника (фиг. 1).



На границе рассматринаемой области, согласно условиям задачи и [9], имеем условия

$$||u_{xy}|| = ||u_{x-1}|| = ||u_{y-b}|| - |u_{y-b}|| - |u_{y-b}|| = 0$$
 (1.1)

$$\sigma_{xx}|_{x=t} = f_1(y); \quad f_1(y) = \frac{h}{2} + \sum_{k=1}^{\infty} b_k \cos \frac{h}{k} y$$
 (1.2)

$$f_2(x) = f_2(x); \quad f_2(x) = \frac{\alpha_1}{2} + \sum_{k=1}^{\infty} \alpha_k \cos \alpha_k x$$
 (1.3)

$$\exists_{rg}|_{u=0} = 0 \quad \text{при} \quad a < x < I \tag{1.4}$$

$$Eu' + 37' = 0$$
 при  $0 < x < a, y = 0$  (1.5)

где  $f_1(y)$  и  $f_2(x)$  заданные функции;  $F_{xx}, F_{yy}, F_{xy}, \dots$  v напряжени и перемещения;  $E_x$  у модуль упругости и коэффициент Пуассов материала прямоугольника;

$$\frac{E(1-v_{nk}^*)}{E_{nk}h}, \quad z_k = \frac{k^-}{l}, \quad z_k = \frac{k^-}{b}$$
 (1.6)

2h толшина включения: 2T патяжение включения

$$T = P = \int_{-\pi/2}^{\pi} \tau_{xy} dx \tag{1.7}$$

Напряжения и перемещения выражаются через функцию напряжений Эйри формулами

$$E_{ij} = \frac{\partial^{2} \Phi}{\partial y^{2}}, \qquad E_{ij} = \frac{\partial^{2} \Phi}{\partial x^{0}}, \qquad E_{ij} = \frac{\partial^{2} \Phi}{\partial x^{0} \partial y}$$

$$E_{ij} = \int_{0}^{\infty} \frac{\partial^{2} \Phi}{\partial y^{2}} dx \qquad E_{ij} = \int_{0}^{\infty} \frac{\partial^{2} \Phi}{\partial x^{2}} dx \qquad E_{ij} =$$

Представим функцию напряжений в виде

$$\Phi(x,y) = \sum_{k=1}^{\infty} [A_k \operatorname{ch} z_k y + B_k \operatorname{sh} z_k y - z_k y] C_k \operatorname{ch} z_k y +$$

$$D_k \operatorname{sh} z_k y)] \cos z_k x + \sum_{k=1}^{\infty} [E_k \operatorname{ch} z_k x + F_k \operatorname{sh} z_k x +$$

$$+ \left| \gamma_k x \left( G_k \operatorname{ch} \gamma_k x - H_k \operatorname{sh} \gamma_k x \right) \right| \cos \gamma_k y - t_1 x^2 - t_2 y^2 \tag{1.9}$$

Удовлетноряя условиям (1.1), получим

$$F_k = G_k = 0, \quad (1 + \nu) B_k = (1 - \nu) C_k$$

$$E_k = -H_k (1 + \beta, l \coth \beta_k l) \tag{1.10}$$

$$(A_k + D_k) \operatorname{sh} = (B_k + C_k) \operatorname{ch} z_k b - z_k b (C_k \operatorname{sh} z_k b + D_k \operatorname{ch} z_k b) = 0$$

Условия (1.2) (1.5) с учетом (1.7), (1.10) и обозначений

$$x = \frac{l}{\tau}, \qquad x = \frac{a\pi}{l}, \qquad \eta_k = \frac{l}{b}k \tag{1.11}$$

$$\frac{\partial^{2}_{k}(D_{k} \operatorname{sh} a_{k}b - C_{k} \operatorname{ch} a_{k}b)}{\partial^{2}_{k}H_{k} \operatorname{sh} \beta J} = \frac{1}{2} \frac{\partial^{2}_{k}X_{k}}{\partial^{2}_{k}C_{k}} = Z_{k}$$
(1.12)

при одят к следующим уравнениям:

$$= \frac{1}{\sinh^3 3 t} \left( \frac{4}{\sinh^3 3 t} \right) = b_1 - \frac{4}{b} \sum_{i=1}^{n} \frac{(-1)^p a_i}{1} = X_{i+1} - \frac{1}{1} + \frac{1}{1}$$

$$= \frac{1}{1}$$
(1.13)

$$\left(\coth \frac{a_k b}{\sinh^2 \frac{a_k b}{2k b}}\right) = \frac{\lambda}{2k} \left(\frac{1}{1-a_k} \frac{1}{\sinh \frac{a_k b}{2k b}} \frac{a_k b \cosh \frac{a_k b}{2k b}}{\sinh^2 \frac{a_k b}{2k b}}\right) =$$

$$-a_1 = \frac{4\pi i (-1)^4}{6} \sum_{i=1}^{\infty} \frac{(-1)^2 i (1-1)^2}{(3-1)^2} \frac{1}{2}$$
 (1.14)

$$t_1 = \frac{b_0}{4} \qquad t_1 = \frac{a_1}{4} \tag{1.15}$$

$$\sum_{k=1}^{\infty} Z_{k} \gamma_{k} = \sin k \gamma_{k} = 0 \quad \text{при} \quad 2 < \gamma < \pi \tag{1.16}$$

$$\sum_{a_{k}} \cos k \gamma = \frac{1}{3-v} \sum_{a_{k}} \left[ \frac{1-vX_{k}}{\sinh z_{k}b} \left[ 1-v-(1-v)z_{k}b \cosh z_{k}b \right] \right]$$

$$= \frac{1}{z_{k}} \left[ \frac{(1+v)z_{k}b}{\sinh z_{k}b} - (3-v)(1-\coth z_{k}b) - \frac{2}{1-v} \right] \left[ \cos k - \frac{1}{b(3-v)} \sum_{k=1}^{n-1} \frac{1-vY_{k}}{\sinh z_{k}b} \right] \left[ (1-v)\cosh z_{k}b - \frac{1}{1-v} \right] \left[ \frac{1-v}{b(3-v)} \sum_{k=1}^{n-1} \frac{1-v}{\sinh z_{k}b} \right] \left[ \frac{1-v}{(1-v)(3-v)} \sum_{k=1}^{n-1} \frac{1-v}{\cos z_{k}a} \right]$$

$$= \frac{2t-2vt_{k}+3P}{3-v} \quad \text{при} \qquad (1.17)$$

Используя решение парных рядон-ураппений, данное А. А. Баблояном и [10], на (1.161—(1.17) для неизнестных ковфициентов  $Z_{\rm A}$  получии

$$\frac{kz_k^{\frac{1}{2}}}{2(3-v)} \sum_{i} \left\{ \frac{1}{\sinh z_p b} \right\} = v - (1+v) z_p b \coth z_p b + \frac{1}{2} \left\{ \frac{1}{\sinh z_p b} \right\}$$

$$+\frac{Z_{p}}{\frac{1}{2}}\left[\frac{(1+i)z_{p}b}{\sinh^{2}z_{p}b}-(3-i)\left(\coth z_{p}b-1\right)-\frac{2\beta}{1-\frac{1}{2}}\frac{1}{z_{p}}\right]/L$$

$$+\frac{D_{k}^{4}k!}{\frac{1}{2}}\sum_{p=1}^{\infty}\frac{\left[\frac{3}{2}pY_{p}}{\sinh^{3}\beta_{p}l}\right]\left[1-\nu+(1-\beta_{p}c)+\frac{1}{2}(1+\nu)z_{q}K_{kp}\right]$$

$$-\frac{2\beta}{2(3-\nu)}\left[\frac{4\beta}{1-\frac{1}{2}}\sum_{p=1}^{\infty}\cos z_{p}c-4\left(l_{1}-\nu l_{1}\right)+2\beta P\right]$$
(1.1)

гле

$$L_{r} = \int_{0}^{\pi} y_{k}(\cos \theta) \, \mathrm{d}y \, \frac{\theta}{2} \, d\theta \int_{0}^{\pi} \frac{\mathrm{ch} \, \eta_{k} \, \cos \frac{1}{2} \, d\eta}{(\cos \eta - \cos \theta)} \, \mathrm{d}y \, \frac{\mathrm{d}y}{(\cos \eta - \cos \theta)} \, \mathrm{d}y \, \frac{\mathrm{ch} \, \eta_{k} \, \cos \frac{1}{2} \, d\eta}{(\cos \eta - \cos \theta)^{1/2}}$$

$$(1.11)$$

$$K_{r} = \int_{0}^{\pi} y_{k}(\cos \theta) \, \mathrm{d}y \, \frac{\theta}{2} \, d\theta \int_{0}^{\pi} \frac{\mathrm{ch} \, \eta_{k} \, \sin \frac{1}{2} \, \mathrm{d}y}{(\cos \eta - \cos \theta)^{1/2}} \, \mathrm{d}y \, \mathrm{d}$$

$$y_1(\cos\theta) = \frac{2i}{\pi} \int_0^{2} \frac{\cos k \cos \frac{\pi}{2} d\pi}{(\cos \pi - \cos \theta)}$$
(1.2)

Все искомые коэффициенты могут быть определены решением беск нечных систем (1.13) (1.15) и (1.18).

2. Докажем, что бесконечные системы (1.13)—(1.15) и (1.16 кнази-вполне регулярны. Для этого достаточно воспользоваться смедующими оценками:

$$\frac{4k | k | l | l | b^{2} | b}{\pi} \sum_{p} \frac{p | p}{(p^{2}b^{2} + k^{2}l^{2})^{2}} = \frac{1}{| 2|} + O(\frac{1}{k})$$

$$b^{2} \sum_{p=1}^{\infty} \frac{1}{|p|!} (b^{2}p^{2} + l^{2}k^{2})$$

$$O(k^{-1})$$
(2.1)

$$k^{T} \sum_{p=1}^{\infty} \frac{1}{\sinh z_{p} h} I_{k_{p}} = O(k^{-1}), \qquad k^{T} \sum_{i=1}^{\infty} \frac{I_{k_{p}}}{p^{T}} = O\left(\frac{\ln k}{k^{T}}\right)$$

$$k^{T} \sum_{p=1}^{\infty} \frac{1}{\sinh z_{p} l} = O(k^{-1}), \qquad k^{T} \sum_{p=1}^{\infty} \frac{K_{k_{p}}}{\sinh z_{p} l} = O(k^{-1})$$

$$k^{T} \sum_{p=1}^{\infty} \frac{1}{\sinh z_{p} l} \cos z_{p} a = O(k^{-1}), \qquad I_{k} = O(2k^{-1})$$
(2.2)

Спободные члены систем (1.13) — (1.15) и (1.18) при обычных преджложениях относительно явданных функций  $f_1(y)$ ,  $f_2(x)$  неледствие (2.2) ограничены и при больших k убывают не медлениее, чем  $k^{-\frac{1}{4}}$ .

При получении оценов (2.1)—(2.2) были использованы значения витегралов  $I_{Vp}$ ,  $J_{Lp}$ ,  $K_{Lp}$ ,  $I_{L}$ , асимптотические разложения функций  $g_{L}(\cos \theta)$ ,  $z_{L}(\cos \theta)$ , Y (cos  $\theta$ ). V (cos  $\theta$ ), приведенных в работах [10, 11].

3. В окрестности концов включения напряжения имеют особенсть. Приведем выражения для напряжений на линки y = 0, со дершие в виде множителя эту особенность

$$\frac{2\sqrt{2}}{1+\sqrt{2}} \frac{\sin \frac{\pi}{2}}{\cos \tau - \cos \tau} \left| \frac{1}{2(3-\sqrt{2})} \sum_{\mu=1}^{\infty} M_1 y_{\mu} (\cos \tau) - \frac{l}{2b(3-\sqrt{2})} \sum_{\mu=1}^{\infty} \frac{M_2 Y_{\mu}}{\sinh \beta_{\mu} l} V_{\nu} (\cos \tau) - \frac{l(1-\sqrt{2})}{2b(3-\sqrt{2})} \sum_{\mu=1}^{\infty} \frac{1}{3\rho} \frac{\gamma_{\mu}}{\sinh \beta_{\mu} l} V_{\nu} (\cos \tau) - M_1 \right| + \frac{1}{(1-\sqrt{2})} \frac{1}{(3-\sqrt{2})} \left\{ \sum_{\mu=1}^{\infty} p M_1 \sum_{k=1}^{\infty} L_1 \sin \tau_{k} x - \frac{l}{b} \sum_{k=1}^{\infty} \frac{1}{2\rho} \frac{\gamma_{\mu}}{M_2} \sum_{k=1}^{\infty} L_2 \sin \tau_{k} x + \frac{l(1+\gamma)}{b} \sum_{k=1}^{\infty} \frac{1}{3\rho} \frac{\gamma_{\mu}}{N_2} \frac{\gamma_{\mu}}{N_2} \sum_{k=1}^{\infty} L_3 \sin \tau_{k} x \right\}$$

$$= \frac{l}{b} \sum_{\mu=1}^{\infty} \frac{1}{1+\sqrt{2}} \frac{1}{2(3-\sqrt{2})} \sum_{\mu=1}^{\infty} M_1 \left[ y_{\mu} (\cos \tau) - p \sum_{k=1}^{\infty} L_1 \cos \tau_{k} x \right] + \frac{l}{2b(3-\gamma)} \sum_{\mu=1}^{\infty} \left[ M_1 Y_{\nu} (\cos \tau) - M_2 \sum_{k=1}^{\infty} L_1 \cos \tau_{k} x \right] + \frac{l}{2b(3-\gamma)} \sum_{\mu=1}^{\infty} \left[ M_1 Y_{\nu} (\cos \tau) - M_2 \sum_{k=1}^{\infty} L_2 \cos \tau_{k} x \right] + \frac{l}{2b(3-\gamma)} \sum_{\mu=1}^{\infty} \left[ M_1 Y_{\nu} (\cos \tau) - M_2 \sum_{k=1}^{\infty} L_2 \cos \tau_{k} x \right] + \frac{l}{2b(3-\gamma)} \sum_{\mu=1}^{\infty} \left[ M_1 Y_{\nu} (\cos \tau) - M_2 \sum_{k=1}^{\infty} L_2 \cos \tau_{k} x \right] + \frac{l}{2b(3-\gamma)} \sum_{\mu=1}^{\infty} \left[ M_1 Y_{\nu} (\cos \tau) - M_2 \sum_{k=1}^{\infty} L_2 \cos \tau_{k} x \right] + \frac{l}{2b(3-\gamma)} \sum_{\mu=1}^{\infty} \left[ M_1 Y_{\nu} (\cos \tau) - M_2 \sum_{k=1}^{\infty} L_2 \cos \tau_{k} x \right] + \frac{l}{2b(3-\gamma)} \sum_{\mu=1}^{\infty} \left[ M_1 Y_{\nu} (\cos \tau) - M_2 \sum_{k=1}^{\infty} L_2 \cos \tau_{k} x \right] + \frac{l}{2b(3-\gamma)} \sum_{\mu=1}^{\infty} \left[ M_1 Y_{\nu} (\cos \tau) - M_2 \sum_{k=1}^{\infty} L_2 \cos \tau_{k} x \right] + \frac{l}{2b(3-\gamma)} \sum_{\mu=1}^{\infty} \left[ M_1 Y_{\nu} (\cos \tau) - M_2 \sum_{k=1}^{\infty} L_2 \cos \tau_{k} x \right] + \frac{l}{2b(3-\gamma)} \sum_{\mu=1}^{\infty} \left[ M_1 Y_{\nu} (\cos \tau) - M_2 \sum_{k=1}^{\infty} L_2 \cos \tau_{k} x \right] + \frac{l}{2b(3-\gamma)} \sum_{\mu=1}^{\infty} \left[ M_1 Y_{\nu} (\cos \tau) - M_2 \sum_{k=1}^{\infty} L_2 \cos \tau_{k} x \right] + \frac{l}{2b(3-\gamma)} \sum_{\mu=1}^{\infty} \left[ M_1 Y_{\nu} (\cos \tau) - M_2 \sum_{k=1}^{\infty} L_2 \cos \tau_{k} x \right] + \frac{l}{2b(3-\gamma)} \sum_{\mu=1}^{\infty} \left[ M_1 Y_{\nu} (\cos \tau) - M_2 \sum_{k=1}^{\infty} L_2 \cos \tau_{k} x \right] + \frac{l}{2b(3-\gamma)} \sum_{\mu=1}^{\infty} \left[ M_1 Y_{\nu} (\cos \tau) - M_2 \sum_{k=1}^{\infty} L_2 \cos \tau_{k} x \right] + \frac{l}{2b(3-\gamma)} \sum_{\mu=1}^{\infty} \left[ M_1 Y_{\nu} (\cos \tau) - M_2 \sum_{k=1}^{\infty} L_2 \cos \tau_{k} x \right] + \frac{l}{2b(3-\gamma)} \sum_{\mu=1}^{\infty} \left[ M_1 Y_{\nu} (\cos \tau) - M_2 \sum_{k=1}^{\infty} L_2 \cos \tau_{k} x \right] + \frac{l}{2b(3-\gamma)} \sum_{\mu=1}^{\infty} \left[ M_1 Y_{\nu} (\cos \tau) - M_2 \sum_{\mu=1}^{\infty} L_2 \cos \tau_{k} x \right] + \frac{l}{2b(3-\gamma)} \sum_{\mu=1}^{\infty} \left[ M_1 Y_{\nu} (\cos \tau$$

$$\frac{H(x-a) \mid 2 \sin \frac{\pi}{2}}{\sinh \beta_{p} l} \left( V_{s} (\cos \alpha) - \sum_{i} L_{s} \cos \alpha_{i} x_{i} \right) \mid M_{s} \mid H_{s} \mid$$

где

$$N_{1} = \frac{l}{b} \sum_{k=1}^{\infty} \frac{1}{\sinh x_{k} l} \left[ -x_{k} b \cosh x_{k} + \cosh x_{k} x + \cosh x_{k} x + \cosh x_{k} t \right] - \frac{2l}{2k} \left[ -x_{k} l \cosh x_{k} t \right] - \frac{2l}{2k} \left[ -x$$

$$N_{2} = \frac{1}{2(3-v)} \sum_{p=1}^{\infty} M_{1} \left[ y_{p}(\cos x) - P \sum_{i} L_{i} \cos x_{i} x \right] + \frac{1}{2b(3-v)} \sum_{p=1}^{\infty} \left[ M_{2}Y_{v_{p}}(\cos x) - v_{p}M_{2} \sum_{k=1}^{\infty} L_{i} \cos x_{k} x - \frac{1}{2b(3-v)} v_{p}Y_{p} \right] \left[ V_{v_{p}}(\cos x) - \sum_{k=1}^{\infty} L_{3} \cos x_{k} x \right] + M_{3}$$

$$M_{2} = \frac{1}{\sinh x_{p}} \left[ 1 - v - (1+v) v_{p}b \coth x_{p}b \right] + \frac{2v_{p}}{\sinh x_{p}} \left[ \frac{(1+v)x_{p}b}{\sinh x_{p}b} - (3-v) \left( \coth x_{p}b - 1 \right) - \frac{2v_{p}}{(1+v)x_{p}} \right]$$

$$M_{2} = \frac{V_{3}^{3} Y_{i}}{\sinh x_{p}} \left[ 1 - v + (1+v) \int_{i} \coth x_{p}i \right]$$

$$M_{3} = \frac{V_{3}^{3} Y_{i}}{\sinh x_{p}} \left[ 1 - v + (1+v) \int_{i} \coth x_{p}i \right]$$

$$L_{1} = \int_{0}^{\infty} \left( \cos \theta \right) Z_{i} \left( \cos \theta \right) \cot y \frac{1}{2} d\theta$$

$$L_{2} = \int_{0}^{\infty} \left( \cos \theta \right) \left[ Z_{i} \left( \cos \theta \right) + v_{p}W_{i_{p}}(\cos \theta) \right] \cot y \frac{1}{2} d\theta$$

$$H(x) = \begin{cases} 0 & x < 0 & -\exp(x_{p}) \\ 1 & x < 0 \end{cases} - \exp(x_{p}) \left[ \cos x_{p} \cos \theta \right]$$

$$Z_{k}(\cos \theta) = \frac{2V_{2}}{\pi} \int_{0}^{\theta} \frac{\sinh kx \sin \frac{x}{2} dx}{(\cos x - \cos \theta)^{1-2}}$$

$$Z_{k}(\cos \theta) = \frac{2V_{2}}{\pi} \int_{0}^{\infty} \frac{\sinh kx \sin \frac{x}{2} dx}{(\cos x - \cos \theta)^{1-2}}$$

$$W_{p}(\cos \theta) = \frac{21}{\pi} \int_{0}^{\pi} \frac{x \cosh px \sin \frac{x}{2} dx}{(\cos x - \cos \theta)^{2}}$$
(3.)

$$Y_{p}(\cos \theta) = \frac{212}{\pi} \int_{0}^{h} \frac{\cosh px \cos \frac{x}{2} dx}{(\cos x - \cos \theta)}$$

$$V_{p}(\cos \theta) = \frac{2|2|}{\pi} \int_{0}^{\theta} \frac{x \sin px \cos \frac{x}{2} dx}{(\cos x - \cos \theta)^{1/2}}$$

Ряды, содержащиеся в выражениях для напряжений, очевыли сходятся абсолютно и равномерно.

При получении этих формул использованы значения некоторядов и интегралов, а также свойства функций (1.20) и (3.1), полученные в работах [10, 11].

- 4. Рассмотрим некоторые частные случаи и выдоизменения перы начальной задачи.
- а) Полоса с периодическими яключениями, парадледыными в кромкам.

Решение этой задачи получим, если в граничных условиях (1.1)-(1.5) заменим условие (1.2) на

$$u = 0$$
 (4)

оставляя остальные неизменными.

Бескопечную систему для определения неизвестных коэффицитов в этой задаче получим из системы (1.18), если положим  $Y_1$ 

$$\int \frac{a_k b}{\sinh^2 a_k b} \left( \frac{a_k b}{\sinh^2 a_k b} \right) = \frac{Z_k}{a_k^{1/2}} \left( \frac{1 - v}{1 + v} \frac{1}{\sinh a_k b} - \frac{a_k b \cosh a_k b}{\sinh^2 a_k b} \right) = 0$$

$$t_1 = w_1, \qquad t_1 = \frac{a_0}{4}$$

б) Полоса с периодическими включениями, перпендикульных к ее кромкам.

Решение этой задачи получим, если в граничных условиях (1.1) (1.5) заменим условие (1.3) на

$$v \mid_{u-b} = 0$$

оставаяя остальные неизменными.

Бесконечные системы для определения неизвестных коэффициентов этой задачи получим из систем (1.13) и (1.18), если положим

$$X_k = 0, \quad t_1 \qquad t_2 = \frac{b_0}{4}$$
 (4.4)

в) Плоскость с двоякопериодическими включениями.

Выполняя одновременно замены в граничных условиях, выпол-

$$X_k = 0, \quad Y_k = 0$$

$$\frac{Z_{p}}{2(3-1)} \sum_{n} \frac{Z_{p}}{\sinh^{2} a_{p} h} \left| \frac{(1-\frac{1}{2})}{\sinh^{2} a_{p} h} - (3-\frac{1}{2}) \left( \frac{1}{2} + \frac{1}{2} \frac{1}{2} \right) \right| I_{kp}$$

$$-\frac{Z_{p}}{2(3-\nu)}\left[\frac{4^{2}}{1+1}-\frac{Z_{p}}{2^{5/4}}\cos\alpha_{p}\alpha+2^{3}P\right]I_{k},\quad t_{1}-t_{2}=0 \tag{4.5}$$

г! Переходя формально к пределу при l — и b — в систеших (1.13)—(1.15), (1.18), получим интегральные уравнения задач для
волосы или плоскости с единичными и периодическими включениями.
Однако, более удобные для нычислений интегральные уравнения можно
волучить непосредственным рассмотрением названных задач.

Приведем интегральное уравнение задачи для плоскости с перазвическими включениями, центры которых лежат на прямой х 0, под действием равномерного, параллельного включения растягиваютего напряжения на бесконечности.

Представляя функцию напряжений в виде

$$\Phi(x, y) = \int A(t) \cosh ty + B(t) \sinh ty - ty [C(t) \cosh ty + D(t) \sinh ty] \cos tx dt + ty^{*}$$

развитворяя соответствующим граничным условиям и условиям на бесконечности и поступая аналогично [12], получим

$$D(\lambda) = C(\lambda) \coth \lambda b = \frac{1}{2 \sinh \lambda b}$$

$$C(\lambda) \left| \frac{\lambda b}{\sinh^2 \lambda b} - \frac{1 - \lambda}{1 - \lambda} \coth \lambda b \right| + \frac{1}{2 \sin \lambda b} (1 + \lambda b \coth \lambda b)$$

$$B(\lambda) = C(\lambda) \frac{1 - \lambda}{1 - \lambda} = \frac{1}{2}$$

$$\frac{\partial}{\partial x} (x) = \left| \frac{\partial}{\partial x} (y) + \frac{\partial}{\partial x} (y) \right| dy + f(x)$$

$$(4.6)$$

rge

$$\varphi(x) = \frac{1}{x} \quad z(\lambda) = \lambda^2 C(\lambda)$$

$$z(\lambda) = \int_0^x \varphi(y) f_1(iy) dy$$

$$H(x, y) = \frac{\pi}{2} \int_0^x iN(\lambda) f_1(iy) H_0(x, \lambda) d\lambda + \frac{2\beta_0}{\pi} \left[ E\left(\frac{y}{x}\right) - K\left(\frac{y}{x}\right) \right] \quad \text{при } y < x$$

$$+ \left[ \frac{2\beta_0}{\pi} \frac{y}{x} \left[ E\left(\frac{x}{y}\right) - K\left(\frac{x}{y}\right) \right] \quad \text{при } y > x$$

$$N(i) = \text{cth } i.b = 1 + \frac{1 - \gamma}{\gamma - 3} \frac{i.b}{\text{sh}^2 i.b}$$

$$f(x) = \int_0^x iF(\lambda) H_0(ix) d\lambda$$

$$F(v) = \frac{2bv^2}{2\sinh vb} \left[1 - v + (v - 1)vb \coth vb\right], \quad 3_0 = \frac{2}{(1 + v)(v - 3)}$$

— заданное напряжение на бесконечности; E(k), K(k) — и ные эллиптические интегралы;  $f_1(z)$  — функция Бесселя;  $H_0(z)$  — функция Струве.

Ураннение (4.6) является уравнением Фредгольма второго род) Растяжение полосы с периодическими включениями, паравлеными ее кромкам.

Решение этой задачи получим, если в граничных условиях (1.1) (1.5) заменим условие (1.2) на

$$Eu = 2lf z_0$$

где  $z_0 = 3$ аданире напряжение на бесконечности; f =постоянияя, какащая определению.

Поступая аналогично п. 1, получаем бесконечную систему

$$Z_{k} = \frac{4\pi_{k}^{\frac{1}{2}}}{2(3-v)} \sum_{\rho=1}^{\infty} \frac{Z_{\nu}}{z_{\mu}^{1/2}} I_{k\rho} \left(Q_{\rho} - \frac{2\beta}{1+v} \frac{1}{s_{\rho}}\right) + \frac{k\sigma_{k}^{\frac{1}{2}}}{2(3-v)} \left[\frac{4\beta}{1+v} \sum_{\rho=1}^{\infty} \frac{Z_{\rho}}{z_{\rho}^{1/2}} \cos z_{\rho} a + 4f\right] I_{k}$$
(4)

$$Y_k = 0, \quad t_1 = 0, \quad t_2 = s_0 f$$
 (4.9)

$$1 = X_k \left( \coth \alpha_k b - \frac{\alpha_k b}{\sinh^2 \alpha_k b} \right) + \frac{Z_k}{\alpha_k^{1/4}} \left( \frac{1-\nu}{1+\nu} \frac{1}{\sinh \alpha_k b} - \frac{\alpha_k b \coth \alpha_k b}{\sinh \alpha_k b} \right) = 0$$

TAC

$$Q_{\rho} = \frac{(3-v)(\alpha_{\rho}b - \exp(-\alpha_{\rho}b)\cosh\alpha_{\rho}b) - (1+v)\alpha_{\rho}^{2}b^{2} - \frac{(1-v)^{2}}{1+v}}{\cosh\alpha_{\rho}b + \alpha_{\rho}b}$$
(4.10)

Постоянная / определяется из условия равновесия некоторой всконечной части полосы

$$z_{\bullet}b = \int_{0}^{b} z_{xx} dy \tag{4.11}$$

гле путь интегрирования проходит по некоторому сечению x=d, не проходящему через включение.

5. Рассмотрим более подробно задачу, решение которой принедено в п. 4д.

В этом случае, как и во всех рассмотренных выше случаях, бесконечной системс можно придать более удобный для вычислений вид.

Введем обозначение

$$Z_k = 4f(1 + C_{\bullet}) \alpha_k \gamma_k$$

TAC

$$C_{\bullet} = \frac{\frac{4\beta}{1 - \sqrt{\sum_{p=1}^{\infty} \frac{\gamma_{p}}{\alpha_{p}}} \cos \alpha_{p} \alpha}}{1 - \frac{4\beta}{1 - \sqrt{\sum_{p=1}^{\infty} \frac{\gamma_{p}}{\alpha}} \cos \alpha_{p} \alpha}}$$
(5.1)

Система (4.8) примет вид

$$\tau_s = \frac{k}{2 (3-s)} \sum_{\alpha} \tau_{\alpha} I_{k\alpha} \left( Q_{\alpha} - \frac{2\beta}{(3-s)^{3-\alpha}} \right) + \frac{z_k (\cos z)}{2 (3-s)}$$
 (5.2)

Решая эту систему, можно определить неизпестные заранее постояные  $C_0$  и f.

Из (4.11) для постоянной ƒ получаем

$$j = \left[ \frac{8(1+C_0)}{\pi} \frac{1}{b} \sum_{k=1}^{\infty} \frac{(-1)^k \tau_k}{k} \left( \frac{\alpha_k \dot{b} \coth \alpha_k \dot{b} - \frac{1-\nu}{1+\nu}}{\cosh \alpha_k \dot{b} + \frac{\alpha_k \dot{b}}{\sinh \alpha_k \dot{b}}} - \frac{\nu}{1+\nu} \right) \right]^{-1}$$

5 Известин АН Армянской ССР, Механика, № 4

Были проведены вычисления при следующих значениях параметров:

$$\frac{l}{b} = 3$$
,  $3 = \frac{15}{16}b$ ;  $y = 0.25$ 

Вычисления показывают, что при этих значениях параметров система (5.2) вполне регулярна.

Вычисленные значения натяжения включения  $\left(\frac{2T}{2hz_0}\right)$  и коэффициента особенности напряжений  $z_{yy}$  и окрестности конца включения  $\left(\frac{A}{z_0}\right)$  приведены в табл. 1.

		Tab.	Таблица 1		
$\frac{a}{l}$	u	7 b=0	69/4	A =0	3.16
0.25	0 0.25 0.50 0.75	0.254 0.241 0.215 0.172	5.9 1.2 3.2 2.3	-0.419	0.24
0,50	0 0.25 0.50 0.75	0,392 0,385 0,353 0,268	1.0 1.8 3.1 2.2	-0.553	0.72
0.75	0 0.25 0.50 0.75	0.439 0.437 0.404 0.336	8.2 6.2 0.5 3.0	-0.453	9.0

Неизвестные коэффициенты определялись из укороченной системы (5.2) при p=16 и p=20. Разность результатов вычислений (4) увеличинается при больших  $\frac{\alpha}{}$ .

Вычисления показывают, что коэффициент особенности напряжений уменьшается по модулю при  $\frac{a}{a} \to 0$  или  $\frac{a}{a} \to 1$ .

Автор выражает благодарность К. С. Чобаняну за ценные советы в ходе решения задачи.

Институт математики и мехапики АН Армянской ССР

Поступила 1 11 1971

#### Ա. Մ. ԵԱՉԻԿՅԱՆ

## ԱՌԱԶԳԱԿԱՆՈՒԹՅԱՆ ՏԵՍՈՒԹՅԱՆ ՀԱՐԹ ԽՆԳԻՐԸ ԲԱՐԱԿԱՊԱՏ ՆԵՐԳՐԱԿՈՎ ՈՒՂՂԱՆԿՅԱՆ ՀԱՄԱՐ

## Kathahara

Դիտարկվում է առաձգականության տևսության Հարթ իւնդիրը սիմետրիկ արտարին թեռի ազդեցության տակ գտնվող բարակապատ ենրդրակով ուղանկյան համարւ Խնդիրը բերվում է գծային հանրահաչվական հավասարումենթի թվացի-լիովին ռեզուլյար երեջ անվերջ սիստեմների լուծման։

Քերված են նաև բարակապատ ներդրակներով չերտի և տնվերը Տարթության Տաժար ժի բանի պարբերական - խնդիրների լուծուժները։ Դիտարկված է Ովային օրինակ։

## ON A PLANE PROBLEM OF THE THEORY OF ELASTICITY FOR A RECTANGULAR REGION WITH THIN-WALLED INCLUSION

### A. S KHACHIKIAN

## Summary

A plane problem of the theory of elasticity for a rectangular region with thin-walled inclusion under the action of symmetrical external forces is considered.

The problem is reduced to the three quasi-regular infinite systems of linear algebraic equations.

Solutions of some periodical problems for a strip and infinite plane with thin-walled inclusion are also presented.

A numerical example is given.

#### АИТЕРАТУРА

- 1. Melan E. Ein Beitrag zur Theorie geschweister Verbindungen, Ing.-Archiv, 1932, Bd 3, Heft 2, s. 123.
- 2 Returner E. Note on the problem of the distribution of stress in a thin stiffened elastic sheet. Proc. Nat. Acad. of Sci. U.S.A., 1940. Vol. 26, p. 300.
- 3. Kotter W. T. On the diffusion of load from a stiffiner into a sheet. Quart. J. Mech and Appl. Math., 1955, vol. 8, p. 164
- 1 Толичен В. М. Передача нагрузки от стрингера конечиой длины и босконочной и полубесконечной пластине Довл. АН СССР, т. 154, № 4, 1964.
- 5. Муни, Стериберт Передача нагрузии от растягиваемого поперечлого стержим в полубесконечной упругой пластине. Прина мекан., Тр. ASME, № 4, 1968
- Авитонян Н. Х. Контавтная задача для полуплоскости е упругим приплением. ПММ, т. 32, п. 4, 1968.
- 7. Аруминян Н. Х., Мхимарян С. М. Пернодическая поитактная задача для полуплоскости с упругими макладнами. ПММ, т. 33, п. 5, 1969.

- 8. Хачикин А. С. Раяновеске плоскости с тонкостепным упругим включением вопечной данны. Изв. АН АрмССР, Механика, т. XXIII, № 3, 1970.
- Чобанин К. С., Хачикин А. С. Плоское деформированное состоиние упругого тела с топкостенным гибким включениюм. Изв. АН АрмССР. Механика. т. XX, № 6, 1967.
- Библоян А. А. Рашение некоторых парных уравнений, встречающихся в задачах теории упругости. ПММ. т. 31. в. 4. 1967.
- 11. Библоян А. А., Гулканян Н. О. Об одной смешанной задляе для прямоугольпика. Изв. АН АрмССР, Мехапика, т. XXII, № 1, 1969.
- Уфанна Я. С. Интегральные преобрамования в задачах теарым упругаети. М.-А., 1963.

### О. А. ГОДОВИН

## О ВЫНУЖДЕННЫХ ПРОДОЛЬНЫХ КОЛЕБАНИЯХ ИТООНХЧЭВОП АН ХЫННАДАЕ ИЧП АЧДИНИЛИ НАПРЯЖЕНИЯХ

\$1. Рассматринаются осесимметричные колебания цилиндра конечной длины с заданными напряжениями на поверхности. Построим решение уравнений Ляме

$$(x - 2u)\frac{\partial u}{\partial r} + 2u\frac{\partial \Omega}{\partial z} + \frac{\partial^2 u}{\partial r} = 0$$

$$(x + 2u)\frac{\partial u}{\partial z} - \frac{2u}{r}\frac{\partial^2 u}{\partial r} - \frac{\partial^2 w}{\partial r} = 0$$
(1.1)

которое давало бы возможность удовлетворить следующим граничным условиям:

$$r = a \quad z_r = V(z) \cos \theta t \quad z_r = 0$$

$$z = 0 \quad z_r = 0 \quad U_1(r) \cos \theta t \quad (1.2)$$

$$z = l \quad z_r = 0 \quad z_r = 0$$

Случай неравных нулю напряжений за на торцах цилиндра и тра на боковой поверхности отличается от настоящего лишь более громоздкими свободными членами в бесконечной системе, к которой сводится решение задачи. Приняты обозначения: с — радиус цилиндра, далина вынуждающей силы. Предполагается, что п не совладает с какой-либо собственной частотой цилиндра. да и собъемное расширение и вращение, связанные с радиальной и и осеной ш компонентами вектора смещения соотношениями

$$0 = \frac{1}{r} \frac{\partial (ru)}{\partial r} + \frac{\partial u}{\partial z}, \qquad u = \frac{1}{2} \left( \frac{\partial u}{\partial z} - \frac{\partial w}{\partial r} \right)$$

Для получения решения уравнений (1.1) со степенью произвола, достаточной для удовлетворения гравичным условиям (1.2), используется метод, берущий свое начало от работы Ляме [1]. В последнее время такой подход к решению пространственных задач теории упругости для ограниченных облястей развивается в работах [2—5]. Перемещения и и представляются в виде сумм решений однородных уравнений Ляме (1.1) для бесконечного упругого слоя толщиной l и цилиндра бесконечной длины радиуса a.

где  $u_n = \frac{u}{a}$ ,  $v_n = \frac{u}{a}$ ,  $v_n = \frac{u}{a}$  положительные кории уравнения  $f_1(\tau) = 0$ ,  $v_1 = \frac{1}{a}$  и  $v_2^2 = \frac{u}{a}$  скорости воли объемного расширения и искажения:  $p_1^a = \frac{u^a}{a}$ ,  $p_2^a = \frac{u}{a}$ ,  $p_2^a = \frac{u^a}{a}$ ,  $p_3^a = \frac{u^a}{a}$ ,  $p_4^a = \frac{u^a}{$ 

$$z(x) = \begin{cases} 1, & x > 0 \\ -i, & x < 0 \end{cases} (i^2 = -1)$$

 $A_0$ ,  $a_0$ ,  $b_0$ ,  $a_n$ ,  $b_n$ ,  $c_n$ ,  $d_n$ ,  $A_m$ .  $C_m$  произвольные постоянные, которые выбираются так, чтобы удовлетворялись красвые условия (1.2), выраженные в перемещениях.

Граничные условия для касательного напряжения на боковой поверхности и т, на торцах цилиндра позноляют исключить часть постоянных

$$a_a = b_a = A_a = 0$$
  
 $c_a = \frac{i p_1^2 - 2 p \tilde{v}_a^2}{-2 p c_a p_a} \frac{z \left( \tilde{v}_a^2 \right) \sinh \tilde{v}_a I}{z \left( \tilde{v}_a^2 \right) \sinh \tilde{v}_a I} (a_a \cosh s_b I - b_a), \quad n = 1, 2, \cdots$   
 $d_a = -\frac{i p_1^2 - 2 p \tilde{v}_a^2}{-2 p c_a p_a} \frac{z \left( \tilde{v}_a^2 \right) \sinh \tilde{v}_a I}{z \left( \tilde{v}_a^2 \right) \sinh \tilde{v}_a I} (a_a + b_a \cosh s_b I), \quad n = 1, 2, \cdots$  (1.5)

$$C_{-}=-\frac{2r_{m}^{2}-p_{1}}{2r_{m}^{2}}:\left( \frac{\partial ^{2}}{\partial m}\right) \frac{I_{m}\left( \frac{3-\alpha}{2-\alpha}\right) }{I_{1}\left( 2-\alpha\right) }A_{m},\quad m=1,2,\cdots$$

Удовлетворяя останшимся краевым условиям и используя соотношения (1.5) и разложения

$$I_{1}(ir) = -\frac{2I_{1}(a)}{l} \sum_{m=1}^{\infty} \frac{\mu_{n} J_{0}(\tilde{\gamma}_{n}) J_{1}(\mu_{n} r)}{m}$$

$$\sinh \tilde{\sigma} z = -\frac{2\sinh \tilde{\sigma}}{l} \sum_{m=1}^{\infty} \frac{(-1)^{m} i_{m} \sin i_{m} z}{m}$$

$$\cosh \tilde{\sigma} z = \frac{2}{l} \sum_{m=1}^{\infty} \frac{-2\sinh \tilde{\sigma}_{l}}{m} \sum_{m=1}^{\infty} \frac{(-1)^{m} i_{m} \sin i_{m} z}{h^{2}} \qquad 0 \le z \le l$$

лолучим бесконечную систему алгебраических уравнений относительно  $A_{m_1}, a_{n_2}, b_{n_3}$  следующего вида:

$$\frac{1}{a} A = (\beta_n) I_1 (\beta_m a) \gamma_m = \frac{1}{l} \sum_{i=1}^{\infty} [a_n (-1)^m + b_n] \times$$

$$= (\delta_n^2) \operatorname{sh} \delta_n l f_0 (\gamma_n) \left( \frac{2^n p_1 + 2^n p_1^2 + 2^n p_1^2 - 2^n p_1^2$$

гле  $U_{1n}$ ,  $U_{2n}$  коэффициенты разложения в ряд Фурье-Бесселя по  $I_1(r)$  функций  $U_1(r)$  и  $U_2(r)$ ;

Если перейти к новым переменным  $z_m = \frac{1}{2\pi} A_m \circ (\beta_m^2) I_1 (\beta_m a)$ ,

$$X_n = \frac{1}{L} (b_n + a_n) \circ (\delta_n) \operatorname{sho}_n l f_n \left( \frac{a_n}{a_n} \right), \quad X_n = \frac{1}{L} \left( b_n - a_n \right) \circ \left( \frac{a_n}{a_n} \right) \operatorname{sho}_n l f_0 \left( \frac{a_n}{a_n} \right),$$

то легко заметить, что общая задача о колебаниях распадается на дне независимых задачи: задачу определения колебаний, симметричных относительно плоскости  $z=rac{l}{2}$ 

$$X_{m} = \sum_{n=1}^{\infty} a_{n} Z_{n} - \frac{U_{1n} - U_{2n}}{q_{n} - p_{n}} J_{n}(q_{n}) \quad n = 1, 2, \cdots$$

$$Z_{m} = \sum_{n=1}^{\infty} b_{n} X_{n} - \frac{1}{q_{n}} V_{m} \quad m = 2, 4, \cdots$$
(1.6)

и задачу о кососимметричных колебаниях

$$Y_{n} = \sum_{m=1.3}^{\infty} c_{mm} Z_{m} - \frac{U_{1m} - P_{m}}{1 - P_{m}} J_{4}(z_{n}) \quad n = 1, 2, \cdots$$

$$Z_{m} = \sum_{m=1.3}^{\infty} b_{mn} Y_{n} - \frac{1}{\frac{1}{2}m} V_{m} \quad m = 1, 3, \cdots$$
(1.7)

В формулах (1.6), (1.71 принято во внимание, что  $\frac{\int_{0}^{\infty} (\gamma_{n})}{f^{2}} = 1$ , и вве-

$$a_{nn} = \frac{\dot{r}_n}{\sigma_n + \rho_n} \left(2\dot{r}_n^2 - \rho_2^2\right) \left(\frac{1}{\varrho_n^2 + z_n^2} - \frac{1}{\varrho_n^2 + \beta_n^2}\right)$$

$$b_{nn} = \frac{\dot{\lambda}_m}{\dot{\varrho}_m} \left(\frac{\dot{\lambda}}{2n} \rho_1^2 + \rho_n^2}{\lambda_n^2 + \delta_n^2} + \frac{\dot{\lambda}}{2n} \rho_1^2 - \delta_n^2}\right)$$

$$c_{so} = \frac{\eta_s}{q_s - p_s} (2\epsilon_m^2 - p_s^2) \left( \frac{1}{p_s^2 + s_m^2} - \frac{1}{p_s^2 + E_s} \right)$$

§ 2. При исследовании бесконечных систем (1.6) и (1.7) достаточно рассмогреть одну из них, например, (1.6). Она соответствует случаю колебаний, симметричных относительно плоскости  $z=\frac{1}{2}$ . Существование решения второй системы доказывается аналогично. С понощью известных тождести [3]

$$\frac{2}{a} \sum_{n=1}^{\infty} \frac{k}{u_n^2 + k^2} = \frac{I_n(ka)}{I_1(ka)} = \frac{2}{ka}, \quad \frac{4}{a} = \sum_{m=1}^{\infty} \frac{k}{m^2 + k^2} = \coth \frac{\pi k}{2} = \frac{2}{\pi k}$$

выражения  $\frac{1}{\ell_m} \psi_m$  и  $\frac{1}{\mu_n} (q_n - p_n)$  преобразуются к следующему виду:

$$\frac{1}{\mu_{n}}(q_{n}+p_{n}) = \sum_{i=1}^{\infty} \frac{2\Sigma_{n}^{2}}{2\pi + c_{m}^{2}} - p_{i}\left(\frac{1}{\mu_{n}^{2}} - \frac{r}{2\mu}\frac{p_{i}^{2}}{\mu_{i}^{2}}\right) \sum_{i,\dots} \frac{1}{n} = -\frac{2\pi r^{2}}{n} + 1$$

$$\begin{split} \frac{1}{z_m} \, \psi_m &= \left( -1 - \frac{p_2^2}{2 \ell_m^2} \right) \left( \frac{\lambda}{2 n} \, p_1^2 - z_m^2 \, \right) \sum_{n=1}^\infty \, \frac{1}{z_m^2 + \mu_n^2} + \sum_{n=1}^\infty \, \frac{\beta_m^2}{\beta_m^2 + \mu_n^2} \, + \\ &+ \frac{p_1^2}{2 \ell_m^2} \left( \frac{\lambda}{\mu} \, \ell_m^2 + \frac{\lambda}{2 \mu} - 1 \, - \frac{\lambda}{2 \mu} \, \frac{p_2^2}{z_m^2} \right) \end{split}$$

Рассмотрим сумм; ко | | инпентал первого уравнения системы (1.6)

$$\frac{(p_{z}^{2}-p_{1}^{2})\sum\limits_{\substack{m=2,4,...\\m=2,4,...}}^{\infty} -\frac{2i_{m}^{2}-p_{2}^{2}}{(i_{m}^{2}+\tilde{s}_{n}^{2})\overline{(i_{m}^{2}+\tilde{s}_{n}^{2})}} }{\sum\limits_{\substack{m=2,4,...\\m=2,4,...}}^{\infty} \frac{2i_{n}^{2}}{i_{m}^{2}-\tilde{s}_{n}^{2}} + p_{1}^{2}\left(\frac{\tilde{s}_{n}^{2}}{p_{n}^{2}}-\frac{i_{n}}{2p}\frac{p_{1}^{2}}{p_{n}^{2}}\right)\sum\limits_{\substack{m=2,4,...}}^{\infty} \frac{1}{i_{m}^{2}+\tilde{s}_{n}^{2}} + p_{1}^{2}\frac{2p\tilde{s}_{n}^{2}-i_{p}p_{1}^{2}}{4p\tilde{s}_{n}^{2}p_{n}^{2}} + 1} }{n=1,\ 2,\cdots$$

Сравнив суммы, стоящие в числителе и знаменателе, легко получить достаточные условия ква прегулярности системы

$$\beta_M^1 > 0; \quad \varepsilon_N = 2p_1^2 \frac{1}{z_1} \frac{(1-2b)^2}{(1-2b)}; \quad \varepsilon_N \, l \, \mathrm{cth} \, v_N \, l = \frac{(1-2b)^2}{0 \, (1-b)}$$
 (2.1)

Аналогично можно представить сумму коэффициентов второго ураввения системы (1.6)

$$\sum_{n=1}^{\infty} b_{mn} = \frac{1}{2} \left( \frac{\lambda}{\mu} + 1 \right) \sum_{n=1}^{\infty} \frac{2\lambda_{m}^{2} - p_{2}^{2}}{(\lambda_{m}^{2} + \delta_{n}^{2})(\lambda_{m}^{2} + \varepsilon_{n}^{2})}$$

$$= \frac{\sum_{n=1}^{\infty} \left( \frac{\lambda}{\mu} + 1 \right) \lambda_{m}^{2} + \frac{1}{2} p_{2}^{2} \left( \frac{\lambda}{2\mu} + 1 \right) \left( \frac{p_{2}^{2}}{\lambda_{m}^{2}} - \frac{p_{n}^{2}}{\lambda_{m}^{2}} + 1 \right)}{(\mu_{n}^{2} + 2_{m}^{2})(\mu_{n}^{2} + \beta_{m}^{2})} + G_{m}$$

$$= 2, 4, \cdots$$

FAC

$$G_{\pi} = \frac{1}{2r_{\pi}^{2}} \left( \frac{r_{\pi}}{r_{\pi}} \Gamma_{\pi}^{2} + \frac{r_{\pi}}{2r_{\pi}} - 1 - \frac{r_{\pi}}{2r_{\pi}} \frac{p_{\pi}^{2}}{2r_{\pi}^{2}} \right)$$

Оченидно, что найдется такое  $M_1$  что как только  $m>M_1$ , числитель и знаменатель дроби будут положительны. Составим разность между суммами, стоящими и знаменателе и числителе

$$\Delta = \sum_{n=1}^{\frac{1}{2}} \frac{\frac{1}{2} p_1^2 \left( \frac{1}{2n} + 1 \right) \left( 1 + \frac{p_2^2}{1} - \frac{p_2^2}{n} \right) - \frac{p_2^2}{2} (n_1 + p_2^2) + p_1^2}{\left( \frac{n}{2n} - 1 \right) \sum \frac{(1 + n) n^2 - p_2^2}{2} + \frac{p_2^2}{2}$$

В последней сумме обозначено  $x=\frac{1}{2}$ . Отбросив положительны коэффициент перед суммой  $\begin{pmatrix} \lambda & 1 & p \\ \lambda & 1 & p \end{pmatrix}$  и сумму  $\sum_{n=1}^{p} \frac{p_2^n}{n}$  рассмотрим сумму

$$\Delta' = \sum_{n=1}^{\infty} \frac{(1-1)^n - (1-1)^n}{(1-1)^n + \frac{2^n}{2^n} + \frac{2^n}{2^n}} \qquad m = 2, 4, \cdots$$

При больших т знак этого выражения определяется знаком перного члена разложения в ряд по степеням

$$\Delta' = \frac{1}{p_2^2 - p_1^2} \left[ (1 + x) I_m^3 \left( \frac{a}{2\beta_m} \frac{I_o(\beta_m a)}{I_1(\beta_m a)} - \frac{1}{2\alpha_m} \frac{a}{I_1(\alpha_m a)} - \frac{1}{2\alpha_m} \frac{a}{I_1(\alpha_m a)} - \frac{1}{2\alpha_m} \right] = \frac{a}{4\alpha_m} \frac{I_o(\alpha_m a)}{I_m} \left[ \frac{a}{\alpha_m} \frac{x}{A_m} \right] = \frac{a}{4\alpha_m} \frac{x}{A_m} > 0$$

Таким образом, найдется такое M , что при  $m \geq M$  будет ныполняться неравенство  $\Delta > 0$  и при

$$n > N$$
 if  $m > M = \max(M_1, M_2)$  (2.2)

гле N определено из условий (2.1), коэффициенты системы будут удовлетворять условию

$$\sum_{m=2,4,\ldots}^{\infty} a_{mn} < 1, \quad n > N, \quad \sum_{n=1}^{\infty} b_{nm} < 1, \quad m > M$$

В обоих случаях суммируются коэффициенты, а не их абсолютные величивы, так как при выполнении условия (2.2)  $a_{mn} > 0$ .

Снободные члены систем (1.6) и (1.7) ограничены, так как коэффициенты разложения  $V_m$ .  $U_{1n}$  и  $U_{2n}$  при  $m=\infty$  и  $n=\infty$  имеют следующий порядок [6, 7]:

$$V_m = 0 (v_m^{-1}), \quad U_{1n} - U_{2n} = 0 (y_m^{-1})$$

Следонательно, порядок снободных членов в системе будет

$$\frac{1}{\gamma} V_m = 0 \ (\gamma_m^{-2}), \qquad \frac{U_{1n} + U}{\gamma_n} - \int_0 (\gamma_n) = 0 \ (\mu_n^{-2})$$

Таким образом, система (1.6) квазирегулярна, и если конечная система уравнений относительно  $x_1, x_2, \cdots x_N$  и  $z_2, \dots z_J$ , через которые можно выразить все остальные неизвестные, имеет единственное решение, то единственно и решение системы (1.6) [8].

Следует отметить некоторую ограниченность предложенного метода. Частота вынужденных колебаний не должна совпадать с собственными частотами бесконечного цилиндра со свободной от напряжений понерхностью и собственными частотами бесконечного слоя при нулевых напряжениях на плоскостях = 0 и z=l. При атих значениях частоты и ныражения  $q_1+p_n$ ,  $q_n-p_n$  обращаются и нуль. Это легко объяснить, так как  $z_m=0$  есть частотное уравнение бесконечного цилиндра, а  $q_n-p_n=0$  и  $q_n-p_n=0$  — частотные уравнения колебаний бесконечного слоя, симметричных и кососимметричных относительно плоскости  $z=\frac{b}{2}$ 

Асиняградский политехнический институт им. М. И. Калиника

Поступила 15 IV 1970

о. ц. чидоць.

ԳԼԱՆԵ ՀԱՐԿԱԳՐԱԿԱՆ ԵՐԿԱՑԿԱԿԱՆ ՏԱՏԱԿՈՒՄՆԵՐԻ ՄԱՍԻՇ ՄԱԿԵՐԵԼՈՐՅԵՐ ՎՐԱ ՏՐՎԱԾ ԼԱՐՈՒՄՆԵՐԻ ԿԵՊՔՈՒՄ

Դիտարկվում են վերջավոր գլանի՝ առանցրասիմեարիկ՝ տատանումները Հակերհութի վրա արված լարումների դեպրում։ Հարկադրական տատանումների ամոլիտուդների նկատմամբ ստացված է հանրահայվական դծային հասարումների անվերջ սիստեմ։ Գլանի որևէ սեփական հաճախականության հետ հարկադրող ուժի հաճախականության չհամընկնելու ենքադրության դեպբում ապացուցված է սիստեմի թվացի-ռեղույլարությունը։

## ON FORCED LONGITUDINAL VIBRATIONS OF A CYLINDER WITH STRESSES PRESCRIBED ON THE SURFACE

### O. A. GOLOVIN

### Summary

The problem of the forced longitudinal axisymmetric vibrations of a finite cylinder with stresses prescribed on the lateral surface and bottoms is reduced to an infinite system of algebraic equations. The quasiregularity of this system is proved.

### **ЛИТЕРАТУРА**

- 1. Lamé. Locons sur la theorie mathematique de l'elasticite des corps solids. Paris, 1852
- Абрамян Б. Л. К звявче осесимметричной деформации круглого цилиндрв. Лова. АН Арм. ССР, т. 19, №1, 1954.
- Вилон Г. М. Об осесимметричной деформации сплошного кругового цилиндра конечной длины. ПММ, т. 26, №4, 1962.
- 4. Гринченко В. Т<sub>1</sub> Осесимметричнах задача геории упругости для толстостенного цилиндра конечной данны. Прикл. мехал., т. 3, №8, 1967.
- 5. Власов А. Г. Сборния статей "Вопросы динамической теории распространения сейсмических воли", в 3, 1959.
- 6. Ватсон Г. Теория бесселеных функций. ИЛ, 1949.
- 7. Харди Г. Х., Рогозинский В. В. Риды Фурьс. 1962
- 8. Канторович А. В. Крылов В. И. Прибливенные методы высшего авализа, 1962.

Աեխանիկա

XXIV, Nº 4, 1971

Механика

### А. Р. ГУАКАНЯН

# ИССЛЕДОВАНИЕ НАПРЯЖЕННОГО СОСТОЯНИЯ ОБДЕЛОК ТОННЕЛЯ КРУГЛОГО СЕЧЕНИЯ С УЧЕТОМ ПОЛЗУЧЕСТИ ГОРНЫХ ПОРОД

Изменение во времени напряженного состояния обделок подземных сооружений является следстнием проявления свояств ползучести горных пород [4].

Исследование развития по времени напряженного состояния несущих обделок подземных сооружений в условиях ползучести горных пород нами пронодится на моделях поляризационно-оптическим методом.

Деформирование однородного упруго-полаучего изотропного горного массива хорошо описывается уравнением Больцмана-Вольтерра лицейной теории наследственности [4]

$$E(t) = \frac{1}{E} \left[ \sigma(t) + \int L(t, \tau) \sigma(\tau) d\tau \right]$$
 (1)

где (t) и (t) - соответственно относительная деформация и напряжение в момент времени t, отсчитываемый от начала нагружения; E - ченовенный модуль упругости.

Для описания кривых ползучести применяется двучленное экспоменциальное ядро нида [2, 5]

$$L(t,z) = \theta_1 \exp\left[-\beta_1 (t-z)\right] + \theta_2 \exp\left[-\beta_2 (t-z)\right] \tag{2}$$

гле  $\theta_1$ ,  $\theta_2$ ,  $\theta_3$  — постоянные коэффициенты.

Задача о напряженном состоянии обделок рассматринается в работе [3], когда взвимодействие обделки с окружающим массином обусловлено только ползучестью горных пород.

Для обеспечения подобия напряженно-деформироганного состоявия модели и натуры необходимо выполнять ряд условий (критериев подобия), позноляющих решать задачу методами физического моделирования.

Ранее, с помощью метода анализа размерность, а также теории подобия, нами [3] были получены критерии подобия для суммы эксповенциальных ядер. Для двучленного экспоненциального ядра вида (2) эти условия можно представить в виде

$$(v_{o5})_{\mu} = (v_{o5})_{\mu} \tag{3}$$

$$(v_{\text{wac}})_{\text{u}} = (v_{\text{mac}})_{\text{H}} \tag{4}$$

$$\left(\frac{E_{05}}{E_{\text{Mac}}}\right)_{\text{M}} = \left(\frac{E_{06}}{E_{\text{Mac}}}\right)_{\text{H}}$$
 (5)

$$\left(\frac{P}{zl^2}\right)_{ij} = \left(\frac{P}{zl^2}\right)_{ij}$$
 (6)

$$(\beta t)_{\mu} = (\beta t)_{\mu}$$
 (7)

$$\left(\frac{\theta_i}{\beta_i}\right)_{ii} = \left(\frac{\theta_i}{\beta_i}\right)_{ii} \quad i = 1, 2,$$
 (8)

$$\left(\frac{\beta_1}{\beta_2}\right)_{ii} = \left(\frac{\beta_1}{\beta_2}\right)_{ii}$$
 (9)

Здесь I - геометрический размер, см; P нагрузка, к $\Gamma$ ;  $E_{**}$  н  $E_{***}$ с — модули упругости, соответственно обделки и породы массива, к $\Gamma$ /см²;  $\nu_{00}$  и  $\nu_{***}$  — коэффициенты Пуассона, соответственно обделки и массива; I — время, мин; I  $0_{*}$  — постоянные коэффициенты, мин : — параметры ползучести, мин $^{-1}$ .

При  $\theta_i = A_i \beta_i E_{\text{мас}}$  (i=1, 2) появляются дополнительные критерии подобия, которые определяются из условия (7)—(9):

$$\left(\frac{A_1}{A_2}\right) = \left(\frac{A_1}{A_2}\right) \tag{10}$$

$$(A_1 E_{\text{mac}})_{ij} = (A_1 E_{\text{mac}})_{ij} \tag{11}$$

где  $A_1$  и  $A_2$  — постоянные коэффициенты, смі к $\Gamma$ .

Сходственные моменты премени определяются из условия (7) при обязательном соблюдении критериен (8) и (9):

$$t_n = \frac{\beta_n}{\beta_n} t_n \tag{12}$$

Связь между напряжениями в натуре и модели в сходственные моменты времени определяется из условия (6):

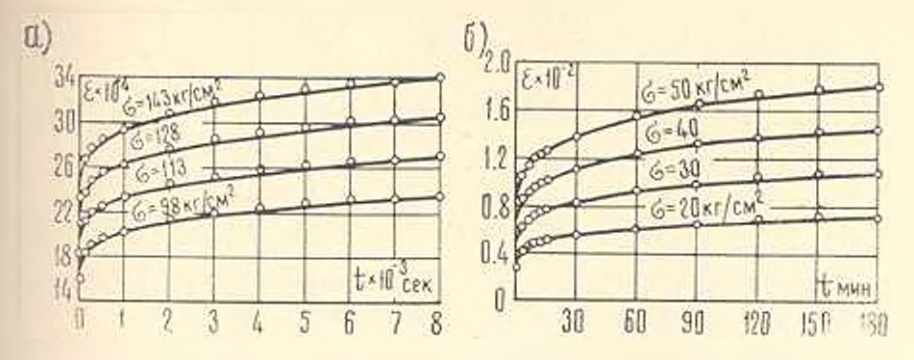
$$z_{0} = \frac{P_{n}l_{n}^{2}}{P_{n}l_{n}^{2}} z_{n} \tag{13}$$

1. В качестве примера рассмотрим задачу о напряженном состолнии упругой обделки круглого сечения при проходке тоннеля в горном массиве (аленролит) и условиях его ползучести.

Криные ползучести (фиг. 1a) алепролита [4] хорошо аппроксимируются уравнением (1) линейной теории наследственности с ядром вида (2)

$$\varepsilon(t) = \frac{\pi(t)}{E_{\text{max}}} + \int_{0}^{t} \{A_{1}\beta_{1} \exp\left[-\beta_{1}(t-z)\right] + A_{2}\beta_{2} \exp\left[-\beta_{2}(t-z)\right]\right) \sigma(z) dz$$
(14)

Криные ползучести материала модели (фиг. 16) также анпроксимированы выражением (14).



Фиг 1. Криные ползучести алевролита (а) и материалы модели (б).

Приведенные в таба. 1 значения постоянных  $E_{\rm Mec}$ ,  $A_1$ ,  $A_2$ ,  $B_1$ ,  $B_2$ , для материалов натуры и модели определены на ЭВМ БЭСМ-6 методом наименьших квадратон.

Параметр	Материал				
параметр	модель	алепролиг			
E c. Rl cm2	7500	0.62-103			
A 1. CM H [	0.84306 - 10 - 4	0.028774			
$A_{1}$ , $cm^{2}$ $\kappa\Gamma$	1.49568-10	0.051048			
5 <sub>1</sub> , MHH-1	0.5245625	0.6540			
MILH I	0.0154	0.0192			

На фиг. 1 точками показаны величины деформаций ползучести для разлычных моментов времени, полученные по формуле (14).

Исследования проводились на плоских моделях под действием внешних сил, моделирующих силы собственного веса вышележащей породы и боконого распора. В качестве материала, моделирующего полаучесть породы массина, применяли эпоксидную смолу, отвержденную тиоколом. Обделки изготовляли из упругого оптически-чувствительного материала ЭД-6М. Напряжения я них определены обычными методами фотоупругости [9].

Аля того, чтобы минопенная упругая деформация массина не передавалась на кропь, последнюю вклеивали в нагруженную модель ( $\sigma_{\rm ob}|_{t=0}=0$ ).

Учитыная, что горная порода и материал модели обладают свойстном линейной ползучести, в экспериментах был использован прин-

цип наложения. Для круглой обделки была исследована одна модель, которую загружали ранномерно распределенной нагрузкой  $\rho = \gamma H$ , соотнетствующей нертикальному давлению, а напряженное состояние, соответствующее нагрузке  $q = -\frac{1}{1-\gamma}$  нвиду симметрии обделки, легко определяется из предыдущего эксперимента ( $\gamma = -\frac{1}{1-\gamma}$  коэффициент бокового распора,  $\gamma = -\frac{1}{1-\gamma}$  коэффициент бокового

Если результаты исследования по модели представить в виде коэффициентов концентрации напряжений  $K_1 = \frac{e^{(2)}}{p}$  и  $K_2 = \frac{e^{(2)}}{p}$  то искомые напряжения п модели для произвольной точки f определяются перез эти коэффициенты по следующей формуле:

$$z_{ij}^{(l)} = K_{1}^{(l)} (\gamma H) - K_{1} \frac{1 - \gamma_{ij}}{1 - \gamma_{ij}} (\gamma H)$$
 (15)

На фиг. 2 показаны примеры характерных картин полос, изменяющихся но нремени.

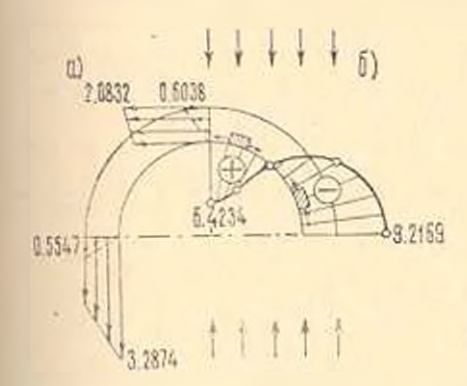


Фие 2 Картина полог для ра-личных моментов пременя и круглой обделке при действин пертиявляющой погрузки.

При деистнии вертикальной нагрузки на ниутреннем контуре об-

напряжения з, (фиг. 36), а боковые стенки сжаты. Горизонтальная нагрузка вызывает растяжение внутренних волокон, сжатие свода и подошвы обделки.

Нормальные и тангенциальные напряжения на контакте "обделка—массия" при совместном дейстнии вертикальной и горизонтальной нагрузок, при 1—0.923, всюду сжимающие, и по толщине обделки распределяются практически по линейному закону (фиг. 42, 3a).





Фит. 1. Этноры коаф рициентов концентрации напряжений в обделяе при действии пертикальной и горизоптальной нагрузок ( $RR_1$  1.3793;  $E_{00}$   $E_{Max}$  1; L 0.923;  $L_0 = 1320$   $(L_0 + 1320)$   $(L_0$ 

На фиг. 5 приведены графики изменения пормальных напряжений во времени для харантерных точек на контакте "обделка мяссив". Из рисунка видно, что я начальном участке премени характерно нараставие напряжений (давление на обделку) с большой скоростью. Далее скорость затухает и примерно через 480 мин давление на облелку в модели стабилизируется.

В табл. 2 и 3 приведены значения гангенциальных — и пор-

нальных  $\frac{1}{\gamma H}$  напряжений на внутрением контуре облаки и на контякте "обделка массин" и карактерных точках для звухосного глиряженного состояния.

Таблица 2

$\gamma_1 \cap H$										
0 30				45	-15°		60		90	
$R_1$	R	$R_1$	R	$R_1$	R	$\mathcal{R}_1$	R	R.	R	
3.2871	1.7468	2.9811	1.8548	2.5853	1.9628	2.3823	2.0708	2.0832	12.1788	
" Известия АН Арминской ССР, Механика, № 4										

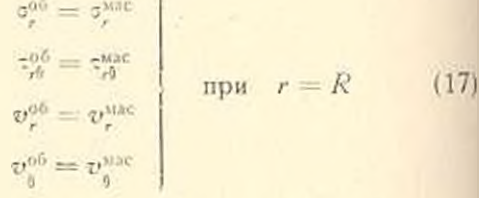
				Таблица З				
$-\tau_{r} \gamma H$								
T)	30	45"	60	90"				
R	R	R	R	R				
0.5547	0.5820	0.6093	0.6364	0,6638				

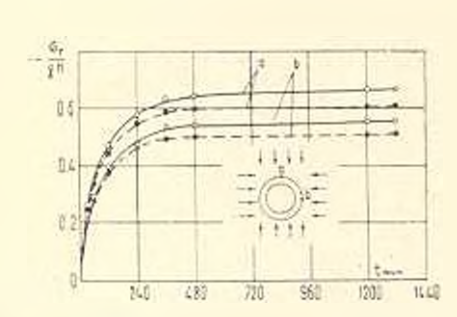
2. Для проверки предложенной методики рассмотренная задача решалась также теоретически. Предполагалось, что обделка включается в работу и условиях сцепления с массивом (фнг. б) с граничными условиями на бесконечности соотпетственно

$$s_{s}^{(\circ)} = \iota_{s} H, \qquad = - \circ H. \tag{16}$$

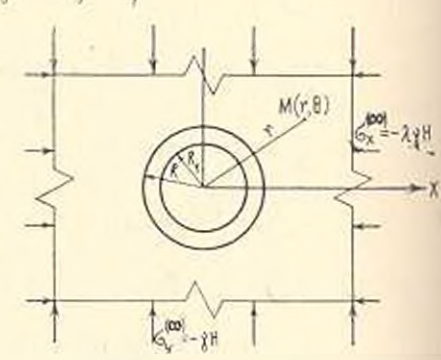
и на контакте "обделка массив"

$$z_r^{\text{off}} = 0$$
 при  $r = R_1$ 





Фиг. 5. Графики изменения пормальных напряжений во времени для характерных точек обделки на контакте поблемвамосня" при одновременном действик вертикальной и горизоптальной нагрузок (R R<sub>1</sub> = 1.3793; Eob/Ende = 4, t = 0.923; t<sub>ч</sub> = 1320 мля). — эксперимент, тосоретическое рошение



Фиг 6. Расчетная ехема обделки

Компоненты напряжений в обделке  $(R_1-r\leqslant R)$  согласно [8] примем в виде

$$z_i = -\frac{\tau H}{2} \left[ db_1 - \frac{b_{-1}}{2} \frac{R^2}{r^2} \right] + \left( \frac{b_1}{2} - 2a_{-1} \frac{R^2}{r^2} - \frac{3}{2} b_{-1} \frac{R^4}{r^4} \right) \cos 2\theta \right]$$

$$z_i = -\frac{\tau H}{2} \left[ \left( a_1 + \frac{b_{-1}}{2} \frac{R^2}{r^2} \right) - \left( \frac{b_1}{2} - 6a_3 \frac{r^2}{R^2} - \frac{3}{2} b_{-2} \frac{R^4}{r^4} \right) \cos 2\theta \right]$$
(18)

Злесь коэффициенты припяты записящими от премени, а расчетные формулы для них принедены в работе [1].

Для определения механических характеристик упруго-ползучей ерелы  $G_t$  и  $\tau_t$ , входящих и ковффициенты уравнений (18), носпольвуемся их опрераторным представлением [6]:

$$G_t = \frac{\tilde{E}}{2(1-\tilde{v})}, \qquad x_t = 3 - 4\tilde{v} \tag{19}$$

Здесь

$$E = E (1 - \Gamma^{\bullet}) \tag{20}$$

Из условия постоянства оператора объемного сжатия легко находим

$$\overline{\gamma} = \gamma \left( 1 + \frac{1 - 2\gamma}{2\gamma} \Gamma^* \right) \tag{21}$$

где  $\Gamma^*$  — оператор резольненты ядра ползучести (2). Преобразуем выражение  $\frac{1}{2(1+\sqrt{2})}$ 

$$\frac{1}{2(1+\bar{\nu})} = \frac{1}{2(1+\bar{\nu})} \frac{1}{1+\frac{1-2\bar{\nu}}{2(1+\bar{\nu})}} = \frac{1}{2(1-\bar{\nu})} (1-\bar{R}^*)$$
 (22)

где  $R^*$  — оператор, имеющий своим ядром резольненту ядра оператора  $\frac{1-2}{2(1-2)}\Gamma^*$ .

Подставляя (20), (21) и (22) в (19), получим

$$G_{t} = G[1 - 1 - R^{*}]$$

$$x_{t} = 3 - 4v \left(1 + \frac{1 - 2v}{2} \Gamma^{*}\right)$$
(23)

Дли нахождения операторов Г° и R- необходимо найти решения соотнетствующих им интегральных ураннений.

Воспользуемся методом интегральных преобразований Дапласа, который по существу при постоянных граничных условиях аквивалентен операторному методу Работнова [6].

Напишем ядро ползучести (2) в следующем виде:

$$L(t') = \frac{\lambda_t}{2} + \frac{\lambda_t}{2} + \frac{\lambda_t}{2}$$
 (24)

Обран ядра полвучести (24) будет

$$L^{+}(s) = \frac{\theta_{1}}{s + z_{1}} = \frac{t_{1}}{s - z_{2}} \tag{25}$$

Используя формулу (7)

$$\Gamma^*(s) = \frac{L^*(s)}{1 - L^*(s)} \tag{26}$$

найдем образ оператора Г в следующем виде:

$$\Gamma(s) = 0 \frac{s - \frac{b}{6}}{(s - s_1)(s - s_2)}$$
 (27)

где

$$0 = 0_1 + 0_2, \quad b = 0_1 \beta_2 + 0_2 \beta_1, \quad a + d, \quad = a - d$$

$$a = \frac{1}{2} (a_1 + \beta_2 + 0), \quad a = 1, \quad a - c, \quad c = \beta_1 \beta_2 + b$$

Имея образ (27), легко находим его оригинал:

$$\Gamma(t') = \Gamma(Ae^{\pi_1 t'} - Be^{\pi_2 t'}),$$
 (28)

r **a**e

$$A = \frac{s_1 + \frac{b}{h}}{2d}, \quad B = \frac{s_2 + \frac{b}{h}}{-2d}$$

Уракиение (29) пе что иное, как идро наследственности, соответствующее оператору I который в свою очередь при действующей ил тело постоянной нагрузке находится по следующей формуле:

$$\Gamma^*1 = \int_0^t \Gamma(t') \, 1dt' \tag{29}$$

Выполняя интегрирование, получим

$$\Gamma^*1 = \emptyset \left[ A - (e^{a_1 t} - 1) + B - (e^{-a t} - 1) \right]$$
 (30)

Аналогичным образом находим

$$R^{+}1 = \frac{1-2r}{2(1+r)} \left[ M \frac{1}{\lambda_1} \left( e^{\lambda_1 t} - 1 \right) + K \frac{1}{\lambda_2} \left( e^{\lambda_1 t} - 1 \right) \right]$$
(31)

rac

$$M = \frac{i_1 + N}{2n}$$
,  $K = \frac{+N}{-2n}$ ,  $i_2 = -l + n$ ,  $i_2 = -l - n$ ,

$$l = \frac{1}{2} \left( -s_1 - s_3 + \frac{1 - 2^{\gamma}}{2(1 + \gamma)} s \right), \qquad n = 1 \quad \overline{F} - m$$

$$m = s_1 s_2 + \frac{1 - 2^{\gamma}}{2(1 + \gamma)} N.$$

Отметим, что входящие в уравнения (30) и (31) постоянные за s, In La меньше нуля.

Имея формулы (30) в (31) в подставляя ях значения в формулу (23), можем найти значения  $G_t$  и  $x_t$  для любого момента времени.

Перендем к решению примера с исходными данными, соответствующими исследованной модели: радиус тоннеля и свету  $-R_1 - 0.58$  с.м. толщина упругой обделки — 0.22 см; R = 0.58 + 0.22 - 0.80 см,  $n=rac{R}{R_0}=1.3793.$  Для упругой обделки:  $E_{05}=30\,000$  к $I^{*}$ ем $^{*}$ ,  $\kappa_{05}=33$ ,

$$G_{n6} = \frac{E_{n6}}{2 + 1 + \tau_{n6}} = 11278 \ \kappa \Gamma \ cm^2, \ \times = 3 - 4 \nu_n = 1.68. \ A$$
ля уп-

руго-полаучего материала, согласно экспериментальным данным: A, 0.84306 · 104 car KT, A, 1.49568 · 101 car KT, 3, 0.52456 muh 1,  $\theta_{\rm c} = 0.0154$  mum  $E_{\rm mac} = 7500$   $\kappa T_{\rm i} cm^2$ ,  $\nu = 0.18$  ( $\ell = 0.923$ ).

Значения операторов (19) и коэффициентон, иходящих и уравнение (18), для момента времени  $t_0 = 1320$  мим приведены в таба. 4.

	Таблици							
1	Ge	W.t	6_1	a <sub>1</sub>	b_ 3	a_1	b <sub>1</sub>	a <sub>3</sub>
1320	883	1.03	2.4550	2,3353	0.2036	-0.4104	-1 3491	-0.2278

Подставляя значения коэффициентов в урависния (18), найдем тангенциальные и пормальные напряжения и обделке и на контакте "обделка массия" (табл. 5 и б).

Таблица .								
$-i_{k}\gamma_{k}H$								
r	0	30	45	60	9()			
$R_1$	2,8661	2.6007	2.3353	2.0699	1.8045			
$R_1 + \frac{R-R_1}{3}$	2.3148	2.2018	2.0888	1.9758	1.8628			
$R_1 + \frac{2(R-R_1)}{3}$	1.9127	1,9139	1.9130	1.9131	1 9133			
R	1.5880	1,6847	1 7844	1.8781	1.9748			

				7	аблици б			
— <sub>r</sub> ,H								
7	0.	30	454	60,	ġ0·			
$R_4$	0	0	0	0	0			
$R_1 + \frac{R - R_1}{3}$	0.2262	0.2363	0.2465	0.2566	0.2668			
$R_1 + \frac{2(R-R_1)}{3}$	0.3946	0,4084	0,4223	0,4362	0.4500			
R	0_1043	0.5291	0.5539	0.5787	0.6035			

Сопоставление результатов теоретического расчета с экспериментальными данными показывает их хорошее соответствие (фиг. 3. 5). Максимальное отличие напряжения наблюдается на внутреннем контуре обделки для — и не превышает 13" .. На контакте "обделка — массив" оба решения для нормальных и тангенциальных изпряжений дают практически одинаковые результаты (фиг. 3).

Московский инженерно-строительный институт им. В. В. Куябышени

Поступнав 8 11 7971

IL, IF PRIFERINGER

ԿԼՈՐ ԿՏՐՎԱԾՔ ՈՒՆԵՑՈՂ ՔՈՒՆԵԼԻ ՇՐՋԱՆՈՒԻ ԼԱՐՎԱԾԱՅԻՆ ՎԻՃԱԿԻ - ՀԵՏԱԶՈՏՈՒԹՅՈՒՆԸ ԼԵՌՆԱՅԻՆ ԱՊԱՐՆԵՐԻ ՍՈՂՔԻ ՀԱՇՎԱՌՈՒՄՈՎ

Աշխատանրում ասպան են նմանության ան րաժեշտ ափանի և մանության պայմաններին չամապատասիանող նոր օպտ կա-դգալուն աշատատասիանողն և որպես օրինակ օպտիկա-բևեռային և հան առատվարկած ինդիրը և և արև առապատականորն արտեղ աստի են առատվաստարին իրականիրը և և նաև առապանորնանին արտեղ աստի են առատվաստողթային արտվային (մ. և », սեխանիկական ընութարինի հաշվարկային բանաձևեր՝ առանդա անության դժային անատինատին Բոլցման-Վոլտերի ինտեղրալ հավասարման երկանդամ էթաղանենատերն արտվան հունականապան և հան առաղառանը ցույց է

# STUDY ON STRESSED STATE OF CIRCULAR CROSS-SECTION TUNNEL FACING WITH REGARD TO THE CREEP OF ROCKS

### A. R. GULKANIAN

### Summary

Necessary criteria of similarity, new optical-sensitive elastic-creepy materials which meet the requirements of similarity are obtained; the appropriate method is developed and a problem on the stressed state of circular cross-section tunnel facing is studied as an example by the optical-polarization method. The above problem is also solved theoretically and the calculation formulas for mechanical characteristics of elastic-creepy medium  $G_1$  and  $z_1$  for the chosen two-membered exponential core of the Boltzman-Volterra integral equation of the linear heredity theory are found. The comparison of the results of both solutions shows their good correlation.

### AUTEPATYPA

- 1 Айталиен Ш. М. Исследование работы обделки напорного таниоли кругового очертамии под действием неустановившогося горного давления. В ки: "Реологические попросы меданики горных порол". Изд-но. АН КазССР, 1964.
- 2. Вайсман А. М., Купин И. А., Типицын К. К. Воздействие горного давления на вертикальную выработку в условиях ползучести горных пород. "Вопросы горного давления", Изд-во СО АН СССР вып. 13, 1962
- Амехонский А. В., Вардания Г. С. Гуанания А. Р. Моделирование напряженного состояния подземных сооружений учетом получести горкых пород Сб. Трудов МИСИ "Моделирование задач динамики, термоупругости и статики поляризационно-оптическим методом". М., № 73. 1970.
- Ержанов Ж. С. Теория ползучести горных пород и се приложения. Изд. "Науко", Алма-Ага, 1964
- 5. Месчян С. Р. Полоучесть глинистых груптов. Изд. АН АрмССР, Ереван, 1967.
- 6. Работнов Ю. Н. Равновесие упругой среды с последействием. "Прикл. математ. и механ.", т. XII. вып. 1. 1948.
- 7. Ржанизын А. Р. Теория полаучести. Изд-но литературы по строительству, М., 1968.
- 8. Самин Г. Н. Концентрации напряжений около отверстии ГИТТА. М.-А., 1951.
- 9. Фрокт Г. Н. Фотоупругость, г. 1. Гостехиздат, М.-А., 1918.